

التحليل العددي

المعادلة اللاخطية، الأنظمة الخطية
الاندراج، التفاضل، والتكامل العددي

الدكتور
نشاط ابراهيم العبيدي


$$S_0(T) = e^{-rT} \left\{ F_\phi(d_1) - K_\phi(d_2) \right\} - \frac{S_\phi(d_1)}{2\sqrt{T}}$$



Numerical Analysis



مكتبة نرجس PDF

www.narjes-library.blogspot.com

الفهرس

13	المقدمة
الفصل الأول	
مبادئ اولية	
17	مقدمة
17	1.1 انظمة الاعداد
19	1.2 مصادر الاخطاء
32	1.3 الحسابات باجهزة الحاسب الالي
37	تمارين
الفصل الثاني	
مراجعة نظرية	
42	2.1 نظرية رول
43	2.2 نظرية رول العامة
44	2.3 نظرية متوسط القيمة
44	2.4 نظرية متوسط القيمة للتكامل
45	2.5 نظرية القيم القصوى
46	2.6 نظرية القيمة الرئيسية (البيان)

46	2.7 نظرية تيلر
47	2.8 نظرية كوشي
48	تمارين

الفصل الثالث

حل المعادلة اللاخطية

51	مقدمة
57	3.1 طريقة التنصيف
65	3.2 طريقة الموضع الكاذب
68	3.3 طريقة نيرتون رافسن
71	3.4 طريقة القاطع
73	3.5 طريقة النقطة الثابتة
80	3.6 ربة التقارب
84	تمارين

الفصل الرابع

حل منظومة المعادلات الخطية

89	مقدمة
89	4.1 مفاهيم عامة
92	4.2 المنظومات الخطية
94	4.3 طريقة كاوس للحذف والتعويض التراجمي
97	4.4 طريقة كاوس جوردن

99	4.5 الارتكاز الجزئي (المحورة الجزئية)
102	4.6 عدد ومعكوس المصفوفة
105	4.7 حساب الكلفة
108	4.8 طريق التحليل الثنائي
115	4.9 وحدانية التحليل الثنائي
116	4.10 العلاقة بين طريقة كاوس للحذف والتحليل الثنائي
118	4.11 عدد ومعكوس المصفوفة
121	4.12 الطرق التكرارية لحل المنظومة الخطية
121	اوأ: طريقة جاكوببي
124	ثانياً: طريقة سيدال
128	4.13 شروط التقارب
132	4.14 طريقة الاسترخاء
134	4.15 التحسين التكراري
137	قارين

الفصل الخامس

الاندراج والتقرير بمتعددات الحدود

143	مقدمة
144	5.1 متعددة حدود تيلر
146	5.2 الفروقات المنتهية
152	5.3 متعددة حدود لكرانج للاندراج

159	5.4 مقدار الخطأ في متعددة الحدود
164	5.5 الاندراج التكراري والفرقas المقسمة (النسبة)
173	5.6 الحدوديات القيطعية
176	5.7 الشرائح
182	5.8 التقريب بمنحنيات مناسبة
191	مارين

الفصل السادس

التفاضل العددي

199	المقدمة
199	6.1 المشتقة في حالة التوزيع غير المنتظم
201	6.2 المشتقة في حالة التوزيع المنتظم
205	6.3 صيغة الخطأ
207	6.4 مشتقات من رتب أعلى
209	6.5 صيغ أخرى للمشتقات
214	مارين

الفصل السابع

التكامل العددي

219	7.1 قواعد أولية
221	7.2 استخدام حدودية لكرانج
222	7.3 قاعدة ثب المترافق

225	قاعدة سمسن	7.4
229	قاعدة سمسن	$\frac{3}{8}$
231	حساب الخطأ	7.6
235	تحديد طول الفترة الجزئية h	7.7
240	طريقة المعاملات غير المحددة	7.8
244	تكامل رمبرك	7.9
252	مارين	
255	المصطلحات	
255	المراجع	

المقدمة

ان الهدف الأساسي في وضع هذا الكتاب هو توفير مرجع باللغة العربية بين أيدي طلبة الفروع العلمية والتطبيقية، وذلك لتخفيض معاناتهم في البحث عن مصدر عربي يلجأون إليه وقت الحاجة، وللاستزادة في المعلومات التي يتلقونها من أساتذتهم. وقد حرصت على ان يكون أسلوب الكتاب فيه من الوضوح بقدر ما فيه من حث للطلبة على التحري واستبطاط الصيغ الرياضية، لكثير من الطرق المذكورة، بأنفسهم.

كما إن الكتاب يلمح للطلبة بان هناك أساليب وطرق غير المذكورة فيه، فلا يظن أن هذه نهاية المطاف!.

لكن هذا لا يصون الكتاب من الأخطاء او السهو او النقص!. فلا يخل زمياني الأستاذ او عزيزي الطالب علي في إبداء ملاحظاتهم والتبيه عن الأخطاء الواردة فيه من اي مكان كان، خاصة بعد دخولنا زمن الاتصال السريع عن بعد.

ومن الله التوفيق

المؤلف

مبادئ أولية

مقدمة

1.1 النظمية للأعداد

1.2 مصادر الأخطاء

1.3 الحسابات بأجهزة الحاسوب الآلي

تمارين

الفصل الأول

مبادئ أولية

Basic Principles

مقدمة :Introduction

ان العمل على ايجاد حلول تقريرية يتطلب منا معرفة بعض الامور الاساسية عن الاعداد وانظمتها وكيفية التعامل معها لكي نتفق على المسميات التي مستخدمها. كما ولابد ان نتعرف على اسباب تسميتنا للحلول بانها تقريرية (اي غير مضبوطة). اي ان نكتشف الاسباب التي تؤدي إلى حدوث الاخطاء في الحلول.

وحيث اتنا نتعامل مع ارقام، كثير من الارقام، فلا بد لنا من ان نستخدم الجهاز الذي يساعدنا بذلك الا وهو الحاسب الالي. لكن ما المشاكل التي يمكن ان نواجهها عند استخدامنا لهذا الجهاز؟

١.١ انظمة الاعداد :Number Systems

في حياتنا اليومية نستخدم نظام الاعداد العشري المكون من عشرة ارقام هي (٠,١,٢,٣,٤,٥,٦,٧,٨,٩). وان أي عدد مكتوب بواسطة هذا النظام سيكون على شكل 5034798 مثلا. ان موقع كل رقم من ارقام هذا العدد له قيمة الرقم مضروبا بـ 10 مرتفعة إلى قوة تغتلي موقع الرقم من العدد ففي المثال اعلاه يكون موقع الارقام مبينا كما يلي :

الارقام	5	0	3	4	7	9	8
موقعها	6	5	4	3	2	1	0

ان العدد 10 الذي يمثل عدد الارقام في النظام العشري اعتبر قاعدة لتمثيل الاعداد في هذا النظام وما سبق فان العدد 5034798 هو بالحقيقة

$$5 \times 10^6 + 0 \times 10^5 + 3 \times 10^4 + 4 \times 10^3 + 7 \times 10^2 + 8 \times 10^1 + 9 \times 10^0$$

من هذا التحليل يمكن الان ان تفكك بانظمة عدديه اخرى لما قواعد مختلفاً و يمكن تكرير انظمة ثنائية، ثلاثية، رباعية،... الخ. الا اننا لا نحتاج إلى هذه الانظمة الا في حالات خاصة ولبعض الانظمة فقط.

واهم حالة يمكن عرضها هنا هي النظام الثاني، وهو النظام المستعمل في أجهزة الحاسوب الالى.

ان النظام الثنائي يعتمد على الاساس 2 ويكون من رقمين فقط هما 0 و1. وقد اعتمد هذا النظام لانه يمثل ترجمة تطبيقية لحجر الاساس في المنطق الرياضي وهي درجة صدق العبارة. ان العبارة في المنطق الرياضي لها احتمالين اما ان تكون صادقة او كاذبة وهذا يمكن ترجمته على انه وجود شيء او عدمه بحيث ان اجهزة الحاسوب الالى تعمل بواسطة الكهرباء فان وجود تيار كهربائي او عدمه يمثل صدق او كذب العبارة على الترتيب وهذا ان الاحتمالان تم ترميزهما رياضياً بالرمزين 0 و1. وعليه بي هذا النظام كي يستخدم في الحاسوب الالى.

اما كيفية تمثيل الاعداد بهذا النظام فيتم بتطبيق نفس فكرة تمثيل الاعداد بالنظام العشري اذ ان اي عدد في هذا النظام سيحتوي على رمزين فقط هما 0 و1 وبهذا يكون شكل الاعداد كما يلي (مثلاً).

100 10 10 111 0	او
111 001	او
1111	او
10001	او

وان قيمة كل رقم تمثل الرقم مضروباً في 2 (اساس النظام) مرتفعاً إلى قوة تمثل موقعه في العدد، فلتأخذ (مثلاً) العدد 111001. ان موقع الارقام فيه هو:

الرقم 111001
موقعه 543210

فإن العدد 111001 هو بالحقيقة.

$$1 \times 2^5 + 1 \times 2^4 + 1 \times 2^3 + 0 \times 2^2 + 0 \times 2^1 + 1 \times 2^0$$

وهذا يعطي قيمته مئنة بالنظام العشري على أنها.

$$32 + 16 + 8 + 0 + 0 + 1 = 57$$

على الرغم من أننا نستخدم النظام العشري في عملنا على الحاسوب الآلي (لسهولة واعتيادنا عليه) إلا أن الجهاز يحوله مباشرة إلى النظام الثنائي. في الواقع إن الجهاز يقوم بإجراء كل العمليات الحسابية بالنظام الثنائي وبعد الحصول على الناتج النهائي يقوم بتحويل العدد من النظام الثنائي إلى العشري لاظهاره على الشاشة وبسبب هذه التحويلات فإنه في بعض الأحيان يكون العدد منه بالنظام العشري بينما غير منه بالنظام الثنائي أو العكس وحيث أن جهاز الحاسوب الآلي له سعة محدودة في تخزين الأعداد فذلك يعني أنه لا بد من قطع العدد غير منه إلى ما يسعه الحاسوب الآلي.

متلاً العدد $(0.2)_2$ لو أردنا ان نحوله إلى النظام الثنائي يتبع

$$(0.00110011001100110011\dots)_2$$

ومن الانظمة الشائعة الاستخدام هي النظام الثنائي والنظام العشري.
فالنظام الثنائي يتكون من الرموز
 $(0, 1, 2, 3, 4, 5, 6, 7)$

اما النظام العشري فرموزه هي:

$$(0, 1, 2, 3, 4, 5, 6, 7, 8, 9, A, B, C, D, E, F)$$

1.2 مصادر الأخطاء Sources of Error

لا تخلو الحلول العددية من الخطأ ويعود ذلك لأسباب كثيرة نسميتها مصادر الخطأ منها.

١. محدودية الخزن في الحاسوب الالي Limitation of Computer Storage

بمجرد ادخال العدد إلى الجهاز الحاسوب فاتنا لا نضمن خزنها بقيمة الحقيقة، ذلك بسبب تحويله إلى النظام الثنائي الذي يحتاج إلى عدد كبير من الثنائيات للتعبير عن العدد المدخل مما يؤدي إلى اختزال هذا العدد الكبير وبالتالي تغيير قيمة العدد، او ادخال قيم عديدة غير منتهية مثل π , e , $\sin(x)$... الخ.

فالعدد $\frac{1}{3} = 0.333\dots$ لا يمكن خزنه كاملاً مهما كانت سعة الجهاز في الخزن. اذن ستكون قيمة في الجهاز خاطئة.

ب. خطأ الآلة Machine Error

ان الكلام عن الجهاز الحاسوب ينبع على اجهزة التباس الأخرى، اجهزة التباس المستخدمة في المختبرات العلمية مثل الميزان وال الساعة والفولتميتر ومقاييس الحرارة. كل هذه الاجهزه وغيرها قابلة للخطأ فيما بلغت من الدقة ذلك انها صناعة بشريه وان المواد المصنوعة منها هذه الاجهزه تتأثر بالظروف الجوية المحيطة مثل ضغط وحرارة ورطوبة... الخ.

ج. خطأ الصيغة الرياضية Formulation Error

في بعض الاحيان قد يتطلب وضع النموذج الرياضي حاله علمية (فزيائية، بيولوجية، اقتصادية،... الخ) ان يتضمن عدد كبير من العوامل مما يؤدي إلى تعقيد الحالة وصعوبة تطبيق النموذج، ولا جل ان يكون النموذج قابلاً للتطبيق غالباً ما يصار إلى اهمال بعض العوامل ذات الاهمية الاقل في ذلك النموذج بحيث لا يؤثر هذا الامر على الشكل العام والفكرة العلمية للنموذج.

لكن في حقيقة الامر ان هذا النموذج، المعدل سوف لن يكون دقيقاً في وصف الحالة تحت الدرس. فمثلاً عند قياس سرعة جسم يتحرك على سطح الأرض فاتنا نهم مقاومة الهواء غالباً، كذلك فان قانون القوة ليسون.

$$F = am_0$$

حيث m_0 هي كتلة الجسم وهو ساكن.

هو في حقيقته قانون اينشتاين.

$$F = ma$$

حيث m هي كتلة الجسم وهو متحرك حيث أن:

$$m = \frac{m_0}{\sqrt{1 - \left(\frac{v}{c}\right)^2}}$$

حيث v تمثل سرعة الجسم و c هي سرعة الضوء.

بالرغم من أن قانون نيوتن ينطبق على الحياة اليومية على سطح الأرض إلا أنه يقصر في تفسير الحالات الفلكية أو حركة مكونات الذرة، إذ أن اهتمام الفرق بين كتلة الجسم ساكناً وكتلته متحركاً قد لا يؤثر في حالة مشاهداتنا اليومية إلا أنه بالتأكيد يعطي خطأ في الحساب ولو بسيط.

.. خطأ البتر Truncation Error

كثيراً ما نستخدم دوال ليس لها قيمة مضبوطة وذلك لأنها تمثل في سلسلة لا نهاية لها. وذلك ما يضطررنا إلى استخدام فقط عدد عدود من حدود السلسلة وما يعني استخدام قيمة خاطئة للدالة المعنية. أما ما تبقى من السلسلة فيعتبر مقدار الخطأ في قيمة الدالة، وفي كثير من الأحيان لا يمكن حساب هذا المتبقى وعملياً فإن الحد الأول من المتبقى يؤخذ كقياس تقريري للخطأ.

فمثلًا الدالة $\cos x$ نجد قيمتها عند نقطة x من خلال السلسلة.

$$\cos x = 1 - \frac{x^2}{2!} + \frac{x^4}{4!} - \frac{x^6}{6!} + \dots$$

فمنذ النقطة $1 = x$ تصبح

$$\cos(1) = 1 - \frac{1}{2!} + \frac{1}{4!} - \frac{1}{6!} + \frac{1}{8!} - \dots$$

إن تحديد عدد المحدود المستخدمة يعتمد على دقة القيمة المطلوبة للدالة، فإذا كان مطلوب إيجاد قيمة (1) \cos صحيحة لأربع مراتب عشرية فإننا نستخرج قيم حدود السلسلة حداً حداً ونضيفها بعض مع ملاحظة تطابق المراتب العشرية بعد إضافة كل حد. فللحدود الثلاث الأولى نجد أن:

$$\cos(1) = 1 - \frac{1}{2!} + \frac{1}{4!} = 0.541666666$$

وبعد إضافة الحد الرابع

$$\cos(1) = 0.541666666 - \frac{1}{6!} = 0.540277777$$

واضح ان النطابق لمرتبتين عشرتين فقط فنحتاج لاضافة حدود اخرى

$$\cos(1) = 0.540277777 + \frac{1}{8!} = 0.540302579$$

لتقارن

$$\begin{array}{r} 0.540302579 \\ - 0.540277777 \\ \hline 0.000024802 \end{array}$$

لقد حصلنا على ما نريد اذا. يعني يمكننا القول ان

$$\cos(1) = 0.5402$$

هي قيمة صحيحة للدالة ولا نضمن دقة ما يأتي بعد الرقم 2 فهي صحيحة فقط لاربعة مراتب عشرية. اما مقدار الخطأ فيحسب على انه قيمة اول حد غير مستخدم في السلسلة (انه اكبر حد في التبقى) وفي حالاتا هذه فهو.

$$e = \frac{1}{10!} = 2.76 \times 10^{-7} = 0.00000276$$

وهذا في ما يعنيه ان القيمة التي حصلنا عليها بعد اضافة الحد الرابع لم تكن صحيحة لاربع مراتب عشرية فقط واما هي صحيحة لست مراتب!.

٥. خطأ التقرير (التدوير أو القطع)

Approximating Error (Rounding or Chopping)

في حياتنا اليومية غالباً ما نستخدم اقل الارقام للتعبير عن الكميات التي تحدث عنها فإذا سؤلنا عن الوقت وكان 14:5 فاننا سنجيب انه 15:5 (خمسة وربع)

وإذا سئلنا عن الوقت اللازم للوصول من مدينة أ إلى مدينة ب وكان 3:50:30 ثالث ساعات وخمسون دقيقة فأننا نجيب أنه أربع ساعات.

ان عملية التقريب في الحاسوب تتم عندما يكون عدد الثنائيات الممثلة للعدد أكبر من طول وحدة المخزن في الجهاز (word length) عندئذ سيقوم الجهاز بأحدى العمليتين:

1. القطع Chopping

لتفرض أن طول وحدة المخزن في الجهاز هي أربع مراتب وقد أدخلنا الأعداد $c = 0.003257$ ، $b = 0.30721$ ، $a = 0.24196$ فلن الجهاز مخزنها بالصور.

$$a^* = 0.2419$$

$$b^* = 0.3072$$

$$c^* = 0.0032$$

أي ان الجهاز قد اهمل كل المراتب بعد الرابعة.

2. التدوير Rounding

نقوم في هذه الحالة باختبار قيمة المرتبة بعد الرابعة فإذا كانت أكبر من أو تساوي نصف الوحدة ≤ 0.5 فيضاف 1 إلى المرتبة الرابعة ويلغى ما بعد ذلك والا فانه يهمل ما بعد المرتبة الرابعة. أما في الجهاز أي عملياً فانه يضيف إلى العدد المخزون 0.00005 ثم يهمل ما بعد المرتبة الرابعة من حاصل الجمع فالأعداد a ، b ، c من المثال أعلاه تصريح.

$$a^* = a + 0.00005 = 0.24196$$

$$\begin{array}{r} +0.00005 \\ \hline 0.2420\boxed{1} \end{array}$$

$$b^* = b + 0.00005 = 0.30721$$

$$\begin{array}{r} +0.00005 \\ \hline 0.3072\boxed{6} \end{array}$$

$$c^* = c + 0.00005 = 0.003257$$

$$\begin{array}{r} +0.00005 \\ \hline 0.0033\boxed{07} \end{array}$$

$$\cos(1) = 1 - \frac{1}{2!} + \frac{1}{4!} = 0.541666666$$

وبعد إضافة الحد الرابع

$$\cos(1) = 0.541666666 - \frac{1}{6!} = 0.540277777$$

واضح ان التطابق لمرتبتين عشرتين فقط فتحتاج لاضافة حدود اخرى

$$\cos(1) = 0.540277777 + \frac{1}{8!} = 0.540302579$$

لنقارن

$$\begin{array}{r} 0.540302579 \\ - 0.540277777 \\ \hline 0.000024802 \end{array}$$

لقد حصلنا على ما نريد اذاً. يعني يمكننا القول أن

$$\cos(1) = 0.5402$$

هي قيمة صحيحة للدالة ولا نضمن دقة ما يأتي بعد الرقم 2 فهي صحيحة فقط لاربعة مراتب عشرية. اما مقدار الخطأ فيحسب على انه قيمة اول حد غير مستخدم في السلسلة (لانه اكبر حد في المتبقى) وفي حالتنا هذه فهو.

$$e = \frac{1}{10!} = 2.76 \times 10^{-7} = 0.00000276$$

وهذا في ما يعنيه ان القيمة التي حصلنا عليها بعد اضافة الحد الرابع لم تكن صحيحة لاربع مراتب عشرية فقط وانما هي صحيحة لست مراتب.

.. خطأ التقرير (التدوير او القطع)

Approximating Error (Rounding or Chopping)

في حياتنا اليومية غالباً ما نستخدم اقل الارقام للتعبير عن الكميات التي تحدث عنها فإذا سئلنا عن الوقت وكان 14:5 فانا منجذب انه 15:5 (خمسة وربع)

وإذا سؤلنا عن الوقت اللازم للوصول من مدينة أ إلى مدينة ب وكان 3:50:30 ثالث ساعات وخمسون دقيقة فأننا نجيب أنه أربع ساعات.

ان عملية التقريب في الحاسوب تتم عندما يكون عدد الثنائيات الممثلة للعدد أكبر من طول وحدة المخزن في الجهاز (word length) عندئذ سيقوم الجهاز بأحدى العمليتين:

1. القطع Chopping

لنفرض ان طول وحدة المخزن في الجهاز هي أربع مراتب وقد أدخلنا الأعداد $c = 0.003257$ ، $b = 0.30721$ ، $a = 0.24196$ في المكان المخصص لها بالصور.

$$a^* = 0.2419$$

$$b^* = 0.3072$$

$$c^* = 0.0032$$

أي ان الجهاز قد أهمل كل المراتب بعد الرابعة.

2. التدوير Rounding

نقوم في هذه الحالة باختبار قيمة المرتبة بعد الرابعة فإذا كانت أكبر من او تساوي نصف الوحدة ≤ 0.5 فيضاف 1 إلى المرتبة الرابعة ويلغى ما بعد ذلك والا فانه يهمل ما بعد المرتبة الرابعة. أما في الجهاز أي عملياً فانه يضيف إلى العدد المخزون 0.00005 ثم يهمل ما بعد المرتبة الرابعة من حاصل الجمع فالأعداد a^* ، b^* ، c^* من المثال أعلاه تصبح.

$$a^* = a + 0.00005 = 0.24196$$

$$\begin{array}{r} +0.00005 \\ \hline 0.2420\boxed{1} \end{array}$$

$$b^* = b + 0.00005 = 0.30721$$

$$\begin{array}{r} +0.00005 \\ \hline 0.3072\boxed{6} \end{array}$$

$$c^* = c + 0.00005 = 0.003257$$

$$\begin{array}{r} +0.00005 \\ \hline 0.0032\boxed{07} \end{array}$$

لابد انك ادركت ان عملية التدوير بصورة عامة هي ادق من عملية القطع لكن لا تنسى اننا باستخدام التدوير تقوم بإجراء عملية جمع مع كل عدد يراد تقريره أي انها مكلفة اكثر من القطع. وهذه سمة الحياة لا ربح بدون خسارة.

لو تساءلت عن الاعداد الصحيحة وكيف نعالجها نقول ليكن $x = 397216$ ويراد تقريب هذا العدد أي التعبير عنه بعدد اقل من المراتب ولتكن n مراتب فسوف تقوم بعمل عمائل لما سبق وستأتي بتفاصيل اكبر لاحقاً.

و. الخطأ المتراكם (المتضخم) (Accumulated Error (Propagated Error))

يقصد به الخطأ الذي يحصل في خطوات لاحقة من العملية بناءاً على الخطأ الحاصل في خطوات سابقة. فإذا تضخم الخطأ اكثر فأكثر مع استمرار العملية فإنه بالنهاية سوف يمتلك الخطأ على قيمة الخل، عندما يقال ان الصيغة المستخدمة للحل بانيا غير مستقرة (او غير مستقرة) ذلك انه في الصيغ المستقرة فإن الخطأ يتلاصق باستمرار العملية. يحصل ذلك غالباً في الصيغ التكرارية، فالخطأ الحاصل في التكرار الحالي يسمى بالخطأ المحلي (Local Error) أما الخطأ الحاصل بعد n من التكرارات فيسمى بالخطأ الكلي (Global Error). وهذا المثال يوضح ذلك.

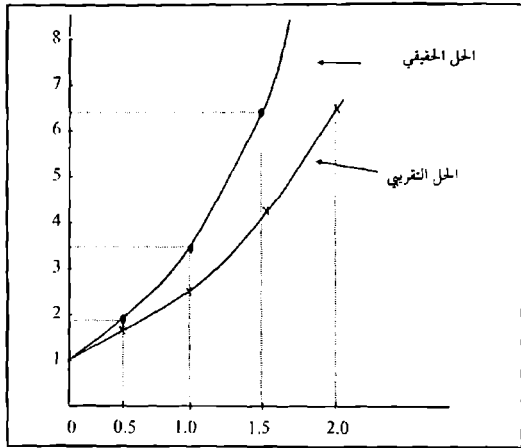
مثال 1:

$$\text{حل مسألة القيمة الابتدائية } y(0) = 1 \text{ و } y' = y + x \text{ و }$$

$$\text{على الفترة } 0 \leq x_n \leq 2$$

فاننا نستخدم طريقة اويلر التقريرية ذلك بان نقسم الفترة $[0, 2]$ إلى فترات جزئية ليكن طول كل منها $h = 0.5$ (شكل 1.1)

$$\text{نعين النقط } x_n = x_0 + nh \text{ حيث}$$



شكل (1.1)

ونطبق صيغة اويلر حيث:

$$y_{n+1} = y_n + h f(x_n, y_n)$$

فبداءاً من $y_0 = 1$ ، $x_0 = 0$ فان

$$y_1 = y_0 + h \{f(x_0, y_0)\}$$

$$= 1 + (0.5)(1 + 0) = 1.5$$

$$y_2 = 1.5 + (0.5)(1.5 + 0.5) = 2.5$$

$$y_3 = 2.5 + (0.5)(2.5 + 1) = 4.25$$

$$y_4 = 4.25 + (0.5)(4.25 + 1.5) = 7.125$$

لاحظ في الجدول (1)، ان مقدار الخطأ يزداد كون ان صيغة اويلر هي تقريرية. عند ادخال النقطة الاولى على الصيغة فانها تولد قيمة تقريرية وهذه القيمة تدخل لايجاد القيمة التالية فتجمع اخطاء الصيغة واتخاذ القيم المدخلة وهذا يتكرر للقيمة التالية وهكذا نلاحظ تضخم الخطأ علماً ان الحل الحقيقي للمسألة هو:

$$y=2e^x - x - 1$$

جدول (1)

n	x_n	y التقريرية	y المفترضة	e الخطأ
0	0	1	1	0
1	0.5	1.5	1.797	0.297
2	1.0	2.5	3.437	0.937
3	1.5	4.25	6.463	2.213
4	2	6.125	11.778	5.653

والصورة جلية في الشكل (1.1)

تعريف 1:

الخطأ المطلق هو الفرق بين القيمة الحقيقة والقيمة التقريرية للعدد ويرمز له ϵ_x اي ان

$$\epsilon_x = |x - x^*|$$

حيث x هي القيمة الحقيقة.

و x^* هي القيمة التقريرية.

تعريف 2:

الخطأ النسبي هو حاصل قسمة الخطأ المطلق على القيمة الحقيقة. وهو يبين نسبة الخطأ الموجود في القيمة التقريرية إلى القيمة الحقيقة ويرمز له δ_x اي ان:

$$\delta_x = \frac{\epsilon_x}{x}$$

وفي كثير من الاحيان يقاس الخطأ النسبي مثواباً ويسمى الخطأ النسبي المثواب.

$$\delta_{\%} = \frac{e_x}{x} \times 100$$

في حالة عدم توفر معلومات عن القيمة الحقيقة فيستعاض عنها بالقيمة التقريرية أي ان:

$$\delta_x = \frac{e_x}{x^*}$$

ان الخطأ النسي يعطي صورة اوضح عن كمية الخطأ الموجدة فنلذن.

$$x = 0.0008, \quad x^* = 0.0007$$

$$e_x = 0.0001$$

فإن

ويبدو صغيراً.

ولكن

$$\delta_x = \frac{e_x}{x} = \frac{0.0001}{0.0008} = 0.125$$

او

$$\delta_{\%} = 0.125 \times 100 = 12.5\%$$

وهي نسبة ليست قليلة.

إن التعامل مع قيم تقريرية يؤدي إلى ظهور أخطاء في نواتج العمليات الحسابية الأربع وفي بعض الأحيان يمكن التقليل من تلك الأخطاء بإعادة ترتيب العمليات الحسابية وإعادة صياغة التركيب للحدود الجبرية ولذلك لابد لنا من معرفة صيغة الخطأ المطلق والخطأ النسي في كل عملية حسابية.

أ. الجمع: في جمع القيم التقريرية x^*, y^* يتبع الخطأ المطلق.

$$\begin{aligned} e_{x+y} &= (x + y) - (x^* + y^*) \\ &= (x - x^*) + (y - y^*) \end{aligned}$$

$$e_{x+y} = e_x + e_y$$

∴

(1)

اما الخطأ النسي فهو:

$$\delta_{x+y} = \frac{e_x + e_y}{x + y}$$

وحيث ان

$$\delta_x = \frac{e_x}{x}$$

: فإن

$$e_x = x \delta_x$$

$$\delta_{x+y} = \frac{1}{x+y} [x \delta_x + y \delta_y] \quad \therefore \quad (2)$$

ب. الطرح: بنفس اسلوب الجمع فإن:

$$\begin{aligned} e_{x-y} &= (x-y) - (x^* - y^*) \\ &= (x - x^*) - (y - y^*) \end{aligned}$$

إذن

$$e_{x-y} = e_x - e_y \quad (3)$$

: إن

$$\delta_{x-y} = \frac{e_x - e_y}{x - y}$$

إذن

$$\delta_{x-y} = \frac{x \delta_x - y \delta_y}{x - y} \quad (4)$$

ج. الضرب: عند ضرب العددين التقريريين x^* , y^* يتحقق المطابقة.

$$e_{xy} = (xy) - (x^* y^*)$$

$$e = x - x^*$$

وحيث ان

$$\begin{aligned} x^* &= x - e_x \\ e_{xy} &= xy - [(x - e_x)(y - e_y)] \\ &= xy - [xy - xe_y - ye_x + e_x e_y] \end{aligned}$$

وحيث انه من المتوقع ان يكون الخطأ e_x و e_y صغيراً فان $e_x e_y$ يصبح صغيراً جداً يمكن اهماله وبذلك فإن:

$$e_{xy} \approx xe_y + ye_x \quad (5)$$

اما الخطأ النسبي فهو

$$\begin{aligned} \delta_{xy} &= \frac{xe_y + ye_x}{xy} \\ &= \frac{e_y}{y} + \frac{e_x}{x} \end{aligned}$$

إذن

$$\delta_{xy} \approx \delta_y + \delta_x \quad (6)$$

د. القسمة: في حالة قسمة x^* و y^* نجد أن:

$$\frac{x^*}{y^*} = \frac{x - e_x}{y - e_y} = \frac{x - e_x}{y} \cdot \frac{1}{1 - \frac{e_y}{y}}$$

وحيث ان:

$$\frac{1}{1 - \frac{e_y}{y}} = 1 + \frac{e_y}{y} + \frac{e_y^2}{y^2} + \frac{e_y^3}{y^3} + \dots$$

بنتج ان:

$$\begin{aligned} \frac{x^*}{y^*} &= \frac{x - e_x}{y} \left[1 + \frac{e_y}{y} + \frac{e_y^2}{y^2} + \dots \right] \\ &= \frac{x - e_x}{y} + \frac{xe_y - e_x e_y}{y^2} + e_y^2 y \frac{x - e_x}{y^3} + \dots \end{aligned}$$

وبالإهمال الحدود التي تحتوي حاصل ضرب خطأين أو أكثر يتبع.

$$\frac{x^*}{y^*} = \frac{x}{y} = \frac{e_x}{y} + x \frac{e_y}{y^2}$$

$$e_{x/y} = \frac{x}{y} - \frac{x^*}{y^*} = \frac{x}{y} \left(\frac{e_x}{x} - \frac{e_y}{y} \right)$$

$$\delta_{x/y} = \delta_x - \delta_y$$

اما الخطأ الذي فيه

مثال 2:

لتأخذ العددان المدورين $x^* = 4.28$ و $y^* = 3.1$. ان حاصل ضربهما هو $x^* \cdot y^* = 13.268$ ، نجد الخطأ المطلق لكل من x^* و y^* وهو

$$e_x = 0.005$$

$$e_y = 0.05$$

ولذا يكون الخطأ في حاصل الضرب:

$$\begin{aligned} e_{xy} &= x^* e_y + y^* e_x = (4.28)(0.05) + (3.1)(0.005) \\ &= 0.2295 \end{aligned}$$

والخطأ الذي يكون:

$$\delta_x = \frac{0.2295}{13.268} = 0.018$$

من الخطأ المطلق يتضح ان حاصل الضرب صحيح فقط للاعداد الصحيحة اما الكسر فإنه غير مضمون الدقة.

مثال 3:

في حل المعادلة التربيعية $ax^2 + bx + cx = 0$ نستخدم الدستور.

$$x = \frac{-b \pm \sqrt{b^2 - 4ac}}{2a}$$

$$x^2 + 62.10x + 1 = 0$$

والتي لها الجذرين $x_1 = 0.0161072$ و $x_2 = 62.08390$ تقريباً.

في استخدام اربعة ارقام معنوية في حساباتنا نحصل على ما يلي:

$$\begin{aligned}\sqrt{b^2 - 4ac} &= \sqrt{(62.10)^2 - 4} = \sqrt{3856. - 4.000} \\ &= \sqrt{3852} = \sqrt{62.06}\end{aligned}$$

وعليه تكون.

$$x_1 = \frac{-b + \sqrt{b^2 - 4ac}}{2a} = \frac{-62.10 + 62.06}{2.000} = \frac{-0.04000}{2.000} = -0.02000$$

وهو تقرير ضعيف للجذر $x_1 = -0.016107$ (وذلك بسبب طرح عددين متقاربين) اما الجذر x_2 فهو حاصل جمع ويكون

$$x_2 = \frac{-b - \sqrt{b^2 - 4ac}}{2a} = \frac{-62.10 - 62.06}{2.000} = \frac{-124.2}{2.000} = -62.10$$

مقارنة مع الجذر $x_2 = 62.08$

الا انه يمكن التوصل إلى دقة أعلى من ذلك رغم استخدامنا نفس العدد من الارقام المعنوية ذلك بتغيير شكل الصيغة وكما يلي:

$$\begin{aligned}x_1 &= \frac{-b + \sqrt{b^2 - 4ac}}{2a} \left(\frac{(-b - \sqrt{b^2 - 4ac})}{-b - \sqrt{b^2 - 4ac}} \right) = \frac{b^2 - (b^2 - 4ac)}{2a(-b - \sqrt{b^2 - 4ac})} \\ &= \frac{-2c}{b + \sqrt{b^2 - 4ac}} = \frac{-2.000}{62.10 + 62.06} = \frac{-2.000}{124.2} = -0.01610\end{aligned}$$

الفرق واضح! لكن لاحظ ماذا يحدث لاجداد الجذر الآخر

$$x_2 = \frac{-2c}{b - \sqrt{b^2 - 4ac}} = \frac{-2.000}{62.10 - 62.06} = \frac{2.000}{0.04000} = 50.00$$

خطأ كبير سببه ليس فقط طرح عددين متقاربين بل أيضًا القسمة على ناتج طرح ذلك وهو صغير نسبياً.

3. الحسابات باجهزة الحاسب الآلي:

من المعروف ان جهاز الحاسب تكون قابليه على تخزن الاعداد محدودة ذلك بمحدودية طول وحدة التخزن (طول الكلمة) (Ward length) وحيث ان الاعداد التي تدخل الى الجهاز بصيغة النظام العشري [9,...,2,1,0] تحول الى صيغة النظام الثنائي (Binary) [1,0] فان مكونات العدد سيختلف عددها ويؤول للزيادة حتماً فمثلاً.

ثنائي	عشري
01	2
0101	10
10101	21

لذا فعندما يكون العدد بصيغة النظام الثنائي بمحض أكبر من قابلية الجهاز على الاستيعاب فان الجهاز يضطر الى تقريب ذلك العدد باللغاء المراتب الفائضة عن الممكن وعليه فان قيمة العدد قد تغيرت بمقدار ما قدمت الغائه. وهذه الحالة ليست قليلة لحدوث بل على العكس فان الاعداد الصغيرة والكبيرة وخاصة الكسور تصادى من هذه المشكلة. لذا فان استخدام الجهاز ضمئناً يعني الوقوع في خطأ يصعب تفاديه.

وقد مر علينا سابقاً في مصادر الأخطاء مصطلح الرقم المعنوي (او المميز) (Significant digit)! قد لا يكون هناك تعريف محدد واضح للرقم المعنوي لكن يمكن ان نقول أن الرقم المعنوي هو الذي تكون له قيمة عددية معتبرة فمثلاً لو أردنا كتابة كل من الأعداد الآتية باستخدام أربعة أرقام معنوية فقط [0.0397285, 397285, 0, 397.285] فإنها تصبح بالشكل [397300, 397.3, 0.03973] على الترتيب وذلك بعد تدويرها.

اذاً بغض النظر عن موقع الرقم كونه صحيحاً او ضمن الكسر، وجوده يعتمد على عدد الارقام المعنوية المطلوب استخدامها.
امثلة لتقريب الاعداد باستخدام اربعة ارقام معنوية فقط.

$$1.0006 \Rightarrow 1.001$$

$$100.06 \Rightarrow 100.1$$

$$0.010006 \Rightarrow 0.01001$$

اما بردن وفيرز (Burden, R.L. and J.D. Faires) [7] فقد وضعوا التعريف

الأدق:

تعريف 3:

يقال أن P^* يقرب العدد P إلى a من الأرقام المعنوية اذا كان a هو أكبر عدد

صحيح غير سالب بحيث:

$$\frac{|P - P^*|}{|P|} < 5 \times 10^{-1}$$

فهذا التعريف يعتمد الخطأ النسبي للحصول على انسانية في المفهوم.

ان الاعداد تخزن في الجهاز على شكل موحد وهو ما يسمى بصيغة الفاصلة

العائمة (العائمة) القياسية. (Normalized Floating Point).

حيث أي عدد يتحول إلى الصيغة الآتية:

$$d_1.d_2..d_n \times 10^E , \quad d_1 \neq 0$$

حيث d_i هي مكونات العدد و E هو الاس الذي يحافظ على القيمة العددية للعدد الاصلي وطبعاً لابد ان يكون هناك حجرة خاصة لتدل على اشارة الجزء الكسري، وحجرة خاصة لتدل على اشارة الاس. ويعتمد عدد المراتب العشرية في الجزء الكسري على قابلية الجهاز على الامتناع (طول الكلمة؛ والتي هي وحدة الحزن الخاصة بكل جهاز).

مثال لكتابة الاعداد ادناء بصيغة الفاصلة العائمة.

$$397285 \Rightarrow 0.397285 \times 10^6$$

$$397.285 \Rightarrow 0.397285 \times 10^3$$

$$0.00397285 \Rightarrow 0.397285 \times 10^{-8}$$

$$0.397285 \Rightarrow 0.397285 \times 10^0$$

اما في اجراء العمليات الحسابية على الاعداد في صيغة الفاصلة العائمة فانه يعتمد على نوع العملية الحسابية. ادنى نستعرض العمليات الحسابية على اعداد فيها الجزء الكسري مكون من ثلاثة مراتب على ان نقرب الناتج إلى ثلاثة مراتب.

1. الجمع: نوحد الاسس إلى الاس الأكبر بينهما ونجري عملية الجمع على الكسور.

مثال:

$$0.381 \times 10^1 + 0.502 \times 10^2$$

تصبح

$$\begin{array}{r} 0.0381 \times 10^2 \\ + 0.502 \times 10^2 \\ \hline = 0.5401 \times 10^2 \end{array} \quad \text{بالقطع} \quad \rightarrow 0.540 \times 10^2$$

او

$$\begin{array}{r} 0.5401 \times 10^1 \\ + 0.0005 \times 10^2 \\ \hline = 0.5406 \times 10^1 \end{array} \quad \text{بالتدوير} \quad \rightarrow 0.540 \times 10^2$$

2. الطرح: كما في عملية الجمع

$$\text{مثلاً: } 0.872 \times 10^1 - 0.227 \times 10^1$$

$$\begin{array}{r} 0.872 \times 10^1 \\ - 0.00227 \times 10^1 \\ \hline = 0.86973 \times 10^1 \end{array} \quad \text{بالقطع} \quad \rightarrow 0.869 \times 10^1$$

أو

$$\begin{array}{r} 0.872 \times 10^1 \\ - 0.00227 \times 10^1 \\ \hline = 0.87023 \times 10^1 \end{array} \quad \text{بالتدوير} \quad \rightarrow 0.870 \times 10^1$$

الضرب: هنا نقوم بجمع الاسس ونضرب الكسر ببعضها ويعدل الناتج إلى حالة الفاصلة العائمة القياسية.

$$\text{مثلاً: } 0.782 \times 10^3 \cdot 0.236 \times 10^{-2}$$

تصبح

$$\begin{array}{r}
 & & 3 \\
 & + -2 \\
 \hline
 & 1
 \end{array}$$

$$\begin{array}{r}
 0.782 \times 10^3 \\
 \times 0.236 \times 10^{-2} \\
 \hline
 = 0.184552 \times 10^1 \\
 + 0.0005 \times 10^1 \\
 \hline
 = 0.185052 \times 10^1
 \end{array}$$

بالقطع

أو

بالتدوير

4. القسمة: بعكس عملية الضرب فاتنا نطرح الاس وذلك بحسب ترتيب المساواة ونقسم الكور.

ونعدل الناتج إلى صيغة الفاصلة العائمة.

$$\text{مثلاً: } 0.625 \times 10^3 \div 0.236 \times 10^{-2}$$

تصبح:

$$\begin{array}{r}
 & & 3 \\
 & - -2 \\
 \hline
 & 5
 \end{array}$$

$$\begin{array}{r}
 0.625 \times 10^3 \\
 \div 0.236 \times 10^{-2} \\
 \hline
 = 5.04032 \times 10^5
 \end{array}$$

بعدد لصيغة الفاصلة العائمة فيكون.

$$\begin{array}{r}
 & & 6 \\
 & - -2 \\
 \hline
 & 5
 \end{array}$$

$$\begin{array}{r}
 = 0.504032 \times 10^6 \\
 + 0.0005 \times 10^6 \\
 \hline
 = 0.504532 \times 10^6
 \end{array}$$

بالقطع

أو

بالتدوير

اخيراً من المفيد ان نذكر طريقة الضرب الغشـي (المتـداخل) (nested multiplication) والتي تستخدم في ايجاد قيمة متعددة الحدود وبعد أقل من العمليات الحــالية مما يؤدي إلى الحــد من خطأ الدــور المــصاحــة للعمــليــات الحــالية.

مثال 4:

لو اردنا حــساب قيمة الحــدودــية ($P(x)$) عند النــقطــة $x = 2.5$ مستــخدمــين أربعــة ارقــام معــنــوية حيث:

$$P(x) = x^5 - 8.6x^4 + 38.782x^3 - 17.25x^2 - 4.5927x + 10.5$$

نحصل على

$$P(2.5) = 474.7$$

علــما اــنــا اــجــرــينا خــســ عمــليــات طــرح او جــمــع وــنــمــانــية عــشــر عمــليــة ضــرب .
ولــو اــســتــخــدمــنا الضــرب المتــداخل

$$P(x) = (((((x - 8.6)x + 38.782)x - 17.25)x - 4.5927)x + 10.5$$

فــاــنــا نــحــصل على

$$P(2.5) = 474.5$$

بعد اــجــراء خــســ عمــليــات جــمــع او طــرح وــأــرــبع عمــليــات ضــرب فقط ، عــلــما اــنــ الــقــيــمة الــحــقــيقــيــة للــحــدودــية هي :

$$P(2.5) = 474.51825$$

تمارين

في التمارين 1-3 استخدم نظام الفاصلة العائمة.

1. جد الخطأ المطلق لكل نتيجة بواسطة القطع والتدوير لثلاثة ارقام.

أ. $3.26 \times 10^{-3} + 2.07 \times 10^4$

ب. $1.92 \times 10^5 - 1.94 \times 10^4$

ج. $(3.26 \times 10^{-3} + 2.07 \times 10^4) - 2.01 \times 10^{-4}$

د. $3.26 \times 10^{-3} + (2.07 \times 10^4 - 2.01 \times 10^{-4})$

2. جد الخطأ النسبي لكل نتيجة بواسطة القطع والتدوير لثلاثة ارقام.

أ. $3.28 \times 10^{-2} * 6.98 \times 10^3$

ب. $3.28 \times 10^{-8} * 6.98 \times 10^{-7}$

ج. $(3.28 \times 10^{-2} * 6.98 \times 10^3) + 4.82 \times 10^{-8}$

د. $3.28 \times 10^{-2} * (6.98 \times 10^3 \div 4.82 \times 10^{-8})$

3. جد الخطأ المطلق والنسي بعد القطع لثلاثة ارقام.

أ. $4.82 \times 10^2 \div 8.81 \times 10^8$

ب. $1.06 \times 10^{-9} \div 4.06 \times 10^2$

ج. $4.82 \times 10^2 \div (8.81 \times 10^8 * 4.06 \times 10^{-2})$

د. $(4.82 \times 10^2 \div 8.81 \times 10^8) * 4.06 \times 10^{-2}$

4. اكتب برنامجاً لتوضيح تأثير عملية الجمع في الفروع أ، ب، ج

أ. اجمع العدد 0.01 مائة مرة.

ب. اجمع العدد 0.001 ألف مرة.

ج. اجمع العدد 0.001 عشرة الاف مرة.

د. اطبع الناتج الوسطية للقيم 0.1 و 0.2 إلى 1.0.

مراجعة نظرية Theoretical Background

2.1 نظرية رول

2.2 نظرية رول العامة

2.3 نظرية متوسط القيمة

2.4 نظرية متوسط القيمة للتكامل

2.5 نظرية القيم التصموى

2.6 نظرية القيمة الوسيطة (البيانية)

2.7 نظرية تيلر

2.8 نظرية كوشى

تمارين

الفصل الثاني

مراجعة نظرية

Theoretical Background

تعريف 1:

لتكن $\{x_n\}_{n=1}^{\infty}$ متابعة من الاعداد الحقيقة، يقال ان المتابعة تتقرب إلى عدد x ويسى النهاية (Limit) اذا كان لكل $\epsilon > 0$ يوجد عدد صحيح موجب N بحيث لكل $n > N$ يكون $|x_n - x| < \epsilon$ أي ان.

$$\lim_{n \rightarrow \infty} x_n = x \quad (1)$$

تعريف 2:

لتكن f دالة معروفة على مجموعة من الاعداد الحقيقة X وان $x_0 \in X$ ، يقال ان f متصلة (continuous) عند x_0 اذا كان

$$\lim_{x \rightarrow x_0} f(x) = f(x_0) \quad (2)$$

وإذا كانت f متصلة عند كل نقطة من نقاط X عندئذ يقال ان f متصلة على X .

تعريف 3:

لتكن f دالة معروفة على فترة تغطي x_0 . يقال ان f قابلة للاشتقاق عند x_0 اذا كانت النهاية.

$$\lim_{x \rightarrow x_0} \frac{f(x) - f(x_0)}{x - x_0} \quad (3)$$

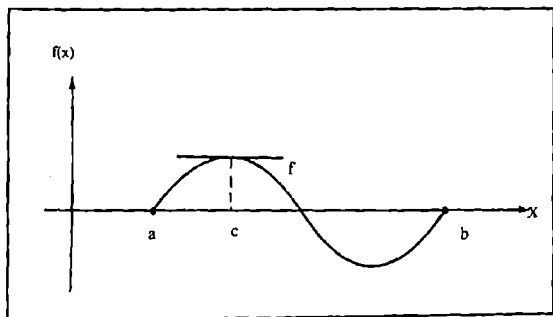
موجودة، عندئذ يقال ان هذه هي مشتق الدالة f ويرمز لها $f'(x_0)$ او $\frac{df}{dx}$.

ترميز 1) يرمز لمجموعة الدوال المتصلة على المجموعة X بالرمز $C(X)$ ، فإذا كانت X هي فترة على خط الأعداد الحقيقة فاننا نستخدم الأقواس المناسبة لتلك الفترة. فلو كانت X هي الفترة المغلقة $[a,b]$ عندئذ نرمز لمجموعة الدوال المتصلة على الفترة المغلقة $[a,b]$ بالرمز $C[a,b]$

2) يرمز لمجموعة الدوال التي لها n من المشتقات المتصلة في الفترة $[a,b]$ بالرمز $C^n[a,b]$

2.1 نظرية رول (Rolle's Theorem)

لتكن $f \in C[a,b]$ وقابلة للاشتاقف في (a,b) إذا كانت $f(a) = f(b)$ فإنه توجد نقطة c بين a و b بحيث أن $f'(c) = 0$ شكل (1. 2)



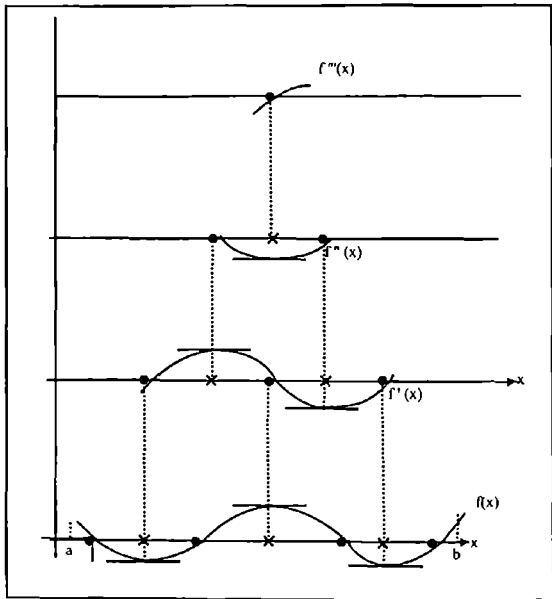
شكل (2.1)

2.2 نظرية رول العامة (General Rolle's theorem)

لتكن $f \in C^n[a,b]$ اذا كانت النقاط x_i في الفترة $[a,b]$ بحيث

$$f(x_0) = f(x_1) = \dots = f(x_n)$$

فانه يوجد عدد c في (a,b) بحيث $f^{(n)}(c) = 0$. شكل (2.2)



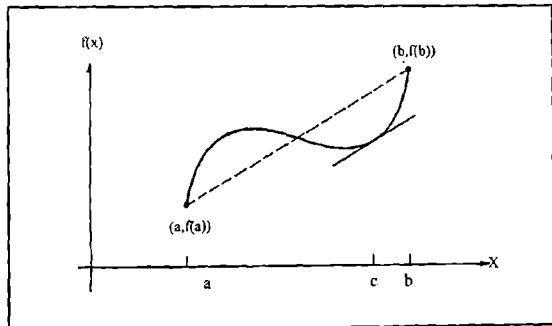
شكل (2.2)

2.3 نظرية متوسط القيمة (Mean Value Theorem) M.V.T

لتكن f دالة معروفة على الفترة $[a,b]$ ومتصلة على $[a,b]$ وقابلة للإشتقاق في الفترة (a,b) فانه يوجد عدد c بين b,a بحيث:

$$f'(c) = \frac{f(b) - f(a)}{b - a} \quad (4)$$

كما في شكل (2.3)

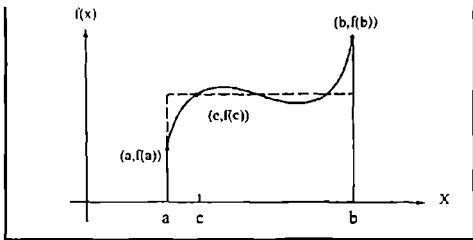


شكل (2.3)

2.4 نظرية متوسط القيمة للتكامل : M.V.T. for Integral

اذا كانت $f \in C[a, b]$ و g قابلة للتكامل على $[a, b]$ ولا تغير اشارتها خلال الفترة $[a, b]$ فانه يوجد عدد c بين b, a بحيث.

$$\int_a^b f(x)g(x)dx = f(c) \int_a^b g(x)dx \quad (5)$$



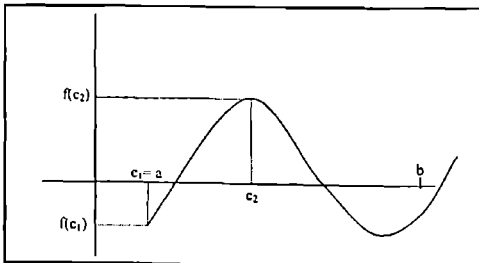
شكل (2.4)

وفي حالة كون $f'(x) = g(x)$ فلأننا نحصل على متوسط القيمة للدالة f على الفترة

ظرفية القيم القصوى Extreme Value Theorem

إذا كانت $f \in C[a, b]$ فانه يوجد عددين c_1, c_2 في $[a, b]$ بحيث ان $f(c_1) \leq f(x) \leq f(c_2)$ لكل $x \in [a, b]$. اضافة لذلك، اذا كانت f قابلة للاتساق في فان العددين يكونان اما نهايي الفترة $[a, b]$ او حيث $(x)'$ تساوي صفرأ.

(2.5)

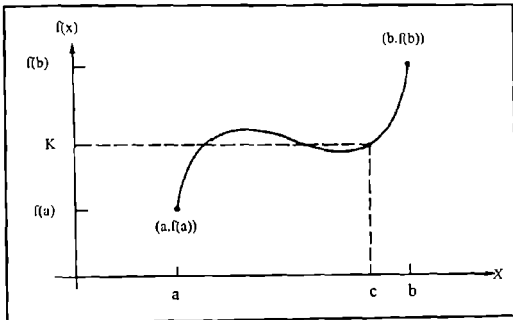


شكل (2.5)

2.6 نظرية القيمة الوسيطة (البینیة): Intermediate Value Theorem

إذا كانت $f \in C[a,b]$ وان k هو عدد يقع بين $f(a)$ و $f(b)$ فانه يوجد عدد c بين

(2.6) $f(c) = k$ حيث $c \in [a,b]$



(2.6) شكل

2.7 نظرية تيلر Taylor's Theorem

لتكن $f \in C^n[a,b]$ وان $f^{(n+1)}$ موجود على $[a,b]$ ولتكن x_0 نقطة في $[a,b]$ لكل $x \in [a,b]$ يوجد (x) بين x_0 و x بحيث ان:

$$f(x) = P_n(x) + R(x)$$

حيث:

$$\begin{aligned}
 P_n(x) &= f(x_0) + \frac{(x - x_0)}{1!} f'(x_0) + \frac{(x - x_0)^2}{2!} f''(x_0) \\
 &\quad + \dots + \frac{(x - x_0)^n}{n!} f^{(n)}(x_0) \\
 &= \sum_{i=0}^n \frac{(x - x_0)^i}{i!} f^{(i)}(x_0)
 \end{aligned} \tag{6}$$

$$R(x) = \frac{(x - x_0)^{n+1}}{(n+1)!} f^{(n+1)}(\xi_{n+1}) \quad (7)$$

ان المعادلة (6) تسمى سلسلة تيلر (Taylor Series) وعندما $x = x_0$ فاننا نحصل على سلسلة مكلاورن (Maclaurin series) اما $R(x)$ في المعادلة (7) نسمى التبقى (Remainder)

2.8 نظرية كوشي Cauchy's Theorem

لتكن $\{x_n\}$ متتابعة من الاعداد الحقيقية. اذا كان لكل $\epsilon > 0$ يوجد عدد صحيح N بحيث ان $|x_m - x_n| < \epsilon$ لاي عددين m و n حيث $m, n > N$ عندئذ يقال ان المتتابعة متقاربة.

تمارين

1. ما مقدار الخطأ المطلق والخطأ النسبي في تقرير P بـ \tilde{P} في ما يلي؟

أ. $\tilde{P} = 3.1$ ، $P = \pi$

ب. $\tilde{P} = 0.333$ ، $P = \frac{1}{3}$

ج. $\tilde{P} = 0.16$ ، $P = \frac{1}{6}$

2. اجر الحسابات الآتية واستخرج الناتج

أ. بالضبط.

ب. باستخدام ثلاثة ارقام معنوية بطريقة القطع.

ج. باستخدام ثلاثة ارقام معنوية بطريقة التدوير.

ثم عن الارقام المعنوية المفقردة.

I. $(183 + 0.752) - (161 + 22.0) \times 0.0327 + 23.3$. II. $0.0762 + 23.3$. III. 275×0.0327

3. بين ان المعادلة $\sin(x) = e^x - x^3$ لها على الاقل جذر واحد في الفترة $[4.1, 5]$.

4. ارسم الدالة $f(x) = x^3 + 2x + k$ ، حيث k ثابت. كيف يمكن ان نستخدم نظرية رول ونظرية القيمة الوسيطة لاثبات انها تقطع المحور X مرة واحدة فقط؟

5. اوجد قيمة تقريبة للدالة e^x باستخدام سلسلة تيلر حول النقطة $x_0 = 0$ وذلك عند $x = 0.1$ وحدودية من الدرجة الرابعة. ما هي حدود الخطأ في القيمة التي حصلت عليها.

6. اوجد جذر المعادلة $0 = 1.2 + 1.01x - 1000x^2$ لخمسة ارقام معنوية.

أ. بطريقة القانون العام.

ب. باستخدام الضرب بالمرافق

حل المعادلة اللاخطية

Solving Non - Linear Equation

مقدمة

3.1 طريقة التنصيف

3.2 طريقة الموضع الكاذب

3.3 طريقة نيوتن رافسن

3.4 طريقة القاطع

3.5 طريقة النقطة الثابتة

3.6 رتبة التقارب

تمارين

الفصل الثالث حل المعادلة اللاخطية

Solving Non – Linear Equation

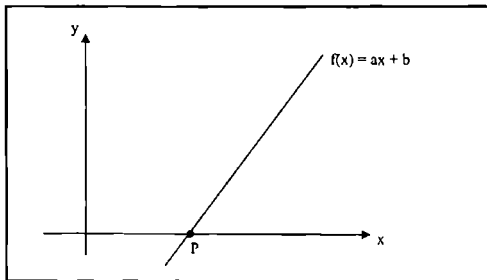
مقدمة, Introduction

ليس من النادر ان نقف حائرين امام معادلة جبرية لا نعرف كيف نبدأ في ايجاد حلها. ذلك ان المعادلة هذه يمكن ان تكون من الصعوبة بحيث لا مجال للتفكير بها. لكن لا تيأس فهناك وسائل اخرى لايجاد الحل التقريري.

نعلم ان المعادلة الخطية هي متعددة حدود من الدرجة الأولى.

$$f(x) = ax + b \quad (1)$$

وهندسياً تمثل خطأً مستقيماً؛ شكل (3.1)



شكل (3.1)

فعملاً تحدث عن حل (Solution) المعادلة يعني ان تجد قيمة x التي يجعل الدالة تساوي صفرأ.

$$f(x) = ax + b = 0$$

وتسمى هذه القيمة جذراً (root) او صفرأً (zero).

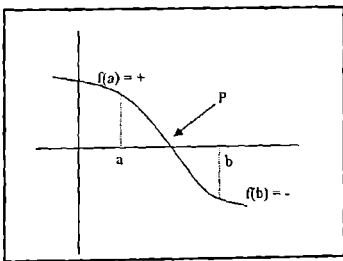
اما المعادلة اللاخطية فهي اية معادلة غير خطية، فهي قد تحتوي متعددات حدود من درجة غير الاولى، او دوال من انواع اخرى.
في المعادلة اللاخطية.

$$f(x) = 0 \quad (2)$$

نبحث عن قيمة x التي تحقق المعادلة (شكل (3.2)) فاذا لم نستطع ذلك نبحث عن \bar{x} بحيث:

$$f(\bar{x}) = 0 \quad (3)$$

قد يكون البحث عن الجذر بمراحلتين، الاولى: تحديد موقع الجذر، والثانية تحديد قيمة الجذر.



شكل (3.2)

تفى المرحلة الاولى علينا ان نحدد فقط ان الجذر يقع في مجال معين كي يكون مختباً مركزاً في ذلك المجال. ذلك عندما تكون الدالة f تحقق شروط نظرية القيمة اليئنة فاننا اما:

أ. تكون جدولًا بقيم الدالة للتعرف على الفترة التي تغير فيها الدالة اشارتها من سالب إلى موجب أو العكس.

مثلاً للدالة $f(x) = \ell_n x - \frac{x}{10}$ تكون جدولًا بدءاً من $x=1.0$ وخطوات طولها 0.1.

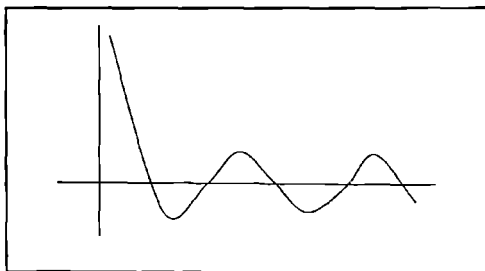
جدول (1)

x	$f(x)$
1.0	- 0.100
1.1	- 0.015
1.2	+ 0.062
1.3	+ 0.132

نلاحظ ان جذراً لابد ان يقع في الفترة (1.1 ، 1.2)

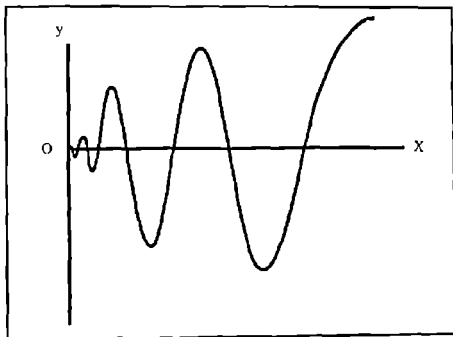
أو

ب. برسم الدالة، حيث يوضح لنا كيفية تصرف الدالة كأن لا يكون لها جذور سالبة او انها سريعة التذبذب مما يعطيها فكرة عن كثافة الجذور في منطقة البحث.



شكل (3.3)

دالة ليس لها جذور سالبة على الأقل قرب نقطة الأصل



شكل (3.4)
دالة سريعة التقلب

او

ج. بتجزئة الدالة إلى جزئين يسهل رسمهما، فحيث أن $0 = f(x)$ ، نجزئ f إلى f_1 و f_2
ونكتبهما بالصورة

$$f_1(x) = -f_2(x)$$

حيث أن كل من f_1 و f_2 دالة بسيطة، نرسمهما على نفس المخطط فتقاطعان
عند نقطة هي بالاصل جذر للمعادلة $0 = f(x)$
مثال 1:

نأخذ المعادلة.

$$(4) \quad f(x) = x^3 + x + k$$

(لاحظ أن كل من x و x^3 لها نفس الاشارة).

كونها متعددة حدود من الدرجة الثالثة، يمكن أن يكون لها ثلاثة جذور. تجد
المشتقة.

$$f'(x) = 3x^2 + 1 \neq 0$$

بما ان الدالة متصلة وقابلة للاشتغال عند كل نقطة x اذن لا توجد نقطتين b, a بحيث ان $f(b) = f(a)$ (بحسب نظرية رول). وذلك يعني انه لا توجد نقطتين a و b بحيث $f(a) = f(b) = 0$

فهل يوجد جذر واحد؟

نضع الدالة بالشكل

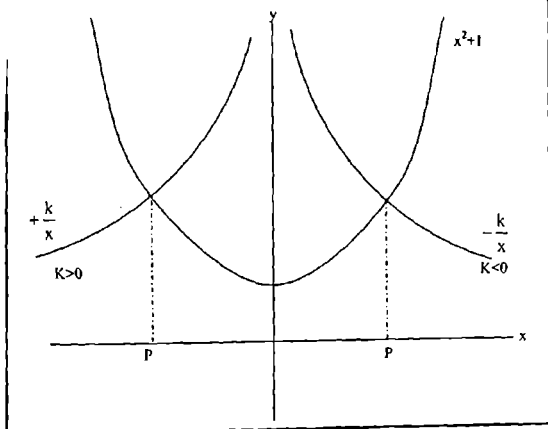
$$x^3 + x = -k \quad (5)$$

نجد انه اذا كانت x سالبة فان K موجبة والعكس اذا كانت x موجبة فان K سالبة.

نكتب (5) بالشكل.

$$x^2 + 1 = \frac{-k}{x} \quad (6)$$

ونرسم كلا الطرفين في (6) كدالتين منفصلتين لكن على نفس الخطوط ولقيمتين له K واحدة موجبة والاخرى سالبة (شكل (3.5)). واضح ان موقع قيمة الجذر تعتمد على k .

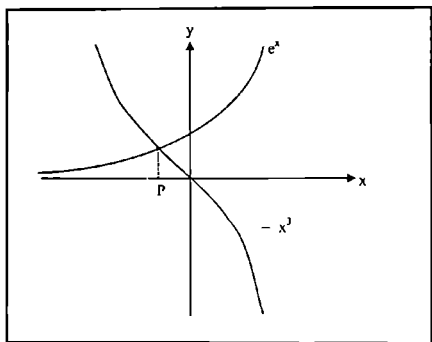


شكل (3.5)

قد لا تكون الدالة في المثال السابق من التعميد بحيث لا يمكن استرداد موقع الجذر، لكن دالة مثل:

$$f(x) = e^x + x^3 = 0$$

ليس من السهل تحديد موقع الجذر. لكن بجزئتها هبّت تكون $e^x = -x^3$ تسهل الامر كثيراً. اذا ان رسم كلا الدالتين e^x و $-x^3$ امراً سهلاً وشائعاً (شكل (3.6)).



(3.6)

في كل الطرق السالفة الذكر كنا فقط قادرين على تحديد موقع الجذر، أما قيمة العددية فلم يكن بالأمكان الا تحديد العدد الصحيح وقد تزيد مرتبة عشرية واحدة لا اكثراً. هذا يدفعنا إلى التعرف على الطرق الخبطة في ايجاد الجذور وستعرض للبعض منها.

3.1 طريقة التقسيف : Bisection Method

بعد ان تمكنا من تحديد موقع الجذر، إذن يمكن ان نعين نقطتين x_1 و x_2 يكون الجذر بينهما بحيث $x_2 > x_1$ و

$$f(x_1) \cdot f(x_2) < 0 \quad (7)$$

وبما ان اي منهما ليس جذراً فان افضل اختيار جديداً كتخمين للجذر هو نقطة المنتصف.

$$P = \frac{x_1 + x_2}{2} \quad (8)$$

فإذا لم تكن P هي الجذر فإنه يكون إما في الفترة (x_1, P) أو في (P, x_2) ويمكن أن نحدد ذلك بإجراء الاختبار الآتي:

$$(9) \text{ اذا كان } f(P), f(x_1) < 0$$

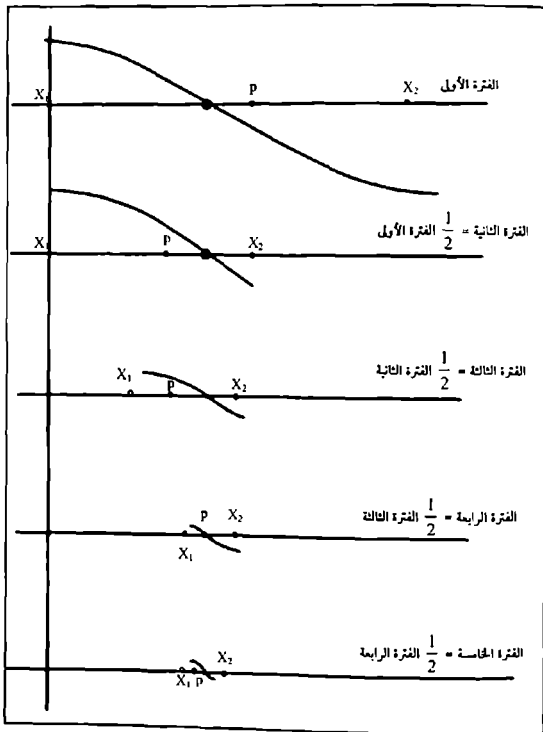
فإن الجذر يقع بين x_1 و P ، والا فإنه يقع بين x_2 و P نبني الفترة الماوية على الجذر ونهمل الآخر ونقوم بعملية التصيف مرة أخرى كما في (8) و (9)... حتى توقف عندما يكون

$$\left| \frac{x_1 - x_2}{2} \right| < \epsilon \quad (10)$$

أو

$$f(p) < \epsilon \quad (11)$$

حيث ϵ هي مقدار الخطأ المسرح به. (شكل (3.7)).



مثال (2):

لتكن لدينا المعادلة.

$$f(x) = 3x^3 - x + 1$$

لأجل البدء بإيجاد الجذر لابد لنا من تحديد الفترة التي نبحث فيها، ذلك بعمل جدول بيّط للدالة ونلاحظ تغير الإشارة عند الانتقال من نقطة إلى أخرى. بوضوح نلاحظ أن جذراً يقع بين -1 و 0 ($x_1 = -1$ و $x_2 = 0$). فما إذا أردنا أن نحصل على جذر بخطأ لا يتجاوز $0.0005 = \varepsilon$ ، نلاحظ من الجدول (3) أننا حصلنا على ذلك في أحد عشر تكراراً. لاحظ كيف أن النقطة P تغير موقعها بحسب تغيير موقع (p) .

جدول (2)

x	f(x)
-2	-21
-1	-1
0	+1
1	+3

(3) جدول

n	x ₁	x ₂	P	f(x ₁)	f(x ₂)	f(P)	error = $\left \frac{x_1 - x_2}{2} \right $
1	-1	0	-0.5	-1	+1	1.125	0.5
2	-1	-0.5	-0.25	-1	1.125	0.484375	0.25
3	-1	-0.75	-0.875	-1	0.484375	-0.134766	0.125
4	-0.875	-0.75	-0.8125	-0.134766	0.484375	0.203369	0.0625
5	-0.875	-0.8125	-0.84375	-0.134766	0.203369	0.041718	0.03125
6	-0.875	-0.84375	-0.859375	-0.134766	0.041718	-0.044636	0.015625
7	-0.859375	-0.84375	-0.851563	-0.044636	0.041718	-0.000991	0.007813
8	-0.851563	-0.84375	-0.847657	-0.000991	0.041718	+0.020479	0.003906
9	-0.851563	-0.847657	-0.84961	-0.000991	0.020479	0.009770	0.001953
10	-0.851563	-0.84961	-0.850587	-0.000991	0.009770	0.004396	0.000977
11	-0.851563	-0.850587	-0.851075	-0.000991	0.004396	0.001701	0.000488
12	-0.851563	-0.851075	-0.851319	-0.000991	0.001701	0.000354	0.000244

نظريه (3.1)

لتكن $f \in C[a, b]$ ولنفرض ان $f(a) < f(b)$ اذ طريقة التصيف تولد متتابعه
 $\{P_n\}$ تقارب الى P وتحقق الخاصيه.

$$|P_n - P| \leq \frac{b-a}{2^n}, \quad n \geq 1 \quad (12)$$

البرهان:

نعتبر ان $a_1 = b$ و $a_0 = a$

وان

$$p_n = \frac{a_n + b_n}{2}, \quad n \geq 1$$

لكل n نجد ان

$$b_n - a_n = \frac{1}{2^{n-1}}(b-a)$$

وان $p \in (a_n, b_n)$

لمن (12) يتجزء ان:

$$|p_n - p| \leq \frac{1}{2} (b_n - a_n) = \frac{1}{2^n} (b-a)$$

في المثال (2) نلاحظ أن الجذر الصحيح لستة مراتب عشرية هو $P=0.851383$
وهو يبعد عن الجذر في التكرار (11) من الجدول بالقدر.

$$|p - p_{11}| = |-0.851383 + 0.851075| = 0.000308$$

في حين ان النظريه (3.1) تعطي التقدير الآتي:

$$|p - p_{11}| \leq \left| \frac{1}{2^{11}} (-1 - 0) \right| = 0.000488$$

وهو ما يحقق النظريه.

ان الصعبه (12) تستخدم لتقدير عدد التكرارات الكافية لاجتياز الجذر p بخطا
سموح به ϵ .

فمن المعلوم ان الخطأ $|p_n - p|$ يجب ان لا يزيد على المقدار المسموح به ϵ ،
يعني انه يجب ان يكون .

$$2^n(b-a) < \epsilon$$

$$2^n < \frac{\epsilon}{b-a} \quad \text{او}$$

$$n > \frac{\ln(b-a) - \ln(\epsilon)}{\ln(2)} \quad \text{يعني ان:}$$

فلو اردنا تخمين عدد التكرارات الازمة للحصول على جذر بخطأ لا يزيد على 0.005 من المثال السابق فان:

$$n > \frac{\ln(0+1) - \ln(0.005)}{\ln 2} = 7.6$$

اي ان عدد التكرارات لابد ان يكون اكبر من او يساوي 8 .

خوارزمية طريقة التصيف:

لابعاد حلًّا للمعادلة $0 = f(x)$ ويدقق معينة لا يتجاوز الخطأ فيها مقدار صغير ϵ ، حيث x_1, x_2 معطاة بحيث $(x_1) \neq (x_2)$ مختلفتين بالاشارة.

$$\frac{1}{2}|x_1 - x_2| \geq \epsilon \quad \text{طالما ان:}$$

$$x_3 = (x_1 + x_2)/2 \quad \text{ضع}$$

اذا كان $f(x_3)$ له اشارة على عكس اشارة $f(x_1)$.

$$x_2 = x_3 \quad \text{ضع}$$

$$x_1 = x_3 \quad \text{والا ضع}$$

انتهى.

تعتبر x هي الجذر المطلوب.

تمارين

1. استخدم طريقة الجدول لتعيين فترة بطول 0.2 يقع فيها جذر موجب للمعادلة
$$x^2 - 2 = 0$$
2. عين موقع الجذر للمعادلة اعلاه باستخدام تجزئة المعادلة.
3. كم تكراراً (تصبيتاً) تحتاج لكي تصل إلى الجذر المشار إليه اعلاه، وبدقة
$$\epsilon = 0.0001$$
4. استخدم طريقة التصييف مبتدأاً بالفترة المعنية في 1 - لاييجاد الجذر بالدقة المعنية في -3 .

5. اجر نفس الخطوات كما في التمارين 1-4 على المعادلة. $f(x)$

$$f(x) = e^x - \cos(\pi x) - 1.0 = 0$$

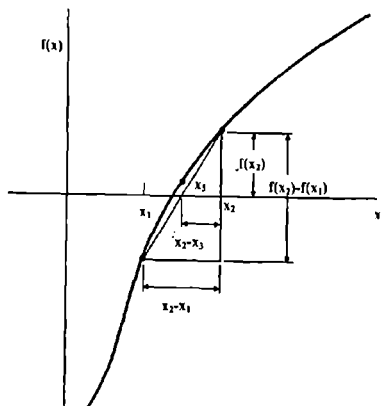
باحثأ عن اول جذر موجب داخل فترة طولها 1.0 وبدقة $\epsilon = 5 \times 10^{-4}$

3.2 طريقة الموضع الكاذب False Position Method

رغم بساطة طريقة التصيف الا انها بطينة في الوصول إلى الجذر، فهي ته على تصيف الخطأ في التكرار السابق.

$$c_n = \frac{1}{2} c_{n-1} \quad n \geq 1$$

لكن لو قربنا الدالة قرب الجذر بخط مستقيم، فاننا نحصل على جذر تقريبي هو تقاطع المستقيم مع المحور x وهذا ما يسمى بالموقع الكاذب للجذر (شكل (3.8)).



شكل (3.8)

لاحظ أن الجذر يقع بين x_1, x_2 ، لذا نقوم بنفس العمل السابق وكان الفترة الجديدة هي $[x_1, x_2]$.

لإيجاد x_3 ، من تشابه المثلثات في الشكل (3.8) نكتب التاب.

$$\frac{x_2 - x_3}{x_2 - x_1} = \frac{f(x_2)}{f(x_2) - f(x_1)}$$

اذن

$$x_3 = x_2 - \frac{f(x_2)}{f(x_2) - f(x_1)}(x_2 - x_1) \quad (13)$$

وينفس الأسلوب كما في طريقة التنصيف لختار الفترة التي تحتوي الجذر.
ولأجل المقارنة بين طريقة التنصيف وطريقة الموضع الكاذب من حيث سرعة التقارب نستخدم المعادلة، [7].

$$f(x) = x^3 + x^2 - 3x - 3 = 0$$

ونلاحظ الجدولين (4) و (5) فنكتشف الفرق في عدد التكرارات.

جدول (4)

$$\text{طريقة الموضع الكاذب حل المعادلة } 0 = x^3 + x^2 - 3x - 3$$

	x_1	x_2	x_3	$f(x_1)$	$f(x_2)$	$f(x_3)$
1	1.0	2.0	1.57142	-4.0	3.0	-1.36449
2	1.57142	2.0	1.70540	-1.36449	3.0	-0.24784
3	1.72788	2.0	1.72788	-0.24784	3.0	-0.03936
4	1.72788	2.0	1.73140	-0.03936	3.0	-0.00615
5	1.73140	2.0	1.73194			

جدول (5)

طريقة التصيف حل المعادلة $0 = x^3 + x^2 - 3x - 3$

	x_1	x_2	x_3	$f(x_1)$	$f(x_2)$	$f(x_3)$	ϵ
1	1	2	1.5	-4.0	3.0	-1.875	0.5
2	1.5	2	1.75	-1.875	3.0	0.17187	0.25
3	1.5	1.75	1.625	-1.875	0.17187...	-0.94335...	0.125
4	1.625	1.75	1.6875	-0.94335...	0.17187	0.40942	0.0625
5	1.6875	1.75	1.71875	-0.40942...	0.17187...	-0.12478	0.03125
6	1.71875	1.75	1.73437...	-0.12478...	0.17187...	-0.02198	0.015625
7	1.71875	1.73437...	1.72656...				0.0078125
	.	.	.				
∞			1.73205...			-0.00000...	

رغم انا نلاحظ في جدول (4) ان النقطة x_2 لم تغير قيمتها يعني ان x_1 فقط هي التي تقترب من الجذر وهذه تعتبر من مساويه صيغة الموضع الكاذب. ذلك يعتمد على مقدار التغير قرب الجذر، كلما زاد التغير كلما استفحلت هذه الظاهرة.

خوارزمية طريقة الموضع الكاذب

لابياغ جذر للمعادلة $0 = f(x)$ ، حيث x_1, x_2, x_3 معطاة وان $f(x_1)$ و $f(x_2)$ هما اشارات مختلفة وان ϵ هو الخطأ المسموح به للاختبار $|x_2 - x_1| < \epsilon$ هو الخطأ

المسموح به للاختبار $|f(x_2)| < \epsilon$

ما دامت $|x_2 - x_1| > \epsilon$

او $|f(x_2)| > \epsilon$

ضع

$$x_3 = x_2 - f(x_2) \frac{x_2 - x_1}{f(x_2) - f(x_1)}$$

اذا كانت $f(x_3) \neq f(x_1)$ لها إشارة مختلفة عن إشارة $f(x_1)$

ضع $x_3 = x_2$

والا ضع $x_1 = x_3$

انتهى.

3.3 طريقة نيوتن رافسن Newton – Raphson's Method :

تعتمد هذه الطريقة على تقرير الدالة قرب الجذر يماسها فباختيار نقطة x_1 قريبة من الجذر نرسم عماً للدالة عند x_1 ليقطع المور x في x_2 ويصنع زاوية θ مع المور x (شكل (3.9))

في المثلث القائم في x_1 يكون:

$$\tan \theta = \frac{f(x_1)}{x_1 - x_2} = f'(x_1)$$

ومنها فان:

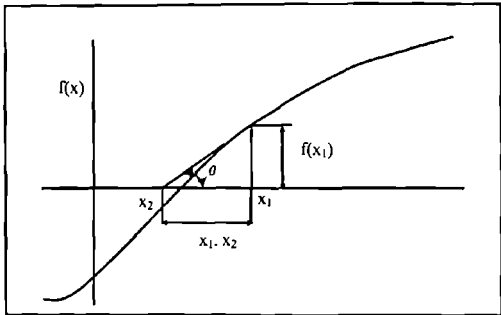
$$x_2 = x_1 - \frac{f(x_1)}{f'(x_1)} \quad (14)$$

فمثلًا لا يجاد حل المعادلة $x^2 - 7 = 0$

نختار نقطة بين 2 و 3 ولكن $x_1 = 2.5$ كنقطة تخمين أولية للجذر. بتطبيق (14) نحصل على:

$$\begin{aligned} x_2 &= 2.5 - \frac{x_1^2 - 7}{2x_1} \\ &= 2.5 - \frac{6.25 - 7}{2(2.5)} = 2.65 \end{aligned}$$

نكرر العملية باستاد قيمة x_2 إلى x_1 نحصل على الجدول (6)



شكل (3.9)

جدول (6)

n	x_n	$f(x_n)$
1	2.5	-0.75
2	2.65	0.0225
3	2.645755	1.952×10^{-5}
4	2.645751	1.646×10^{-6}

واضح اننا توقفنا عندما اصبح الفرق بين x_3, x_4 صغير جداً.

$$|x_3 - x_4| < 0.000004$$

اي ان x_4 هي جذرًا صحيحًا لخمس مراتب عشرية للمعادلة المطلوبة وذلك ما يعززه العمود الثالث في الجدول.

استنتاج صيغة نيوتون رافسن بواسطة سلسلة تيلر

لأجل ان ندرس صيغة نيوتون تحليلياً فاتنا سندراج الاستنتاج التحليلي للصنيعة باستخدام نشر تيلر للدالة فنفرض ان x_1 هي التخمين الاولى للجذر P فان:

اذا كانت $f(x_1) f(x_2)$ لها إشارة مختلفة عن إشارة $f(x_1)$

$$x_2 = x_3$$

$$x_1 = x_3$$

انتهٍ.

3.3 طريقة نيوتن رافسن Newton – Raphson's Method

تعتمد هذه الطريقة على تقرير الدالة قرب الجذر مما سهلها في اختيار نقطة
قريبة من الجذر نرسم ماسًّا للدالة عند x_1 ليقطع المحوor x في x_2 ويصنع زاوية θ مع
المحوور x (شكل (3.9))

في المثلث القائم في x_1 يكون:

$$\tan \theta = \frac{f(x_1)}{x_1 - x_2} = f'(x_1)$$

ومنها فان:

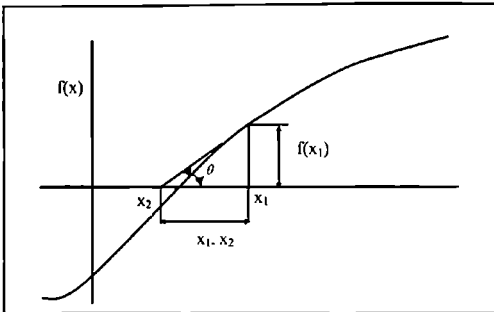
$$x_2 = x_1 - \frac{f(x_1)}{f'(x_1)} \quad (14)$$

فمثلاً لايجاد حل المعادلة $x^2 - 7 = 0$

نختار نقطة بين 2 و 3 ولتكن $x_1 = 2.5$ كنقطة تخمين أولية للجذر. بتطبيق (14)
نحصل على:

$$\begin{aligned} x_2 &= 2.5 - \frac{x_1^2 - 7}{2x_1} \\ &= 2.5 - \frac{6.25 - 7}{2(2.5)} = 2.65 \end{aligned}$$

نكرر العملية باستاد قيمة x_2 إلى x_1 لحصل على الجدول (6)



شكل (3.9)

جدول (6)

n	x_n	$f(x_n)$
1	2.5	-0.75
2	2.65	0.0225
3	2.645755	1.952×10^{-3}
4	2.645751	1.646×10^{-6}

واضح اننا توقفنا عندما اصبح الفرق بين x_4, x_3 صغير جداً.

$$|x_3 - x_4| < 0.000004$$

اي ان x_4 هي جذراً صحيحاً لخمس مراتب عشرية للمعادلة المطلوبة وذلك ما يعززه العمود الثالث في الجدول.

استنتاج صيغة نيوتن رافسن بواسطة سلسلة تيلر،

لاجل ان ندرس صيغة نيوتن تحليلياً فانا سندرج الاستنتاج التحليلي للصيغة باستخدام نظرية تيلر للدالة ففرض ان x_1 هي التخمين الاولى للجذر P فان:

$$h = p - x_1$$

نشر الدالة ($f(p)$) حول النقطة x_1 بواسطة سلسلة تيلر.

$$f(p) = f(x_1) + \frac{p - x_1}{1!} f'(x_1) + \frac{(p - x_1)^2}{2!} f''(0) \quad (15)$$

حيث 0 تقع بين x_1 و p .

وعندما يكون التخمين الأولي x_1 قریب من p فان الحد الأخير في (15) بهمل لتعطی.

$$f(p) = f(x_1) + h f'(x_1) + \text{error} \quad (16)$$

أي باهتمال حد الخطأ يكون

$$h = -\frac{f(x_1)}{f'(x_1)}$$

وهي ثالث المقدار المطلوب اخافته إلى x_1 لكن نصل إلى نقطة جديدة x_2 والتي هي تقریب أحسن للجذر من x_1 أي ان:

$$x_2 = x_1 + h$$

$$= x_1 - \frac{f(x_1)}{f'(x_1)}$$

وهذه هي المعادلة (14)

لاحظ ان حد الخطأ هو من الرتبة الثانية (h^2), وهذا ما يجعل الصيغة مفضلة على كثير من الصيغ.

أهمية رتبة الخطأ،

عند نشرنا للدالة ($f(p)$) بواسطة سلسلة تيلر استخدمنا الفرق بين نقطة الانتشار والنقطة المطلوبة ورمزنا لهذا الفرق بالرمز h ان هذا الفرق هو الذي يعطيها فكرة عن مدى قربنا من الجذر المطلوب. وكلما كانت h كبيرة يعني زيادة في الخطأ علماً أن h لا بد ان تكون اقل من الواحد دائماً. ولذلك فان القررة المرفوعة لها h تعتبر مؤشراً مهمـاً على كفاءة الطريقة المستخدمة فزيادة هذه القررة يكون مقدار الخطأ اصغر والعكس صحيح.

مثال 3: [8]

جد جذراً قريباً من نقطة الاصل للمعادلة.

$$f(x) = 3x + \sin(x) - e^x$$

الحل:

باختيار $x_1 = 0$

حيث

$$f'(x) = 3 + \cos x - e^x$$

نحصل على النتائج التالية:

$$x_2 = 0.33333$$

$$x_3 = 0.36017$$

$$x_4 = 0.3604217$$

وهو صحيح لسبع مراتب عشرية بعد ثلاثة تكرارات فقط.

3.4 طريقة القاطع Secant Method

ان سرعة التقارب في صيغة نيوتن رافسن يقابلها الحاجة لابعاد قيمة ليس الدالة فقط بل ومشتقتها عند كل نقطة جديدة وهذا يعني مضاعفة العمل في كل تكرار. كما انه يمكن ان تكون قيمة المشتق عند نقطة ما صفرأ مما يؤدي إلى توقف العملية كاملاً. لهذه الأسباب فإنه في بعض الأحيان يتضطر إلى التعويض عن المشتق بتربيتها بالنسبة الآتية:

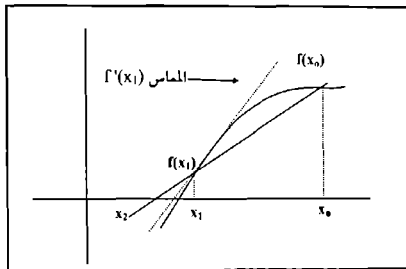
$$f(x_n) \approx \frac{f(x_n) - f(x_{n-1})}{x_n - x_{n-1}} \quad (17)$$

فتصبح

$$x_2 = x_1 - f(x_1) \cdot \frac{x_1 - x_0}{f(x_1) - f(x_0)} \quad (18)$$

وهي نفس المعادلة (13).

ان المعادلة (17) تحول الماس إلى قاطع (شكل (3.10))



شكل (3.10)

كما واضح من الرسم فان التخمين الاولين x_0 و x_1 يقعان على جهة واحدة من الجذر وهذا وجه الاختلاف مع طريقة الموضع الكاذب. ولذلك فعند ايجاد التكرارات المتالية فانا لا نأخذ بالاعتبار تغير اشارة الدالة كما يحدث في طريقة التصيف والموضع الكاذب، بل تبادل النقاط مواقعها بالتابع.

يمكن استنتاج صيغة القاطع من ثابه المثلثين $x_2 = x_1 - \frac{f(x_0)x_0 - f(x_1)x_1}{f(x_0) - f(x_1)}$ محصل على:

$$\frac{f_0}{f_1} = \frac{x_0 - x_1}{x_1 - x_2}$$

ومنها فان:

$$\begin{aligned} x_2 &= \frac{f_1 x_0 - f_0 x_1}{f_1 - f_0} \\ &= \frac{x_1 f_1 - x_1 f_0 - x_1 f_1 + x_0 f_1}{f_1 - f_0} \\ &= x_1 - f_1 \frac{(x_1 - x_0)}{(f_1 - f_0)} \end{aligned}$$

ولمعرفة تأثير هذا التغير على سرعة الحل نعيد حل المعادلة.

$$f(x) = x^2 - 7$$

$$x_1 = 2.5, x_0 = 1$$

قارن الجدول (6) مع جدول (7)

جدول (7)

	x_0	x_1	x_2	f_0	f_1	f_2
1	1	2.5		-6	-0.75	
			2.714286			0.367347
2	2.5	2.714286		-0.75	0.367347	-0.010133
			2.643836			
3	2.714286	2.643836		0.367347	-0.010133	
			2.645727			-0.000128

3.5 طريقة النقطة الثابتة :Fixed point Method

في كل الطرق التي استعرضناها كانت نستخدم صيغة عامة للعملية التكرارية

وهي:

$$x_{n+1} = g(x_n) \quad (19)$$

وتحتاج صورة $g(x_n)$ باختلاف الطريقة. من هذا فإن المسألة العامة:

$$f(x) = 0 \quad (20)$$

يمكن ان توضع بالشكل التكراري (19) ذلك بواسطة تجزئة الدالة $f(x)$ حيث:

$$f(x) = g(x) + h(x) = 0$$

$$-h(x) = g(x) \quad \text{أو}$$

$$-h(x) = x \quad \text{وبوضع}$$

واختيار x كخمين اولي للجذر وتحت تأثير الدالة g لمحصل على x حيث:

$$x_1 = g(x_0) \quad (21)$$

وهكذا تكون الصيغة التكرارية (19) لتقريب إلى الحل الحقيقي الذي يتحقق

المعادلة (20)

مثال (4):

للدالة $f(x) = x^2 - 2x - 3 = 0$ جذران هما $x=3$ ، $x=-1$. فترتيب الدالة f

بالصورة:

$$x = \sqrt{2x + 3} \quad (22)$$

ويبدأ من $x_0 = 4$ نحصل على التكرارات الآتية (جدول (8)).

جدول (8)

n	x _n
0	4
1	3.316
2	3.104
3	3.034
4	3.011
5	3.004

تبيننا للجذر 3 بخمس تكرارات وبقيم تنازلية نحو الجذر

كما هو واضح فإن (22) هي ليست الصورة الوحيدة وإنما يمكن وضع (x) بصورة مختلفة أخرىات مماثلة.

$$x = 3/(x-2) \quad (23)$$

وابتداءً عند $x_0 = 4$ نحصل على التكرارات التالية:

جدول (9)

n	x _n
0	4
1	1.5
2	-6
3	-0.375
4	-1.263
5	-0.919
6	-1.028
7	-0.991
8	-1.003

هنا تقربيا للجذر 1.0 - ويشان تكرارات (لاحظ تذبذب قيم x_n حول 1-) اما لو استخدمنا الصيغة المكافئة الاعلى.

$$x = \frac{x^2 - 3}{2} \quad (24)$$

ولنفس نقطة البداية $x_0 = 4$ نحصل على ما يلي:

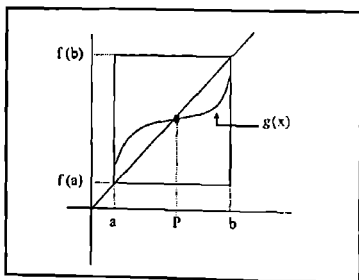
جدول (10)

n	x_n
0	4
1	6.5
2	19.635
3	191.0

انها تبعاً !! ما هو سر هذا الاختلاف في سلوك الدالة g في كل مرة؟ انه صيغة الدالة g . كيف؟ سترى الان.

تعريف 1:

لتكن g دالة متصلة في الفترة $[a, b]$ وان لكل $x \in [a, b]$ فان $g(x) \in [a, b]$ لتكن $p \in [a, b]$ يقال ان P نقطة ثابتة اذا كان $p = g(p)$



شكل (3.11)

نظريه (3.2)

لتكن $[a, b]$ وان $g \in C[a, b]$ لكل $x \in [a, b]$ ، ان g لها نقطة ثابتة في $[a, b]$. واذا كانت (x') موجودة على (a, b) بحيث:

$$|g'(x)| \leq k < 1 \quad \forall x \in (a, b) \quad (25)$$

فان النقطة الثابتة وحيدة في $[a, b]$

البرهان:

اذا كانت $a = g(a)$ او $b = g(b)$ فواضح انها نقطة ثابتة والا فان $g(a) > a$ و $b < g(b)$. لنعرف دالة $h(x) = g(x) - x$ حيث $h(x)$ هي دالة متصلة على $[a, b]$ نلاحظ ان:

$$h(b) = g(b) - b < 0 \quad , \quad h(a) = g(a) - a > 0$$

ومن نظرية القيمة اليئنة (Intermediate value Theorem) فانه توجد نقطة $p \in (a, b)$ بحيث $h(p) = 0$. اذا كانت (x') موجودة وان (25) متحققة، نفرض ان هناك نقطتين ثابتتين هما P و q وأن $P \neq q$ وكلاهما في $[a, b]$. ان كون g تحقق شروط نظرية مترسط القيمة (M.V.T.) يعني هناك نقطة ξ بين P و q بحيث ان:

$$|P - q| = |g(P) - g(q)| = |g'(\xi)| |P - q| \leq k |P - q| < |P - q|$$

وهذا تناقض وسيء افتراض ان $P \neq q$ ، اذن النقطة P وحيدة.

النظرية السابقة تقودنا إلى ما يلي:

نظريه (3.3)

لتكن $[a, b]$ وان $g \in C[a, b]$ لكل $x \in [a, b]$ ولتكن $'g'$ موجودة على (a, b) بحيث ان $1 \leq k \leq g'(x)$ لكل $x \in (a, b)$ ، اذا كانت P_0 هي اي نقطة في $[a, b]$ فان المطالع.

$$P_n = g(P_{n-1}) \quad , \quad n \geq 1 \quad (26)$$

تتقارب إلى النقطة الثابتة P .

البرهان:

حسب تعريف الدالة φ فان كل النقاط $\{p_n\}_{n=0}^{\infty}$ هي في الفترة $[a, b]$ ومن نظرية متوسط القيمة فانه توجد نقطة ξ في (a, b) بحيث:

$$|p_n - p| = |g(p_{n-1}) - g(p)| \leq |g'(\xi)| |p_{n-1} - p| \leq k |p_{n-1} - p|$$

وهذا ينطبق على النقاطين p_{n-1} و p اي ان:

$$|p_{n-1} - p| = |g(p_{n-2}) - g(p)| \leq |g'(\xi_1)| |p_{n-2} - p| \leq k |p_{n-2} - p|$$

وهكذا بالتطبيق على النقاط التالية نحصل على:

$$|p_n - p| \leq k |p_{n-1} - p| \leq k^2 |p_{n-2} - p| \leq \dots \leq k^n |p_0 - p|$$

وحيث ان $1 < k$ فان:

$$\lim_{n \rightarrow \infty} |p_n - p| \leq \lim_{n \rightarrow \infty} k^n |p_0 - p| = 0 \quad (27)$$

اي ان P هي نهاية المتالية P_n عندما $n \rightarrow \infty$

يتضح ان مشتقة الدالة φ تلعب الدور الاساس في التقارب. وبالعودة إلى المثال

(4) نلاحظ ان الدالة $g_1(x) = \sqrt{2x + 3}$ لها المشتقة.

$$|g'_1| = \left| \frac{1}{\sqrt{2x+3}} \right| < 1$$

والدالة $g_2(x) = \frac{3}{x-2}$ مشتقتها هي

$$|g'_2| = \left| \frac{-3}{(x-2)^2} \right| < 1$$

اما الدالة $g_3(x) = \frac{x^2 - 3}{2}$ فان مشتقتها

$$|g'_3| = |x| > 1$$

لاحظ الاشارة السالبة لمشتقة الدالة g_3 , ذلك ما يفسر تذبذب التكرارات حول

الجذر.

يمكن استخدام ناتج نظرية (3.3) لتحديد عدد التكرارات اللازم لتقرير الجذر بدقة معينة ϵ .

نتيجة:

إذا كانت الدالة g تحقق منطق نظرية (3.3) فان:

$$|p_n - p| \leq \frac{k^n}{1-k} |p_0 - p_1| , \quad n \geq 1 \quad (28)$$

البرهان:

باستخدام نفس الاسلوب كما في برهان نظرية (3.3) نجد ان:

$$|p_{n+1} - p_n| \leq k |p_n - p_{n-1}| \leq k^n |p_1 - p_0|$$

نفرض ان $1 > n \geq m$ يكون.

$$\begin{aligned} |p_m - p_n| &= |p_m - p_{m-1} + p_{m-1} - \dots + p_{n+1} - p_n| \\ &\leq |p_m - p_{m-1}| + |p_{m-1} - p_{m-2}| + \dots + |p_{n+1} - p_n| \\ &\leq k^{m-1} |p_1 - p_0| + k^{m-2} |p_1 - p_0| + \dots + k^n |p_1 - p_0| \\ &= k^n |p_1 - p_0| (k^{m-n-1} + k^{m-n-2} + \dots + k^0) \end{aligned}$$

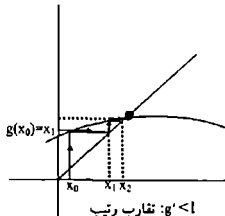
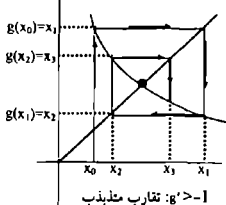
وحيث ان $p = \lim_{m \rightarrow \infty} p_m$ بحسب (27) فان

$$\begin{aligned} |p - p_n| &= \lim_{m \rightarrow \infty} |p_m - p_n| \leq k^n |p_1 - p_0| \sum_{i=0}^n k^i \\ &= \frac{k^n}{1-k} |p_1 - p_0| \end{aligned}$$

فإذا تمكنا من تحديد قيمة k فاننا نستطيع تحمين عدد التكرارات الازمة للحل بنقطا مسموح به قيمته ϵ من خلال الصيغة:

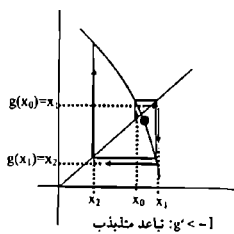
$$n > \epsilon_n \left(\frac{(1-k)\epsilon}{|x_1 - x_0|} \right) / \epsilon_n(k) \quad (29)$$

في الأشكال التالية عرض حالات الباعد والقارب.

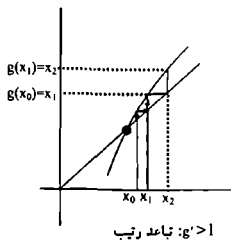


(ب)

(ل)



(د)



(ج)

شكل (3.12)

ـ رتبة التقارب : Order of Convergence

في الفقرة (3.3) بينا أهمية رتبة التقارب، ولكن كيف نحدد الرتبة؟ هذا ما ناقشه الآن.

من نظر الدالة $(x)g$ بواسطة سلسلة تيلر حول الجذر P ، ففرض أن g متصلة بلة للاشتقاق، نحصل على:

$$x_{n+1} = g(x_n) = g(p) + (x_n - p)g'(p) + \frac{(x_n - p)^2}{2!}g''(p) + \dots \quad (30)$$

$$|x_{n+1} - p| \approx |x_n - p| |g'(p)| \quad (31)$$

أي ان

$$c_{n+1} \approx c_n g'(p) \quad (32)$$

وهذا يعني أن الخطأ في التكرار $n+1$ يعتمد خطياً على الخطأ في التكرار n مز له.

$$c_{n+1} \propto c_n^k \quad (33)$$

وطبعاً نحن نبحث عن تناسب مناسب من رتبة أعلى، أي:

$$c_{n+1} \propto c_n^k \quad k > 1 \quad (34)$$

فإذا رغبنا في جمل 2 $k=2$ فذلك يتطلب منا ان ننظر السلسلة (30) بعد الحد ث (المشتقة الثانية للدالة g) فنكون:

$$x_{n+1} = g(p) + (x_n - p)g'(p) + \frac{(x_n - p)^2}{2!}g''(\theta) \quad (35)$$

حيث θ تقع بين x_n و P

ومنها نحصل على

$$c_{n+1} \approx c_n g'(P) + \frac{c_n^2}{2} g''(\theta)$$

فإذا رغبنا ان تكون $k=2$ في (34) فلا بد أن تكون $g''(P)=0$ نتائج

$$e_{n+1} = e^n \frac{g''(0)}{2}$$

حيث 0 تقع بين x_n و P
شرط ان تكون $0 \neq g''$
وبما ان

$$\lim_{n \rightarrow \infty} x_n = P$$

فان

$$\lim_{n \rightarrow \infty} 0 = P$$

اذن فان شرط التقارب التريعي للصيغة التكرارية هو ان $0 = g'(p) \neq g''$ وان
 $0 \neq g'$ ، وهذا ما تتمتع به صيغة نيوتن رافسن، حيث:

$$x_{n+1} = x_n - \frac{f_n}{f'_n} = g(x_n)$$

اذن

$$g'(x_n) = 1 - \frac{(f'_n)^2 - f_n f''_n}{(f'_n)^2}$$

ومنها فان:

$$g'(p) = 0$$

وان

$$g'' \neq 0$$

اما بالنسبة لصيغ القاطع والموضع الكاذب فقد وجد ان رتبة التقارب فيها

$$1 < k < 2$$

مثال (5):

نفرض ان هناك صيغة تقارب فيها يحدث تقارب خطى حيث:

$$\lim_{n \rightarrow \infty} \frac{|c_{n+1}|}{|c_n|} = 0.4$$

ونقارب تربيعي حيث:

$$\lim_{n \rightarrow \infty} \frac{|e_{n+1}|}{|e_n|^2} = 0.4$$

بفرض أن $e_0 = 0.9$

بعد ثلاثة تكرارات ينتج من التقارب الخططي.

$$e_3 = 0.0576$$

ومن التقارب التربيعي.

$$e_3 = 0.0007$$

مثال (6):

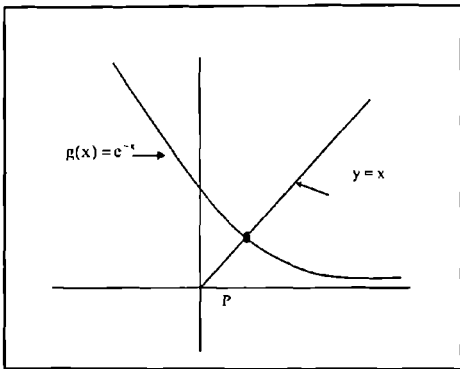
هذا المثال يبين ان شرط التقارب $|g'| < 1$ هو شرطاً كافياً وليس ضرورياً حيث ان الدالة.

$$g(x) = e^{-x} \quad (36)$$

تتقارب لایة نقطة ابتدائية x_0 حتى ولو كانت المشتقة $(g'(x_0))$ لا تتحقق المتباينة $|g'(x)| \leq 1$ فمثلاً عندما تبدأ بالنقطة $-1 = x_0$ فانا لمحصل على الجدول الآتي:

جدول (11)

n	x_n
0	-1
1	2.71828
2	0.06599
3	0.93614
4	0.39214
5	0.67561
6	0.50885
7	0.60119
8	0.54816
9	0.57801
10	0.56101



شكل (3.13)

تمارين

1. استخدم طريقة التصيف لأيجاد اصغر جذر موجب للمعادلات الآتية، في كل مرة حدد الفترة المناسبة، ثم احسب الجذر بخطابي 0.5% .

أ. $2e^{-x} - \sin(x) = 0$

ب. $\tan x - x - 1 = 0$

ج. $3x^3 + 4x^2 - 8x - 1 = 0$

د. $x^3 - x^2 - 2x - 1 = 0$

2. جد نقطة تقاطع المحنين $x = 3x$ و $y = ex$ بطريقة التصيف، صحيحة لاربع مراتب عشرية.

3. بفرض ان الفترة التي محصر الجذر هي $[a,b]$ والتي فيها $f(a) \cdot f(b) < 0$ وان c هو العدد المحسوب بطريقة المرضع الكاذب، ووضح ان طول فترة الحصر الجديدة هي:

$$\frac{f(a)}{f(b) - f(a)}(a - b) \quad \text{عندما } f(a) \cdot f(c) < 0$$

$$\frac{f(b)}{f(b) - f(a)}(b - a) \quad \text{وعندما } f(b) \cdot f(c) < 0$$

4. اوجد جذر المعادلة $f(x) = xe^x - 1$ مستخدمًا طريقة الموضع الكاذب. مبتدئاً بفترة الحصر $-[2, 0]$ ، $b = [3, 0]$ ومتوقفاً عندما يكون $|f(c)| < 0.5 \times 10^{-1}$. اوجد عدد التصيفات الالازمة لايجاد الجذر بنفس الدقة بطريقة التصيف لكلا الفترتين دون اجراء التصيفات. بين سبب التقارب البطيء.

5. استخدم طريقة نيوتن رافسن لابعاد جذور كل من

أ. $x - \cos x = 0$

ب. $x^2 + \ln x = 0$

ج. $x^3 + 4x^2 + 4x + 3 = 0$

مبتدئاً بالنقطة $x_0 = 1.0$ ومتوقفاً عندما يكون

$$|x_n - x_{n-1}| < 10^{-6}$$

6. استخدم طريقة القاطع في حل المعادلات في السؤال (5) مبتدئاً بال نقطتين $x_2 = 1, x_1 = 2$.

7. بين ان طريقة نيوتن رافسن حل المعادلة

$$x^k c^k = 0$$

تؤدي إلى الصيغة.

$$x_{n+1} = \frac{(k-1)x_n + x_n^2}{k + x_n}$$

بدئاً بالنقطة $x_0 = 1$ احسب x_5 عندما تكون $k=1$ مرة وآخرى عندما تكون $k=5$

2. أي الحالتين اسرع؟ ولماذا؟

8. استخدم صيغة نيوتن رافسن على المعادلة $N = x^2$ لاستنتاج الخوارزمية للجذر التربيعي لاي عدد صحيح N .

$$x_{k+1} = \frac{1}{2} \left(x_k + \frac{N}{x_k} \right)$$

حيث تمثل x_0 تخمين اولي للجذر N .

9. بين انه اذا طبقت الصيغة في السؤال السابق مرتين يحصل على

$$\sqrt{N} \approx \frac{A+B}{4} + \frac{N}{A+B}$$

حيث $AB = N$.

10. للمعادلة

$$f(x) = e^x - 3x^2$$

ثلاثة جذور، والصيغة المكافئة المباشرة هي:

$$x = \mp \sqrt{e^x / 3}$$

يبين انه عند البدء بـ $x_0 = 0$ فانها تقترب من الجذر القريب من -0.5 - عن استخدام القيمة السالبة وتقترب من الجذر الذي قرب 1.0 عند استخدام القيمة الموجبة. ثم يبين ان هذه الصيغة لا تقترب من الجذر الثالث الذي قرب 4.0 حتى في حالة البدء ب نقطة قريبة جداً من الجذر.
او جد صيغة تقترب للجذر القريب من 4.0.

11. بفرض ان الصيغتين:

$$1) x_{n+1} = \frac{x_n^2 + 2}{3}$$

$$2) x_{n+1} = 3 - \frac{2}{x_n}$$

تنقاريان، وضح انهما يعينان جذوراً مختلفة للمعادلة نفسها.

12. الخوددية التكعيبية $0 = 5 - 2x - 2x^3 + 4x^7$ لها جذر قرب $x=1$. او جد على الاقل ثلاثة صيغ مكافئة تنقارب لهذا الجذر متبدلاً بالنقطة $x=0$.

حل منظومة المعادلات الخطية

Solution of Linear Systems

مقدمة

4.1 مفاهيم عامة

4.2 المنظومات الخطية

4.3 طريقة حكاوس للحذف والتعويض التراجمي

4.4 طريقة حكاوس جوردن

4.5 الارتكاز الجزلي (المحورة الجزئية)

4.6 محمد ومعكوس مصفوفة

4.7 حساب الكلفة

4.8 طريقة التحليل المثلثي

4.9 وحدانية التحليل المثلثي

4.10 العلاقة بين طريقة حكاوس للحذف والتحليل المثلثي

4.11 محمد ومعكوس مصفوفة

4.12 الطرق التكرارية لحل المنظومات الخطية

4.13 شروط التقارب

4.14 طريقة الاسترخاء

4.15 التحسين التكراري

تمارين

الفصل الرابع

حل منظومة المعادلات الخطية

Solution of Linear Systems

مقدمة Introduction

تشاً منظومة المعادلات الخطية في كثير من المجالات العلمية تطبيقية كانت أو نظرية، وتحتاج حل المعادلات التفاضلية الجزئية بالطرق العددية. حيث تولد أنظمة كبيرة الحجم لا يمكن التعامل معها يدوياً بل لا بد من جهاز الحاسوب. ونظرأً للعدد الهائل من العمليات الحسابية الالزمة لإجراء أي عملية جبرية فإن الناتج غالباً ما يكون عملاً بالخطأ.

في هذا الفصل نتعرض بعض الطرق المباشرة وبعض الطرق التكرارية.

4.1 مفاهيم عامة General Concepts

نعرف المتجه (Vector) على أنه مجموعة إعداد مرتبة أفقياً (Row) أو عمودياً (Column). والمصفوفة (Matrix) هي مجموعة إعداد مرتبة بشكل مستطيل، وكل عدد يسمى عنصر أو مدخل ويرمز له بدللين مثل a_{ij} حيث i تمثل رقم الصف و j تمثل رقم العمود.

$$\begin{bmatrix}
 a_{11} & a_{12} & \cdots & a_{1n} \\
 a_{21} & a_{22} & \cdots & a_{2n} \\
 \vdots & & & \\
 a_{m1} & a_{m2} & \cdots & a_{mn}
 \end{bmatrix}, \begin{bmatrix} x_1, x_2, \dots, x_n \end{bmatrix}, \begin{bmatrix} x_1 \\ x_2 \\ \vdots \\ x_n \end{bmatrix}$$

مصفوفة معممة
 متباصرة
 متباصرة

شكل (4.1)

نسمى المصفوفة التي كل عناصرها أصنافاً عدما القطر بمصفوفة قطرية أي $= 0$ لـ $\forall i$ لكل $i = 1, 2, \dots, n$ أما في حالة كون $= 0$ لكل $i = 1, 2, \dots, n$ تنتج مصفوفة مثلثية علوية وفي حالة $= 0$ لكل $i = 1, 2, \dots, n$ تنتج مصفوفة مثلثية سلبية.

يقال للمصفوفة A أنها ذات هيئة قطرية إذا كان

$$\sum_{j=1}^n |a_{ij}| > |a_{ii}| \quad \text{لكل } i$$

يقال عن مصفوفة A أنها مفردة (شاذة) (Singular) إذا كان $|A| = 0$ حيث أن $|A|$ هو محدد A (Determinante)، ذلك يعني أنه لا توجد مصفوفة A^{-1} بحيث أن $A \cdot A^{-1} = I$ حيث I هي معكوس A (Inverse of A) وأن I هي مصفوفة الوحدة (المصفوفة الذاتية) (Identity Matrix).

جمع مصفوفتين يجوز عندما تكونان بنفس الحجم، ضرب مصفوفتين يجوز عندما يكون عند الأعمدة في المصفوفة اليسرى يساوي عدد الصفوف في المصفوفة اليمنى مثلاً $A \cdot B = C$. إن عملية الجمع على المصفوفات تبديلية بينما عملية الضرب ليست. لكن كل من A, B, C مصفوفة فإن:

$$|AB| = |A||B|$$

$$|A^{-1}| = \frac{1}{|A|}$$

$$(AB)^{-1} = B^{-1} A^{-1}$$

A/B غير معرف

ستركز اهتمامنا على المصفوفة المربعة، بصورة عامة يكون للمعادلة.

$$Ax = b$$

(1)

حلأً وجيأً إذا كانت A غير شاذة، حيث x متوجه مجهول و b متوجه معروف.

يقال للمصفوفة A أنها متناظرة (Symmetric) إذا كان لكل i, j , $a_{ij} = a_{ji}$.

يقال للقيمة العددية λ والمتوجه المرافق لها x أنها قيمة ذاتية ومتوجه ذاتي مرافق للمصفوفة A حيث:

$$Ax = \lambda x \quad (2)$$

أي أن:

$$(A - \lambda I)x = 0 \quad \text{أو}$$

وبالتالي فإن:

$$|A - \lambda I| = 0 \quad (3)$$

من هذه المعادلة نستخرج القيم الذاتية للمatrice A.

في حل المنظومات الخطية تحتاج في كثير من الأحيان إلى ما يسمى بالتحوييلات الأولية وهي عبارة عن عمليات حاسمة تجري على المصفوفات لتغييرها إلى صورة بحيث يسهل علينا التعامل معها. ومن هذه التحويلات الابتدائية:

ا. ضرب أحد الصفوف في عدد معين، مثل:

$$A = \begin{bmatrix} 4 & 1 \\ 3 & 5 \end{bmatrix}, \quad c = 3$$

بضرب 3 في الصف الأول يتجزء:

$$B = \begin{bmatrix} 12 & 3 \\ 3 & 5 \end{bmatrix}$$

لاحظ أن:

$$|A| = \begin{vmatrix} 4 & 1 \\ 3 & 5 \end{vmatrix} = 17$$

$$|B| = \begin{vmatrix} 12 & 3 \\ 3 & 5 \end{vmatrix} = 51 = 3(17)$$

ب. ضرب أحد الصفوف في عدد ثم إضافته إلى صف آخر دون تغيير في الصف الأول، مثل، من المثال في الحالة ا - يكون:

$$D = \begin{bmatrix} 4 & 1 \\ 15 & 8 \end{bmatrix}$$

حيث تم اضافة الصف الأول من B إلى الصف الثاني دون تغيير الصف الأول من المصفوفة الأصل A .

لاحظ أن:

$$\begin{vmatrix} 4 & 1 \\ 15 & 8 \end{vmatrix} = |D| = 17 = |A|$$

ج. تبديل صفين في مصفوفة، مثل:

$$A = \begin{bmatrix} 4 & 1 \\ 3 & 5 \end{bmatrix}, \quad F = \begin{bmatrix} 3 & 5 \\ 4 & 1 \end{bmatrix}$$

لاحظ أن:

$$|A| = 17 = -|F| = 17$$

4.2 المنظومات الخطية

نرتب المعادلات الخطية بحيث يكون تسلسل المتغيرات هو نفسه في كل المعادلات، وتكتب الواحدة تحت الأخرى وبالشكل التالي:

$$\begin{aligned} a_{11} x_1 + a_{12} x_2 + \cdots + a_{1n} x_n &= b_1 \\ a_{21} x_1 + a_{22} x_2 + \cdots + a_{2n} x_n &= b_2 \\ &\vdots \\ a_{m1} x_1 + a_{m2} x_2 + \cdots + a_{mn} x_n &= b_m \end{aligned} \tag{4}$$

حيث تحتوي m من المعادلات و n من المتغيرات (x_1, \dots, x_n). وتكتب هذه المنظومة بشكل مصفوفات ومتغيرات كما يلي:

$$\begin{bmatrix} a_{11} & a_{12} & \cdots & a_{1n} \\ a_{21} & a_{22} & \cdots & a_{2n} \\ \vdots & & & \\ a_{m1} & a_{m2} & \cdots & a_{mn} \end{bmatrix} \begin{bmatrix} x_1 \\ \vdots \\ x_n \end{bmatrix} = \begin{bmatrix} b_1 \\ \vdots \\ b_m \end{bmatrix} \tag{5}$$

وللهولة نرمز لها بالرمز

$$Ax = b \tag{6}$$

حيث A هي مصفوفة المعاملات و x هو متغير المتغيرات و b هو متوجه الجهة اليمنى وهو ثابت.

فإذا كان عدد المعادلات أكبر من عدد المتغيرات فلا يوجد حل للمنظومة إلا إذا كانت المعادلات الإضافية مكافئة لمعادلات أخرى عندها يمكن الاستغناء عنها وإيجاد الحل:

مثلاً:

$$2x_1 + x_2 = 1$$

$$3x_1 + 2x_2 = 1$$

$$5x_1 - 3x_2 = 2$$

وإذا كان عدد المعادلات أقل من عدد المتغيرات فيكون للمنظومة عدد كبير من الحلول مثل:

$$2x_1 + x_2 - x_3 = -5$$

$$3x_1 - x_2 + 2x_3 = 7$$

اما إذا كان عدد المعادلات يساوي عدد المتغيرات حيث تكون مصفوفة المعاملات مربعة فإن للمنظومة حل وحيد إذا كانت A غير شاذة.
على العموم فإن هناك أسلوبين لحل المنظومات الخطية اولاً الأسلوب المباشر وثانياً الأسلوب التكراري. وسنبذل بطرق الأسلوب المباشر حيث تشمل:

1. طريقة كاوس للحدف.

2. طريق التحليل المثلثي.

اما الأسلوب التكراري او (غير المباشر) فيشتمل على:

أ. طريقة جاكوببي.

ب. طريقة سيدال.

ج. طريقة فوق الاسترخاء (SOR).

وسنبذل بالطرق المباشرة:

4.3 طريقة صاوس للحدف والتعويض التراجمي

Gaussian Elimination and Backword Substitution

فكرة هذه الطريقة تلخص في تحويل مصفوفة المعاملات A من مصفوفة مربعة إلى مصفوفة مثلثية علوية حيث أن ذلك يسهل إيجاد الحل بدءاً من آخر معادلة صعوداً إلى أول معادلة كما في الصورة الآتية:

$$\left[\begin{array}{cccc|c} a_{11} & a_{12} & \cdots & a_{1n} & x_1 \\ a_{21} & a_{22} & \cdots & a_{2n} & x_2 \\ \vdots & & & \vdots & \vdots \\ a_{n1} & a_{n2} & \cdots & a_{nn} & x_n \end{array} \right] = \left[\begin{array}{c} b_1 \\ b_2 \\ \vdots \\ b_n \end{array} \right] \quad (7)$$

(a)

تحول إلى:

$$\left[\begin{array}{cccc|c} a'_{11} & a'_{12} & \cdots & a'_{1n} & x_1 \\ 0 & a'_{22} & \cdots & a'_{2n} & x_2 \\ \vdots & & & \vdots & \vdots \\ 0 & 0 & \cdots & 0 & x_n \end{array} \right] = \left[\begin{array}{c} b'_1 \\ b'_2 \\ \vdots \\ b'_n \end{array} \right] \quad (8)$$

(b)

وكم نلاحظ فإن التغيير الذي يطرأ على المصفوفة A لتحويل عناصرها من a إلى a' يتضمن أيضاً متوجه الجهة اليمنى b .

إن عملية التحويل من مصفوفة مربعة إلى مصفوفة مثلثية تجري بعمل التحويلات الأولية ونستعرض ذلك بالمثال الآتي:

مثال (1):

حل المطرومة الآتية:

$$E_1: x_1 - 2x_2 + x_3 = 1$$

$$E_3: 2x_1 - x_2 + x_3 = 2$$

$$E_3: 4x_1 + x_2 - x_3 = 1$$

خوري العمليات الآتية:

ضرب المعادلة الأولى في (2-) وجمعها مع المعادلة الثانية:

$$E_2 - 2E_1 \rightarrow E_2$$

ضرب المعادلة الأولى في (4-) وجمعها مع المعادلة الثالثة:

$$E_3 - 4E_1 \rightarrow E_3$$

يتبَعُ:

$$E_1: x_1 - 2x_2 + x_3 = 1$$

$$E_2: 0 + 3x_2 - x_3 = 0$$

$$E_3: 0 + 9x_2 - 5x_3 = -3$$

وبضرب المعادلة الثانية في (3-) وجمعها مع المعادلة الثالثة يتبَعُ:

$$E_3 - 3E_2 \rightarrow E_3$$

$$E_1: x_1 - 2x_2 + x_3 = 1$$

$$E_2: 0 + 3x_2 - x_3 = 0$$

$$E_3: 0 + 0 - 2x_3 = -3$$

وبصورة المصفوفة يعني:

$$\begin{bmatrix} 1 & -2 & 1 \\ 2 & -1 & 1 \\ 4 & 1 & -1 \end{bmatrix} \begin{bmatrix} x_1 \\ x_2 \\ x_3 \end{bmatrix} = \begin{bmatrix} 1 \\ 2 \\ 1 \end{bmatrix} \rightarrow \begin{bmatrix} 1 & -2 & 1 \\ 0 & 3 & -1 \\ 0 & 0 & -2 \end{bmatrix} \begin{bmatrix} x_1 \\ x_2 \\ x_3 \end{bmatrix} = \begin{bmatrix} 1 \\ 0 \\ 3 \end{bmatrix}$$

الآن نجري عملية التعريف التراجعي، فنبدأ من الأسفل، يكُون من المعادلة الأخيرة:

$$-2x_3 = -3 \rightarrow x_3 = \frac{3}{2}$$

ومن المعادلة قبل الأخيرة:

$$3x_2 - x_3 = 0$$

$$x_2 = \frac{1}{2}$$

ومن المعادلة الأولى

$$x_1 - 2x_2 + x_3 = 1$$

$$x_1 = \frac{1}{2}$$

في عملية الحذف نلاحظ أننا في الخطوة الأولى قمنا بتصفير عناصر العمود الأول وما تحت القطر وتم ذلك بضرب الصف الأول بعامل الضرب $m_{31} = \frac{-a_{21}}{a_{11}}$. ثم جمعنا الناتج إلى الصف الثاني فتصفير العنصر a_{21} . كذلك ضربنا الصف الأول بعامل الضرب $m_{31} = \frac{-a_{31}}{a_{11}}$ وأضفنا الناتج إلى الصف الثالث لأجل تصفير العنصر a_{31} .

في الخطوة الثانية قمنا بضرب الصف الثاني بعامل الضرب $m_{32} = \frac{-a_{32}}{a_{22}}$ وأضفنا الناتج إلى الصف الثالث فتصفير العنصر a_{32} ⁽¹⁾ حيث أن الدليل العلوي للعناصر a_{ij} يشير إلى أن هذه العناصر قد تغيرت من الخطوة الأولى. كما ويجب أن نلاحظ أن عناصر المتجه الأيمن b عدا العنصر الأول قد تغيرت أيضاً بفعل هذه العمليات. ولذلك فنالبأ ما نعامل المصفوفة A والمتجه b معاً بعد دمجهما بما يسمى المصفوفة الممتدة (Augmented matrix) فهي عبارة عن مصفوفة بمجم $n \times n+1$.

$$\left[\begin{array}{cccc|c} a_{11} & a_{12} & \cdots & a_{1n} & b_1 \\ a_{21} & a_{22} & \cdots & a_{2n} & b_2 \\ \vdots & & & & \vdots \\ a_{n1} & a_{n2} & \cdots & a_{nn} & b_n \end{array} \right]$$

وعادة نكتب العناصر b_i على أنها $a_{i,n+1}$.

يمكن تلخيص الطريقة بالخوارزمية الآتية:

خوارزمية كاوس للحذف والتعويض التراجمي،

الإدخال:

1. عدد الصفوف = n .

٢- العناصر a_{ij} ، $i=1, \dots, n$ ، $j=1, \dots, m$

أولاً عملية حذف

١- حذف عمود i ، $i=1, \dots, n$ ، $j=1, \dots, m$

٢- حذف سطر j ، $j=1, \dots, m$ ، $i=1, \dots, n$

$$B_1 = B - E_i$$

$$B_2 = B - E_j$$

ثانياً عملية حذف

بيان لعمليات الترجي

$$E_{ij} = E_{ji}$$

٣- حذف

$$A = A_{\text{باز}} - \sum_{j=1}^m E_{ij} B_j$$

ثالثاً عملية التمثيل لـ ترجي

لإخرج العناصر a_{ij} ، $i=1, \dots, n$ ، $j=1, \dots, m$

٤- طريقة كلوفن جوردن Gauss – Jordan Method

من الممكن بذل هذه الطريقة ما هي إلا امتداد لطريقة كروس المحذف حيث
ذلك تقوم بمحض عناصر تحت القطر ونحوه القطر بنفس الوقت تذهب مصفوفة
عمولات قصيرة ويكون نصفوفة المتمدة بالشكل:

$$\begin{matrix}
1 & 0 & 0 & 1 & 2 \\
0 & 1 & 0 & 3 & 4 \\
0 & 0 & 1 & 5 & 6 \\
0 & 0 & 0 & 7 & 8 \\
0 & 0 & 0 & 0 & 9
\end{matrix}$$

وتحب بذل حملة يكون

$$x_i = \frac{a_{i+1}}{a_{ii}}$$

و غالباً ما يصار إلى تقسيم كل صف، قبل تصفير العمود المأذن له، تقسيمه على العنصر القطري له a_{ii} وبذلك يتبع مصفوفة معاملات ذاتية وذلك يؤدي إلى أن يصبح المتجه الأيمن هو متوجه الحل.

$$\left[\begin{array}{ccccc} 1 & 0 & 0 & \vdots & x_1 \\ 0 & 1 & 0 & \vdots & x_2 \\ \vdots & & & & \vdots \\ \vdots & & & & \\ 0 & & 0 & \vdots & x_n \end{array} \right]$$

مثال 2: [8]

نفرض لدينا المصفوفة المزادة (الممدة).

$$[A:b] = \left[\begin{array}{ccccc} 0 & 2 & 0 & 1 & : & 0 \\ 2 & 2 & 3 & 2 & : & -2 \\ 4 & -3 & 0 & 1 & : & -7 \\ 6 & 1 & -6 & -5 & : & 6 \end{array} \right]$$

نلاحظ هنا العنصر a_{11} قيمته صفر. ولا يمكن تقسيم العناصر التي تحته عليه لأجل تصفيرها لذا سنقوم بما يسمى الارتكاز الجزئي (المحورة الجزئية). (وهذا ما سنقوم بالطرق إلى لاحقاً) أي أن نبادل الصف الأول مع أحد الصفوف وسنختار الرابع. وبعد القسمة على العنصر القطري الجديد وتصفير العمود الأول يتبع:

$$\left[\begin{array}{ccccc} 1 & 0.16667 & -1 & -0.83335 & : & 1 \\ 0 & 1.6667 & 5 & 3.6667 & : & -4 \\ 0 & -3.6667 & 4 & 4.3334 & : & -11 \\ 0 & 2 & 0 & 1 & : & 0 \end{array} \right]$$

في هذه المرة ويرغم ان العنصر $a_{22}^{(2)}$ ليس صفرأ إلا أنه يفضل أن يكون العنصر الأكبر بالقيمة المطلقة في ذلك العمود، في هذا الموقع وبعد تقسيم ذلك الصنف على العنصر القطري $a_{22}^{(2)}$ وتصفيير عناصر ذلك العمود لحصل على ما يلي

$$\left[\begin{array}{ccccc} 1 & 0 & -1.5000 & -1.2000 & : & 1.4000 \\ 0 & 1 & 2.999 & 2.2000 & : & -2.4000 \\ 0 & 0 & 15.000 & 12.400 & : & -19.800 \\ 0 & 0 & -5.998 & -3.4000 & : & 4.8000 \end{array} \right]$$

وهكذا حتى نصل إلى النتيجة:

$$[I:x] = \left[\begin{array}{cccc} 1 & 0 & 0 & 0 & : & -0.49999 \\ 0 & 1 & 0 & 0 & : & 1.0001 \\ 0 & 0 & 1 & 0 & : & 0.33326 \\ 0 & 0 & 0 & 1 & : & -1.9999 \end{array} \right]$$

إذن يكون الحل $(x^T) = (-0.49999, 1.0001, 0.33326, -1.9999)$ وذلك باستخدام التدوير خمسة أرقام معنوية بعد كل عملية حسابية لنقريب الحل الحقيقي وهو $(-2, 1/3, 1/2, -1)$.

4.5 الارتكاز الجزئي (المحورة الجزئية) (Partial Pivoting)

لحد الآن الأمور تسير على ما يرام عدا ما صادفنا في المثال السابق عندما تصادف أن يكون العنصر القطري (العنصر الذي نعتمد عليه في تصفيير العناصر التي تتحله) أو ما يسمى بعنصر الارتكاز عندما يكون صفرأ. عندما قمنا بعملية تبديل بين الصفوف. لكن قد تحتاج إلى تبديل الصفوف دون أن يكون عنصر الارتكاز صفرأ.

مثال 3: [7]

حل المنظومة

$$E_1: 0.003000x_1 + 59.14x_2 = 59.17$$

$$E_2: 5.291x_1 - 6.130x_2 = 46.78$$

باستخدام طريقة كاوس للحذف ولا ربعة ارقام معنوية. حيث ان عنصر الارتكاز هو $m_{21} = 0.003000$ ، فعد عامل الضرب a_{11} حيث:

$$m_{21} = \frac{5.291}{0.003000} = 1763.66$$

وعليه فالنتيج يدور إلى 1764 فلتصرف العنصر a_{11} يكون:

$$E_2 - m_{21}E_1 \rightarrow E_2$$

وباستخدام التدوير نحصل على:

$$0.003000x_1 + 59.14x_2 = 59.17$$

$$-104300x_2 = -104400$$

وباستخدام التعويض التراجمي فإن:

$$x_2 = 1.001$$

$$x_1 = \frac{59.17 - (59.14)(1.001)}{0.003000} = -10.00$$

علمًأً أن الحل الحقيقي هو $x_2 = 1.001$ و $x_1 = -10$.

هذا الخطأ الكبير في الناتج كان بسبب عدم دوبي عدد الأرقام المستخدمة خاصة وإن قيمة m_{21} هي المسبب الأول في الخطأ.

إن هذا الإجراء (الارتراكاز الجزئي) كما قد أجريناه في مثال سابق أيضًا عندما كان يصادف أن يكون عنصر الارتراكاز صفرًا وطبعاً من السهلة اكتشاف ذلك على الحاسب من خلال العبارة:

$$\text{if } a_{11} = 0$$

لكن المشكلة تكمن عندما لا يكون عنصر الارتراكاز صفرًا وإنما عدد صغير نسبياً إلى بقية العناصر المراد تصفيتها، كيف يتم الكشف عنه؟

بما أن ذلك غير ممكن فإننا نختبر عنصر الارتراكاز عند البدء بتصفير كل عمود. فإذا ظهر أن هناك عنصراً أكبر من عنصر الارتراكاز بالقيمة المطلقة تقوم بعملية التبديل.

$$\text{if } |a_{ik}| > |a_{11}| \quad i < k \leq n$$

then $E_k \leftrightarrow E_i$

فمودة إلى مثال (2) وبعد إجراء عملية التبديل يصبح:

$$E_1: 5.291x_1 - 6.130x_2 = 46.78$$

$$E_2: 0.003000x_1 - 59.14x_2 = 59.17$$

وأن عامل الضرب:

$$m_{21} = \frac{a_{21}^{(1)}}{a_{11}^{(1)}} = \frac{0.003000}{5.291} = 0.0005670$$

وحيث أن:

$$(E_2 - m_{21} \cdot E_1) \rightarrow (E_2)$$

يتبع:

$$5.291x_1 - 6.130x_2 = 46.78$$

$$59.14x_2 = 59.14$$

وباستخدام أربعة أرقام معنوية فقط نحصل على الناتج:

$$x_2 = 1.000$$

$$x_1 = 10.00$$

أما عملية تبديل الصفوف فإنها تجري باستخدام ما يسمى بالمؤشر:

$$P(i) = i \quad , \quad i = 1, \dots, n$$

ون Kami يلي خوارزمية كاوس للحذف مع الارتكاز الجزئي:

خوارزمية حكاوس للحذف مع الارتكاز الجزئي:

$$Ax = b$$

حل المنظومة الخطية

$$[A:b] = a_{ij}$$

إدخال: عدد n وعناصر المصفوفة الممتدة

$$j = 1, \dots, n+1 \quad , \quad i = 1, \dots, n$$

الخط:

$$P(i) = i \quad , \quad i = 1, \dots, n$$

$$2. \text{ لكل } i = 1, \dots, n$$

نفرض ℓ هو رقم الصف محبت:

$$|a(p(\ell), i)| = \max |a(p(j), i)|$$

$$i \leq j \leq n$$

3. بادل الصفين i ، ℓ

$$c = p(j)$$

$$p(i) = p(\ell)$$

$$p(\ell) = c$$

4. لكل $j = i + 1, \dots, n$

$$m(p(j), i) = \frac{a(p(j), i)}{a(p(i), i)}$$

$$Ep(j) = Ep(j) - m(p(j), i) Ep(i) \quad .5$$

التعريف التراجمي:

$$x_n = a(p(n), n+1) / a(p(n), n) \quad .1$$

$$i = n-1, \dots, 1 \quad .2$$

$$x_i = \frac{a(p(i), n+1) - \sum_{j=i+1}^n a(p(i), j) x_j}{a(p(i), i)}$$

الإخراج: اطبع x_n, \dots, x_1

4.6 محدد ومعكوس المصفوفة :Determinant & Inverse of a Matrix

كما أن طريقة كاوس للحل تسهل عملية إيجاد الحل للمنظومة الخطية، كذلك فهي طريقة مختصرة لإيجاد محدد أو معكوس مصفوفة.

حيث أن عدد مصفوفة مثلثية هو حاصل ضرب عناصر القطر فإنه بعد تصفير المثلث السفلي للمصفوفة A فإننا نجد المحدد مع الأخذ بالاعتبار عمليات تبديل المصفوفة ذلك أن كل عملية تبديل بين صفين تقلب إشارة المحدد لذا فإن:

$$|A| = (-1)^K |B| \quad (9)$$

حيث أن B هي المصفوفة المثلثية الناتجة من تطبيق طريقة كاوس على A ، وان k هو عدد التبديلات بين المصفوف.

$$\left| \begin{bmatrix} a_{11} & a_{12} & \cdots & a_{1n} \\ a_{21} & a_{22} & \cdots & a_{2n} \\ \vdots & & & \\ a_{n1} & a_{n2} & \cdots & a_{nn} \end{bmatrix} \right| = (-1)^k \left| \begin{bmatrix} a_{11} & a_{12} & \cdots & a_{1n} \\ 0 & a_{22} & & 1 \\ \vdots & & & 1 \\ 0 & \cdots & 0 & a_{nn} \end{bmatrix}^{(n-1)} \right|$$

مثال (4): [7]

لتكن

$$A = \begin{bmatrix} 1 & 1 & 0 & 3 \\ 2 & 1 & -1 & -1 \\ -1 & 2 & 3 & -1 \\ 3 & -1 & -1 & 2 \end{bmatrix}$$

لت分级 العمود الأول تحت القطر نضع $(E_3 + E_1) \rightarrow (E_2 - 2E_1) \rightarrow (E_2)$
 $(E_4 - 3E_1) \rightarrow (E_4) (E_3)$ فيتج:

$$A^{(1)} = \begin{bmatrix} 1 & 1 & 0 & 3 \\ 0 & -1 & -1 & -5 \\ 0 & 3 & 3 & 2 \\ 0 & -4 & -1 & -7 \end{bmatrix}$$

ثم لتصفيي العمود الثاني تحت القطر نضع $(E_4 - 4 \rightarrow (E_4)$ ، $(E_3 + 3E_2) \rightarrow (E_3)$
 (E_2) فيتج:

$$A^{(2)} = \begin{bmatrix} 1 & 1 & 0 & 3 \\ 0 & -1 & -1 & -5 \\ 0 & 0 & 0 & -13 \\ 0 & 0 & 3 & 13 \end{bmatrix}$$

هنا نجد أن عنصر الارتكاز هو صفرًا لذا لحتاج إلى تبديل الصفين الثالث والرابع فيتج:

$$A^{(3)} = \begin{bmatrix} 1 & 1 & 0 & 3 \\ 0 & -1 & -1 & -5 \\ 0 & 0 & 3 & 13 \\ 0 & 0 & 0 & -13 \end{bmatrix}$$

وحيث أن المصفوفة الناتجة مثلية فيكون المحدد:

$$\left| A^{(3)} \right| = (1)(-1)(3)(-13) = 39$$

وحيث أن هناك عملية تبديل واحدة فالمحدد للمصفوفة الأصل هو:

$$-\left| A^{(3)} \right| = |A| = -39$$

نكرة: لماذا لا نستخدم طريقة كاوس جوردن لإيجاد المحدد؟

لإيجاد المعكوس نستخدم المعادلة:

$$AX = I \quad (10)$$

ونجد الحل X والذي يمثل A^{-1} ذلك باستخدام المصفوفة المتمدة:

$$[A : I]$$

بالنسبة لطريقة كاوس للحذف حول المصفوفة A إلى مصفوفة مثلية علوية فيتج:

$$\left[\begin{array}{ccc|c} a_{11} & \dots & a_{1n} & \\ a_{21} & & & I \\ \vdots & & & \\ a_{n1} & \dots & a_{nn} & \end{array} \right] \rightarrow \left[\begin{array}{ccc|c} (n-1) & & & \\ a_{11} & \dots & a_{1n} & \\ 0 & & & I \\ \vdots & & & \\ 0 & \dots & 0 & a_{nn}^{(n-1)} \end{array} \right]$$

وبإجراء التعريف التراجمي لكل عمود من أعمدة \mathbf{A} أي أن نجري التعريف التراجمي على كل من:

$$A^{(n-1)} \mathbf{x}_1 = \tilde{\mathbf{e}}_1 ,$$

$$A^{(n-1)} \mathbf{x}_2 = \tilde{\mathbf{e}}_2 ,$$

$$\vdots$$

$$A^{(n-1)} \mathbf{x}_n = \tilde{\mathbf{e}}_n ,$$

حيث \bar{x} هي العمود A من المصفوفة \bar{A} ; نحصل على اعمدة المصفوفة المطلوبة،
 x_1, x_2, \dots, x_n لتكون $A^{-1} \cdot \bar{A} \cdot \bar{x}$

اما في حالة استخدام طريقة كاوس جوردن فكما حصل في حل المنظومة الخطية
 حيث:

$$[A : b] \Rightarrow [I : x]$$

فإن ما يحصل في إيجاد المعكوس هو:

$$[A : I] \Rightarrow [I : A^{-1}]$$

4.7 حساب الكلفة Complexity Computation

لأجل معرفة كمية الحسابات الالزمة لإجراء مهمة ما، نقوم بحساب عدد العمليات الحسابية الكلى لتلك المهمة. ذلك لأجل المقارنة مع طريق اخرى او خوارزميات اخرى. او لحساب الوقت الذي تستغرقه المهمة من خلال بعض الحقائق العلمية. فمثلاً عملية الضرب تستغرق 2.5 مرة الوقت الذي تستغرقه عملية الجمع على الحاسوب.

بالعودة إلى خوارزمية كاوس للحلف والتعريف التراجمي نجد ما يلى عدد العمليات الحسابية:

$n - i$ قسمة

في الخطوة 4:

في الخطوة 5:

ضرب $(n - i)(n - i + 1)$

طرح $(n - i)(n - i + 1)$,

ذلك لكل $i = 1, \dots, n - 1$

نكون بمجموع عمليات الضرب والقسمة هو:

$$(n - i) + (n - i)(n - i + 1) = (n - i)(n - i + 2)$$

ومجموع عمليات الطرح والجمع هو:

$$(n - i)(n - i + 1)$$

وعليه يمكن وضع عمل العمليات كما يلي:

أ. للضرب والقسمة

$$\begin{aligned}
 & \sum_{i=1}^{n-1} (n-i)(n-i+2) \\
 &= (n^2 + 2n) \sum_{i=1}^{n-1} 1 - 2(n+1) \sum_{i=1}^{n-1} i + \sum_{i=1}^{n-1} i^2 \\
 &= (n^2 + 2n)(n-1) - 2(n+1) \frac{n(n-1)}{2} + \frac{(n-1)(n)(2n-1)}{6} \\
 &= \frac{2n^3 + 3n^2 - 5n}{6}
 \end{aligned}$$

ب. للجمع والطرح:

$$\begin{aligned}
 & \sum_{i=1}^{n-1} (n-i)(n-i+1) \\
 &= (n^2 + 2n) \sum_{i=1}^{n-1} 1 - (2n+1) \sum_{i=1}^{n-1} i + \sum_{i=1}^{n-1} i^2 \\
 &= (n^2 + n)(n-1) + (2n+1) \frac{n(n-1)}{2} + \frac{(n-1)(n)(2n-1)}{6} \\
 &= \frac{n^3 + n}{6}
 \end{aligned}$$

أما في عملية التعبير التراجمي، ففي الخطوة 1 هناك عملية قسمة واحدة وفي الخطوة 2 هناك $(n-i)$ عملية ضرب و $(1-n+i)$ عملية جمع لكل \sum وعملية طرح واحدة وعملية قسمة واحدة.

إذن يكون عدد العمليات في التعبير التراجمي كما يلي:

- الضرب والقسمة:

$$1 + \sum_{i=1}^{n-1} ((n-i)+1)$$

$$= \frac{n^2 + n}{2}$$

- للجمع والطرح:

$$\sum_{i=1}^{n-1} ((n-i)+1)$$

$$= \frac{n^2 - n}{2}$$

وعليه يكون لعمليتي الحذف والتعويض التراجعي:

- ضرب وقسمة:

$$\frac{n^3 + 3n^2 - 5n}{6} + \frac{n^2 + n}{2} = \frac{n^3 + 3n^2 - n}{3}$$

- جمع وطرح:

$$\frac{n^3 - n}{3} + \frac{n^2 - n}{2} = \frac{2n^3 + 3n^2 - 5n}{6}$$

يظهر لنا أن عدد العمليات الحسابية يتاسب مع n^3 لكلا النوعين ضرب وقسمة جمع وطرح وكما موضح في الجدول التالي:

جدول (1)

n	عدد عمليات الضرب والقسمة	عدد عمليات الجمع والطرح
3	17	11
16	430	375
50	441150	42875
100	343300	3381850

أما بالنسبة لطريقة كاوس جوردن، فإن عدد العمليات الحسابية يتلخص بما يلي:

- الضرب والقسمة : $\frac{n^3}{2} + n^2 - \frac{n}{2}$

- للجمع والطرح : $\frac{n^3}{2} - \frac{n}{2}$

والأجل المقارنة مع طريقة كارس للحذف نعرض الجدول الآتي والذي يخص طريقة كارس جوردن.

جدول (2)

n	عدد عمليات الضرب والقسمة	عدد عمليات الجمع والطرح
3	21	12
10	595	495
50	64975	62475
100	509950	499950

4.8 طريقة التحليل المثلثي Triangular Decomposition

في طريقة كارس للحذف حل المنظومة الخطية:

$$Ax = b \quad (11)$$

حولنا المصفوفة A من مربعة إلى مثلثية ثم أجرينا عملية التعويض التراجمعي لإيجاد الحل، ولو فرضنا أن بعد فترة معينة ثم تغير متجه الجهة اليمنى فقط فإننا نحتاج إلى إجراء نفس العمليات التي أجريت سابقاً على المصفوفة A والمتجه b ولأننا لم تحفظ بهذه الإجراءات فإننا سنضطر إلى إعادةتها حتى على المصفوفة A، وقد يتكرر ذلك أكثر من مرة ولأجل خزن هذا الإجراء نعرض طريقة التحليل المثلثي.

في هذه الطريقة تحمل مصفوفة المعاملات A إلى حاصل ضرب مصفوفتين مثلثين سفلية وعلوية فتصبح المعادلة (11) بالصورة:

$$LUx = b \quad (12)$$

حيث L تشير إلى المصفوفة المثلثية السفلية، U إلى المثلثية العليا ولذلك يطلق على هذه الطريقة اسم طريقة LU مع التركيز على أن تكون عناصر القطر لأحدى المصفوفتين هي الوحدة.

بصورة مصفوفات تكون المعادلة (12) بالشكل:

$$\begin{bmatrix} \ell_{11} & 0 & \dots & 0 \\ \ell_{21} & \ell_{22} & 0 & \dots \\ \vdots & & & \\ \ell_{n1} & \ell_{n2} & \dots & \ell_{nn} \end{bmatrix} \begin{bmatrix} 1 & u_{12} & \dots & u_{1n} \\ 0 & 1 & \dots & u_{2n} \\ \vdots & & & \\ 0 & 0 & \dots & 1 \end{bmatrix} \begin{bmatrix} x_1 \\ x_2 \\ \vdots \\ x_n \end{bmatrix} = \begin{bmatrix} b_1 \\ b_2 \\ \vdots \\ b_n \end{bmatrix}$$

(13)

الفكرة هي أن نستفيد من الصورة المثلية للمصفوفات فهي تسهل عملية إيجاد الحل كما رأينا في طريقة كاوس للحذف. وعليه نضع.

$$y = Ux \quad (14)$$

نتصبح المعادلة (12)

$$Ly = b \quad (15)$$

نحل بالنسبة إلى y . وعودة إلى المعادلة (14) حيث:

$$Ux = y$$

ونخلها بالنسبة إلى x كون y معلومة. بهذا تكون قد أجرينا عملية تعويض مباشرة في المعادلة (15) وعملية تعريض تراجعي في المعادلة (14) نعم الحلقة المفقودة هي كيفية الحصول على عناصر L ولـ U . لنضع أمامنا صورة المصفوفات للمعادلة.

$$L \cup A \quad (16)$$

$$\begin{bmatrix} \ell_{11} & 0 & 0 & \dots & 0 \\ \ell_{21} & \ell_{22} & 0 & \dots & 0 \\ \vdots & & & & \\ \ell_{n1} & \dots & \dots & \dots & \ell_{nn} \end{bmatrix} \begin{bmatrix} 1 & u_{12} & u_{13} & \dots & u_{1n} \\ 0 & 1 & u_{23} & \dots & u_{2n} \\ \vdots & 0 & \dots & & \\ 0 & 0 & \dots & 0 & 1 \end{bmatrix} = \begin{bmatrix} a_{11} & a_{12} & \dots & a_{1n} \\ a_{21} & a_{22} & \dots & a_{2n} \\ \vdots & & & \\ a_{n1} & \dots & \dots & a_{nn} \end{bmatrix}$$

الخطوة العامة هي أن نجد عمود من L ثم صف من U بالتبادل وابتداءً من العمود الأول والصف الأول.

فلا يجاد عناصر العمود الأول من L نضرب صفوف L بالعمود الأول من U،
فيتتج،

$$\left. \begin{array}{l} \ell_{11} = a_{11} \\ \ell_{21} = a_{21} \\ \vdots \\ \ell_{n1} = a_{n1} \end{array} \right\} \quad \ell_{ij} = a_{ij} \quad , \quad i=1, \dots, n \quad (18)$$

ثم نجد عناصر الصف الأول من U بضرب الصف الأول من L بأعمدة U
بدءاً من العمود الثاني فيتتج،

$$\left. \begin{array}{l} \ell_{11} u_{12} = a_{12} \rightarrow u_{12} = \frac{a_{12}}{\ell_{11}} \\ \ell_{11} u_{13} = a_{13} \rightarrow u_{13} = \frac{a_{13}}{\ell_{11}} \\ \vdots \\ \ell_{11} u_{1n} = a_{1n} \rightarrow u_{1n} = \frac{a_{1n}}{\ell_{11}} \end{array} \right\} \quad u_{1j} = \frac{a_{1j}}{\ell_{11}} \quad , \quad j=2, \dots, n \quad (19)$$

ولأجل إيجاد عناصر العمود الثاني من L نضرب صفوف L (بدءاً من الصف
الثاني) بالعمود الثاني من U فيتتج،

$$\left. \begin{array}{l} \ell_{21} u_{12} + \ell_{22} = a_{22} \rightarrow \ell_{22} = a_{22} - \ell_{21} u_{12} \\ \ell_{31} u_{12} + \ell_{32} = a_{32} \rightarrow \ell_{32} = a_{32} - \ell_{31} u_{12} \\ \vdots \\ \ell_{n1} u_{12} + \ell_{n2} = a_{n2} \rightarrow \ell_{n2} = a_{n2} - \ell_{n1} u_{12} \end{array} \right\} \quad \ell_{ij} = a_{ij} - \ell_{i1} u_{1j} \quad i=2, \dots, n \quad (20)$$

اما لإيجاد عناصر الصف الثاني من U فلائنا نضرب الصف الثاني من L
بأعمدة U بدءاً من العمود الثالث فيكون،

$$\ell_{21}u_{11} + \ell_{22}u_{21} = a_{21} \rightarrow u_{21} = (a_{21} - \ell_{21}u_{11})/\ell_{22}$$

$$\ell_{21}u_{14} + \ell_{22}u_{24} = a_{24} \rightarrow u_{24} = (a_{24} - \ell_{21}u_{14})/\ell_{22}$$

⋮

$$\ell_{21}u_{1n} + \ell_{22}u_{2n} = a_{2n} \rightarrow u_{2n} = (a_{2n} - \ell_{21}u_{1n})/\ell_{22}$$

بصورة عامة فأن:

$$u_{2j} = (a_{2j} - \ell_{21}u_{1j})/\ell_{22}, \quad j=3, \dots, n \quad (21)$$

وعلى نفس المنوال نتخرج عناصر كلا المصفوفتين L و U و فيما يلي خوارزمية التحليل المثلثي LU لمصفوفة A بحجم $n \times n$.

خوارزمية التحليل المثلثي .LU.

1. لكل $i = 1, \dots, n$

انتهى i

2. $\ell(i,1) = a(i,1)$

3. لكل $j = 1, \dots, n$

انتهى j

$u_{(i,j)} = a_{(i,j)} / \ell_{(i,1)}$

4. لكل $j = 2, \dots, n$

5. لكل $i = j, \dots, n$

6. لكل $k = 1, \dots, j-1$

انتهى k

$S_1 = S_1 + \ell(i,k) * u(k,j) \quad .7$

انتهى i

8. $\ell(i,j) = a(i,j) - S_1$

9. $u(j,j) = 1$

10. لكل $i = j+1, \dots, n$

11. لكل $k = 1, \dots, j-1$

انتهى k

12. $S_2 = S_2 + \ell(j,k) * u(k,j)$

انتهى j ، انتهى i

13. $u(j,i) = (a(j,i) - S_2) / \ell(i,j)$

مثال 5 : [8]

حلل المظومة:

$$\begin{bmatrix} 3 & -1 & 2 \\ 1 & 2 & 3 \\ 2 & -2 & -1 \end{bmatrix} \begin{bmatrix} x_1 \\ x_2 \\ x_3 \end{bmatrix} = \begin{bmatrix} 12 \\ 11 \\ 2 \end{bmatrix} \quad (22)$$

نقوم بتحليل مصفوفة المعاملات A فنجد

$$\ell_{11} = 3, \ell_{21} = 1, \ell_{31} = 2,$$

$$u_{12} = -\frac{1}{3}, u_{13} = \frac{2}{3},$$

$$\ell_{22} = 2 - (1)(-\frac{1}{3}) = \frac{7}{3}, \ell_{32} = -2 - (2)(-\frac{1}{3}) = -\frac{4}{3},$$

$$u_{23} = \frac{3 - (1)(2/3)}{7/3} = 1$$

$$\ell_{33} = -1 - 2(2/3) - (-4/3)(1) = -1$$

[اذن يكون]

$$L = \begin{bmatrix} 3 & 0 & 0 \\ 1 & \frac{7}{3} & 0 \\ 2 & -\frac{4}{3} & -1 \end{bmatrix}, \quad U = \begin{bmatrix} 1 & -\frac{1}{3} & \frac{2}{3} \\ 0 & 1 & 1 \\ 0 & 0 & 1 \end{bmatrix}$$

وبصورة مدججة يكون

$$L, U = \begin{bmatrix} 3 & -\frac{1}{3} & \frac{2}{3} \\ 1 & \frac{7}{3} & 1 \\ 2 & -\frac{4}{3} & -1 \end{bmatrix}$$

اما الحل فاولاً نضع

$$Ly = b$$

$$\begin{bmatrix} 3 & 0 & 0 \\ 1 & \frac{7}{3} & 0 \\ 2 & -\frac{4}{3} & -1 \end{bmatrix} \begin{bmatrix} y_1 \\ y_2 \\ y_3 \end{bmatrix} = \begin{bmatrix} 12 \\ 11 \\ 2 \end{bmatrix}$$

وبالتعويض المباشر نجد أن $y_1 = 4$, $y_2 = 3$, $y_3 = 2$

الآن نحل $y = Ux$ بالنسبة إلى x :

أي

$$\begin{bmatrix} 1 & -\frac{1}{3} & \frac{2}{3} \\ 0 & 1 & 1 \\ 0 & 0 & 1 \end{bmatrix} \begin{bmatrix} x_1 \\ x_2 \\ x_3 \end{bmatrix} = \begin{bmatrix} 4 \\ 3 \\ 2 \end{bmatrix}$$

وبالتعويض التراجمي ينتج $x_1 = 3$, $x_2 = 1$, $x_3 = 2$

الصورة السابقة للتحليل تسمى طريقة دولتل (Doolittle) وهناك صورة أخرى وهي أن تكون عناصر قطر المصفوفة L هي عناصر الوحدة فتكون $U = A - L$ بالشكل.

$$\begin{bmatrix} a_{11} & a_{12} & \cdots & a_{1n} \\ a_{21} & a_{22} & \cdots & a_{2n} \\ \vdots & & & \\ a_{n1} & \cdots & \cdots & a_{nn} \end{bmatrix} = \begin{bmatrix} 1 & 0 & \cdots & 0 \\ \ell_{21} & 1 & \cdots & 0 \\ \vdots & & & \\ \ell_{n1} & \cdots & \ell_{n,n-1} & 1 \end{bmatrix} \begin{bmatrix} u_{11} & u_{12} & \cdots & u_{1n} \\ 0 & u_{22} & \cdots & u_{2n} \\ \vdots & & & \\ 0 & \cdots & 0 & u_{nn} \end{bmatrix}$$

(23)

وتدعى هذه الصورة بطريقة كراوت Crout

ان عملية الارنکاز الجزئي في طريق LU يمكن ان تجري لكنها اكثر تعقيداً مما هي عليه في طريقة كاوس للحذف.

مثال 5:

لتكن

$$A = \begin{bmatrix} 0 & 2 & 1 \\ 1 & 0 & 0 \\ 3 & 0 & 1 \end{bmatrix}$$

الخطوة العامة المعتمدة هي أنه بعد إيجاد أي عمود من L تقوم بتبديل الصفوف للمصفوفتين L و A ذلك اعتماداً على العنصر الموجود في القطر الرئيسي للمصفوفة L. أي أن نضع العنصر الأكبر في العمود الجديد كعنصر قطري في L.

نجل ترتيب الصفوف في المتجه $T = (1, 2, 3)$

وهذا يمثل الترتيب الأصلي. يكون العمود الأول من L هو:

$$\begin{bmatrix} 0 \\ 1 \\ 3 \end{bmatrix}$$

(باعتماد أسلوب دولتل) لذا لحتاج أن نتبادل الصفين الأول مع الثالث فيصبح المتجه T بالشكل $(3, 2, 1) = T$. ولجد الصف الأول من U وهو $\begin{bmatrix} 1 \\ 0 \\ 3 \end{bmatrix}$ ثم نجد العمود الثاني من L وهو:

$$\begin{bmatrix} 0 \\ 0 \\ 2 \end{bmatrix}$$

إذن لحتاج أن نتبادل الصفين الثاني مع الثالث في كل من L و A فيصبح $T = (3, 1, 2)$.

ولجد الصف الثاني من U وهو $\begin{bmatrix} 1 \\ 0 \\ 2 \end{bmatrix}$ وآخرأ نحسب «؟» فيكون $\begin{bmatrix} 1 \\ 0 \\ 3 \end{bmatrix}$ ، إذن تكون الصورة النهائية حيث $T = (3, 1, 2) = T$ هي:

$$\begin{bmatrix} 3 & 0 & 1 \\ 0 & 2 & 1 \\ 1 & 0 & 0 \end{bmatrix} = A = LU = \begin{bmatrix} 3 & 0 & 0 \\ 0 & 2 & 0 \\ 1 & 0 & \frac{1}{3} \end{bmatrix} \begin{bmatrix} 1 & 0 & \frac{1}{3} \\ 0 & 1 & \frac{1}{2} \\ 0 & 0 & 1 \end{bmatrix}$$

فإذا كان $A = \begin{bmatrix} 2 & -1 \\ -1 & 5 \end{bmatrix}$ حيث $b^T = \begin{bmatrix} 5 \\ -2 \end{bmatrix}$ فإننا نرتب عناصر B بحسب الترتيب المعطى في T ليكون $L = \begin{bmatrix} 1 & 0 \\ 0 & 5 \end{bmatrix}$ ومحل المنظومة كما في السابق بتعويض تقدمي ثم بتعويض تراجمي.

$$\begin{aligned} Ly &= b \\ Ux &= y \end{aligned}$$

$$x^T = \begin{bmatrix} 1 & 2 & 1 \end{bmatrix}$$

4.9 وحدانية التحليل المثلثي Uniqueness Of LU Decomposition

يمكن أن يكون هناك أكثر من زوج من المصفوفات المثلثية (علوية سفلية) تكون تحليلًا للمصفوفة A . إلا أنه يوجد زوج واحد (من كل من صيغي دولنل أو كراوت) يكمل في إحدى المصفوفتين ذات قطر واحد (أي عناصر قطرها الوحيدة الواحدة). نفرض أن كل من $L_1 U_1$ ، $L_2 U_2$ تحليل مثلي للمصفوفة A بحيث أن إما كل من $L_1 U_1$ لها قطر واحد أو أن كل من $L_2 U_2$ لها قطر واحد.

$$L_1 U_1 = A = L_2 U_2$$

ومنها فإن

$$L_2^{-1} L_1 U_1 U_1^{-1} = L_2^{-1} L_2 U_2 U_2^{-1}$$

أو

$$L_2^{-1} L_1 = U_2 U_2^{-1} \quad (24)$$

وحيث أن معكوس مصفوفة مثلثية هو مصفوفة مثلثية من نفس النوع وأن حاصل ضرب مصفوفتين مثليتين من نفس النوع هو مصفوفة مثلثية من نفس النوع. فإن جهة اليمين في (24) هي مصفوفة مثلثية سفلية وجهة اليمين هي مصفوفة مثلثية علوية.

وهذا لا يمكن إلا إذا كانت المصفوفتين اليمين واليمين هي مصفوفات قطرية متساوية، D .

الآن نفرض أن المصفوفتان L_1 ، L_2 هما قطران واحدان. واضح أن :

$$L_1 = L_2 = D$$

أن العناصر القطرية للمصفوفة L_2 لا بد أن تكون هي نفسها العناصر القطرية للمصفوفة D وهي بالتأكيد مساوية للعناصر القطرية للمصفوفة L_1 .

$\therefore D$ هي مصفوفة الوحدة

$$U_1 = U_2 \text{ و } L_1 = L_2 \quad \therefore$$

4.1(1) العلاقة بين طريقة كاوس للحذف والتحليل المثلثي LU

إذا دققنا النظر فيما يحدث للمصفوفة A عند تصفيير العناصر تحت القطرية طريقة كاوس للحذف ثم ما يلي، عند تصفيير العمود الأول نستخدم مصفوفة لوحدة ذات عمود أول يحمل عوامل الضرب المستخدمة في التصفيير.

$$\begin{bmatrix} 1 & 0 & \dots & 0 \\ m_{21} & & & \\ m_{31} & & & \\ \vdots & & & \\ m_{n1} & & & \end{bmatrix} \begin{bmatrix} a_{11} & a_{12} & \dots & a_{1n} \\ a_{21} & a_{22} & \dots & a_{2n} \\ \vdots & & & \\ a_{n1} & a_{n2} & \dots & a_{nn} \end{bmatrix} \Rightarrow \begin{bmatrix} a_{11}^{(1)} & a_{12}^{(1)} & \dots & a_{1n}^{(1)} \\ 0 & a_{22}^{(1)} & \dots & a_{2n}^{(1)} \\ \vdots & & & \\ 0 & a_{n2}^{(1)} & \dots & a_{nn}^{(1)} \end{bmatrix} \quad (25)$$

$i=2, \dots, n \quad , \quad m_{ii} = -\frac{a_{ii}}{a_{11}}$

حيث

لرمز لذلك بالرمز

$$L_1 A = A^{(1)} \quad (26)$$

ولتصفيير العمود الثاني من A^1 نضرب A^1 بـ L_2 حيث :

$$L_2 A^{(1)} = A^{(2)} \quad (27)$$

وبصورة مصفوفات:

$$\begin{bmatrix} 1 & 0 & \dots & 0 \\ 0 & 1 & \dots & 0 \\ 0 & m_{32} & \dots & 0 \\ \vdots & \dots & & \\ 0 & m_{n2} & \dots & 1 \end{bmatrix} \begin{bmatrix} a_{11} & & \dots & a_{1n} \\ 0 & a_{22} & & \\ \vdots & & & \\ 0 & a_{n2} & & a_{nn} \end{bmatrix}^{(1)} \Rightarrow \begin{bmatrix} a_{11} & \dots & \dots & a_{1n} \\ 0 & a_{22} & \dots & \\ \vdots & 0 & a_{33} & \vdots \\ \vdots & \vdots & \vdots & \vdots \\ 0 & 0 & a_{n3} & a_{nn} \end{bmatrix}^{(2)}$$

وهكذا حتى تصفيير العمود قبل الأخير فيكون

$$L_{n-1} A^{(n-2)} = A^{(n-1)} \quad (28)$$

وبصورة تفصيلية

$$L_{n-1} L_{n-2} \dots L_1 A = A^{(n-1)} \quad (29)$$

واضح أن $A^{(n-1)}$ هي المصفوفة المثلثية العلوية الناتجة عن تنصير المثلث السفلي للمصفوفة A .

وبوضع

$$L_{n-1} L_{n-2} \dots L_1 = \tilde{L}$$

$$A^{(n-1)} = U$$

و

فإن (29) تصبح

$$\tilde{L} \wedge U = U$$

$$\wedge = (\tilde{L})^{-1} U$$

يعني ان

$$\tilde{L}^{-1} = L$$

فإذا وضعنا

$$A = LU$$

فإن

إن المصفوفة L هي مصفوفة مثلثية سفلية ذلك لأن

$$L = (\tilde{L})^{-1}$$

$$= (L_{n-1} L_{n-2} \dots L_1)^{-1}$$

$$= L_1^{-1} L_2^{-1} \dots L_{n-1}^{-1}$$

و بما أن معكوس مصفوفة مثلثية سفلية هي مثلثية سفلية و حاصل ضرب مصفوفتين مثلثية سفلية، هي مثلثية سفلية فإن L تكون مثلثة سفلية.

4.11 محدد و معکوس المصفوفة

Determinante & Inverse of a Matrix

المعروف أن

$$|A| = |L||U|$$

إذن يكون محدد المصفوفة A هو محدد L أو محدد U حيث أن محدد إحداهما هو الواحد. نذكر بأننا عند إجراء تبديل صغرى خلال التحليل فلا بد من حفظ عدد البديلات لأجل تعين إشارة المحدد.

لإيجاد معکوس A فإننا نستفيد من خاصية التحليل الثنائي في قابلية تغير التوجه ب بدون إجراء التحليل مرات أخرى. حيث أن:

$$AX = I \quad (30)$$

$$A^{-1} \quad \text{ويمثلها بالنسبة إلى } X \text{ لمحصل على}$$

نكب (30) بالصورة:

$$LUX = I \quad (31)$$

نضع

$$UX = Y \quad (32)$$

فيكون

$$LY = I \quad (33)$$

نحل المعادلة (33) عموداً بعد الآخر أي:

$$i = 1, \dots, n \quad , \quad Ly_i = e_i \quad (34)$$

حيث e_i هي أعمدة I و y_i هي أعمدة Y.

ونحل (32) عموداً بعد الآخر كذلك، أي:

$$i = 1, \dots, n \quad , \quad UX_i = y_i \quad (35)$$

حيث x_i هي أعمدة X.

لابیاد معکوس A

$$\Lambda = \begin{bmatrix} 1 & 2 & 1 \\ 2 & 2 & 3 \\ -1 & -3 & 0 \end{bmatrix}$$

محل A

$$\Lambda = LU = \begin{bmatrix} 1 & 0 & 0 \\ 2 & 1 & 0 \\ -1 & \frac{1}{2} & 1 \end{bmatrix} \begin{bmatrix} 1 & 2 & 1 \\ 0 & -2 & 1 \\ 0 & 0 & \frac{1}{2} \end{bmatrix}$$

Ly₁ = e₁

نفع

$$\begin{bmatrix} 1 & 0 & 0 \\ 2 & 1 & 0 \\ 1 & \frac{1}{2} & 1 \end{bmatrix} \begin{bmatrix} y_{11} \\ y_{21} \\ y_{31} \end{bmatrix} = \begin{bmatrix} 1 \\ 0 \\ 0 \end{bmatrix}$$

y₁₁ = 1 , y₂₁ = -2 , y₃₁ = 2

Ly₂ = e₂

ومن

تحصل على:

$$\begin{bmatrix} 1 & 0 & 0 \\ 2 & 1 & 0 \\ -1 & \frac{1}{2} & 1 \end{bmatrix} \begin{bmatrix} y_{12} \\ y_{22} \\ y_{32} \end{bmatrix} = \begin{bmatrix} 0 \\ 1 \\ 0 \end{bmatrix}$$

y₁₂ = 0 , y₂₂ = 1 , y₃₂ = - $\frac{1}{2}$

Ly₃ = e₃

ومن

تحصل على:

$$\begin{bmatrix} 1 & 0 & 0 \\ 2 & 1 & 0 \\ -1 & \frac{1}{2} & 1 \end{bmatrix} \begin{bmatrix} y_{13} \\ y_{23} \\ y_{33} \end{bmatrix} = \begin{bmatrix} 0 \\ 0 \\ 1 \end{bmatrix}$$

y₁₃ = 0 , y₂₃ = 0 , y₃₃ = 1

$$Y = \begin{bmatrix} 1 & 0 & 0 \\ -2 & 1 & 0 \\ 2 & -\frac{1}{2} & 1 \end{bmatrix}$$

نـم تـانـي المـرـحلـة الثـانـيـة:

$$UX = Y$$

وبـوضـع

$$Ux_1 = y_1$$

$$\begin{bmatrix} 1 & 2 & 1 \\ 0 & -2 & 1 \\ 0 & 0 & \frac{1}{2} \end{bmatrix} \begin{bmatrix} x_{11} \\ x_{21} \\ x_{31} \end{bmatrix} = \begin{bmatrix} 1 \\ -2 \\ 2 \end{bmatrix}$$

جـدـان

$$x_{31} = 4, x_{21} = 3, x_{11} = -9$$

وبـوضـع

$$Ux_2 = y_2$$

$$\begin{bmatrix} 1 & 2 & 1 \\ 0 & -2 & 1 \\ 0 & 0 & \frac{1}{2} \end{bmatrix} \begin{bmatrix} x_{12} \\ x_{22} \\ x_{32} \end{bmatrix} = \begin{bmatrix} 0 \\ 1 \\ -\frac{1}{2} \end{bmatrix}$$

$$x_{32} = -1, x_{22} = -1, x_{12} = 3$$

وبـوضـع

$$Ux_3 = y_3$$

$$\begin{bmatrix} 1 & 2 & 1 \\ 0 & -2 & 1 \\ 0 & 0 & \frac{1}{2} \end{bmatrix} \begin{bmatrix} x_{13} \\ x_{23} \\ x_{33} \end{bmatrix} = \begin{bmatrix} 0 \\ 0 \\ 1 \end{bmatrix}$$

جـدـان

$$x_{33} = 2, x_{23} = 1, x_{13} = -4$$

إذن يكون:

$$A^{-1} = X = \begin{bmatrix} -9 & 3 & -4 \\ 3 & -1 & 1 \\ 4 & -1 & 2 \end{bmatrix}$$

4.12 الطرق التكرارية لحل المنظومة الخطية

Iterative Methods for Solving Linear Systems

في هذه المرة نجزئ مصفوفة المعاملات $A^{(0)}$ إلى ثلاثة أجزاء والمدف منها هر تمهيل عملية إيجاد الحل، لذا تكون التجزئة بحيث ينتج شكل مصفوفة سهلة الحل، لكن طبعاً أن يحقق التقارب إلى الحل الحقيقي. تستخدم الطرق التكرارية غالباً في حل المنظومات كبيرة الحجم والتي فيها تكون مصفوفة المعاملات كثيرة الاصفار وذلك يتيح عن الحلول العددية لسائل القيم الخالية والمعادلات التفاضلية الجزئية.

أولاً: طريقة جاكوبى Jacobi Method

هنا نجزئ A إلى مصفوفة قطرية D ومصفوفة مثلية سفلية بدون قطر، L ، ومصفوفة مثلية علية بدون قطر، U .

$$A = D + L + U \quad (36)$$

وبصورة مصفوفات تكون:

$$\begin{bmatrix} a_{11} & a_{12} & \cdots & a_{1n} \\ a_{21} & a_{22} & \cdots & a_{2n} \\ \vdots & \cdots & \vdots \\ a_{n1} & a_{n2} & \cdots & a_{nn} \end{bmatrix} = \begin{bmatrix} 0 & 0 & \cdots & 0 \\ a_{21} & \cdots & \vdots \\ \vdots & & \vdots \\ a_{n1} & 0 & \cdots & a_{n-1,n} \end{bmatrix} + \begin{bmatrix} a_{11} & 0 & \cdots & 0 \\ 0 & a_{22} & \cdots & 0 \\ \vdots & \ddots & \ddots & \vdots \\ 0 & 0 & \cdots & 0 \end{bmatrix} + \begin{bmatrix} 0 & a_{12} & \cdots & a_{1n} \\ 0 & 0 & \cdots & \vdots \\ \vdots & & \ddots & a_{n-1,n} \\ 0 & 0 & \cdots & 0 \end{bmatrix} \quad (37)$$

فلحل المنظومة $Ax = b$ نكتب

(٤) هناك طرق مختلفة لنجزئة A لكننا هنا نقتصر على التجزئة المذكورة.

$$(D + L + U)x = b \quad (38)$$

ونحوها إلى

$$Dx = b - Lx - Ux \quad (39)$$

هنا نعطي قيمة تخمينية للمتجه $x^{(k)}$ في جهة اليمين لنجعل.

على قيمة جديدة في جهة اليسار وعليه نكتب (39) بالصورة التكرارية.

$$k=0,1,\dots \quad x^{(k+1)} = D^{-1}b = D^{-1}(L+U)x^{(k)} \quad (40)$$

وهذا ترجم إلى ما يسمى بطريقة جاكاربي بالصورة:

$$i=1,\dots,n \quad x_i^{(k+1)} = \frac{1}{a_{ii}} \left(b_i - \sum_{j \neq i}^n a_{ij} x_j^{(k)} \right) \quad (41)$$

هذه العملية تتكرر حتى يتحقق الشرط.

$$\left| x_i^{(k+1)} - x_i^{(k)} \right| \leq \epsilon \quad (42)$$

لكل i ، حيث ϵ هي درجة السماح المطلقة.

مثال (7): [2]

حل المنظومة الآتية بطريقة جاكاربي

$$5x_1 + 2x_2 - x_3 = 6 \quad (43)$$

$$x_1 + 6x_2 - 3x_3 = 4$$

$$2x_1 + x_2 + 4x_3 = 7$$

بالترتيب حسب طريقة جاكاربي تعطي

$$\left. \begin{aligned} x_1^{(k+1)} &= \frac{1}{5} (6 - 2x_2^{(k)} + x_3^{(k)}) \\ x_2^{(k+1)} &= \frac{1}{6} (4 - x_1^{(k)} + 3x_3^{(k)}) \\ x_3^{(k+1)} &= \frac{1}{4} (7 - 2x_1^{(k)} - x_2^{(k)}) \end{aligned} \right\} \quad (44)$$

ويبدأ بالتجه التخميني $x^{(0)} = (0,0,0)^T$

فانا نحصل على التكرارات المبينة في جدول (3)

وقد توقفت التكرارات عند تحقق الشرط.

$$\max \left| x_i^{(k+1)} - x_i^{(k)} \right| \leq 0.005$$

جدول (3)

K	$x_1^{(K)}$	$x_2^{(K)}$	$x_3^{(K)}$
0	0	0	0
1	1.200	0.667	1.750
2	1.283	1.342	0.983
3	0.860	0.944	0.773
4	0.977	0.910	1.084
5	1.053	1.046	1.034
6	0.988	1.008	0.962
7	0.989	0.983	1.004
8	1.008	1.004	1.010
9	1.000	1.004	0.995
10	0.997	0.998	0.999
11	1.001	1.00	1.002

لنقم بتبديل المعادلين الأولى والثانية كل مكان الآخرى ونرى ماذا يحدث.

$$\begin{aligned}
 x_1 + 6x_2 - 3x_3 &= 4 \\
 5x_1 + 2x_2 - x_3 &= 6 \\
 2x_1 + x_2 + 4x_3 &= 7
 \end{aligned} \tag{45}$$

وبترتيب النظرة حسب طريقة جاكربي وإجراء التكرارات نحصل على الناتج من جدول (4).

جدول (4)

K	$x_1^{(K)}$	$x_2^{(K)}$	$x_3^{(K)}$
0	0	0	0
1	4.000	3.000	1.750
2	-8.750	-6.125	-1.000
3	73.750	-24.375	7.656
4	-119.282	-87.547	-23.219
5	459.625	289.625	83.278

واضح أن النتائج متباينة! لابد أن يكون هناك شرط معين يجب أن يتحقق لأجل التقارب. لاحظ عناصر القطر بالنسبة للعناصر الباقية!

ثانياً، طريقة سيدال Seidel Method:

لو عدنا إلى المثال (7) وعند المعادلة (44) نجد أننا عند اختيار $x_2^{(k+1)}$ استخدمنا $x_1^{(k)}$ و $x_3^{(k)}$ ، أما سيدال فقد افترح ان تستفيد من القيمة الجديدة لـ x_1 وهي $x_1^{(k+1)}$ ، أي اقترح أن تكون المعادلة (44) بالصورة

$$\left. \begin{aligned} x_1^{(k+1)} &= \frac{1}{5}(6 - 2x_2^{(k)} + x_3^{(k)}) \\ x_2^{(k+1)} &= \frac{1}{6}(4 - 2x_1^{(k+1)} + 3x_3^{(k)}) \\ x_3^{(k+1)} &= \frac{1}{4}(7 - 2x_1^{(k+1)} - x_2^{(k+1)}) \end{aligned} \right\} \quad (46)$$

لاحظ الدليل العلوي.

إن المنظومة $Ax = b$ وبعد تجزئة A إلى D, U, L ستكون:

$$(L + D + U)x = b \quad (47)$$

أو

$$(L + D)x = b - UX \quad (48)$$

وبالصورة التكرارية فان

$$(L + D)x^{(k+1)} = b - UX^{(k)} \quad (49)$$

ن تكون صيغة سيدال التكرارية بالشكل

$$x_i^{(k+1)} = \frac{1}{a_{ii}} \left(b_i - \sum_{j=1}^{i-1} a_{ij} x_j^{(k+1)} - \sum_{j=i+1}^n a_{ij} x_j^{(k)} \right) \quad (50)$$

واعادة حل المثال (7) بطريقة سيدال يتولد الجدول الآتي:

جدول (5)

K	(K) x_1	(K) x_2	(K) x_3
0	0	0	0
1	1.200	0.467	1.033
2	1.220	0.980	0.895
3	0.987	0.950	1.019
4	1.024	1.006	0.987
5	0.995	0.994	1.004
6	1.003	1.002	0.998
7	0.999	0.999	1.001

اما لو طبقنا طريقة سيدال على المجموعة (45) فاننا نحصل على القيم كما في الجدول (6).

جدول (6)

K	(K) x_1	(K) x_2	(K) x_3
0	0	0	0
1	4.000	- 7.000	1.500
2	50.500	- 122.50	7.125
3	760.375	-1894.375	95.156

من الشير أن نلاحظ أن مقترح سيدال هو تسريع للوصول إلى الناتج سواء كان تقارياً أو تباعدأ. إذا إن في حالة التقارب تكون $x_1^{(k+1)}$ أقرب إلى الحل من $x_1^{(k)}$ وهذا ما يدفع $x_2^{(k+1)}$ إلى التقارب أكثر إلى الحل وكذلك ما يحدث لـ $x_3^{(k+1)}$ فعند استخدام القيم $x_1^{(k+1)}, x_2^{(k+1)}, x_3^{(k+1)}$ فكلهاما أقرب للحل $x_1^{(k)}, x_2^{(k)}, x_3^{(k)}$ وهذا ما يدفع $x_3^{(k+1)}$ أكثر للحل. أما في حالة التباعد فإن $x_1^{(k+1)}$ تكون أبعد عن الحل وعليه فإن $x_2^{(k+1)}$ تبتعد أسرع مما لو استعملنا $x_1^{(k)}$ وهكذا.

إن صيغة التوقف المستخدمة في الأمثلة السابقة هي واحد من عدة صيغ وأن ذلك يعتمد على المقاييس المستخدم للمتجهات.

تعريف: مقاييس متجه هو دالة $\| \cdot \|$ متطابقها بجموعة المتجهات ذات n من المركبات في R^n ومدتها بجموعة الأعداد الحقيقة R وما الخواص التالية:

$$1. x \in R^n \text{ لكل } \|x\| \geq 0$$

$$2. x = (0, 0, \dots, 0) \text{ إذا فقط إذا كان } \|x\| = 0$$

$$3. x \in R^n, \alpha \in R \text{ لكل } \|\alpha x\| = |\alpha| \|x\|$$

$$4. x, y \in R^n \text{ لكل } \|x + y\| \leq \|x\| + \|y\|$$

ومن المقاييس المستخدمة:

1. L_2 ويعرف بأنه:

$$\|X\|_2 = \left\{ \sum_{i=1}^n x_i^2 \right\}^{1/2}$$

وسمى أيضاً المقاييس الأقلبيدي.

2. L_∞ ويعرف بأنه:

$$\|X\|_\infty = \max |x_i|$$

$$1 \leq i \leq n$$

$$3. L_1 \text{ ويعرف بأنه } \|X\|_\infty = \sum_{i=1}^n |x_i|$$

إن التوقف عن التكرار يحدث عندما يصبح الفرق بين المتجه $X^{(k+1)}$ والمتجه $X^{(k)}$ أقل من قيمة مسموح بها ϵ . وبهذا يمكن استخدام الصيغ.

$$1. \|X^{(k+1)} - X^{(k)}\|_2 = \left\{ \sum_{i=1}^n |x_i^{(k+1)} - x_i^{(k)}|^2 \right\}^{1/2}$$

$$2. \|X^{(k+1)} - X^{(k)}\|_\infty = \max_{1 \leq i \leq n} |x_i^{(k+1)} - x_i^{(k)}|$$

كذلك بالإمكان استخدام الصيغة.

$$\frac{\|X^{(k+1)} - X^{(k)}\|}{\|X^{(k)}\|}$$

خوارزمية جاكوبى لحل المنظومة b

1. إدخال عدد المعادلات n ، ودخلات A ، b ، x_0 ، ϵ ، $i, j \leq n$ والجهة اليمنى b ،
 $i \leq n$ والتخمين الأولي للمتجه X ، x_0 ، $i \leq n$ والخطأ المسموح به ϵ ،
 والعدد الأكبر المسموح به من التكرارات N .

$$k = 0 . 2$$

3. ما دامت $k \leq N$

$$x_i = \frac{b_i - \sum_{j=1}^n a_{ij} x_0_j}{a_{ii}}, i \neq j, \quad i = 1, \dots, n$$

4. إذا كان $\|X - X_0\| < \epsilon$

اخراج x_i
 توقف
 وإلا.

$$k = k + 1 . 5$$

$$x_0_i = x_i, \quad i = 1, \dots, n . 6$$

7. في حالة $N < k$ توقف.

في خوارزمية سيدال فإن الخطوة 3 فقط تغير إلى الشكل الآتي:

3. ما دامت $k \leq N$

$$x_i = \frac{b_i - \sum_{j=1}^{i-1} a_{ij} x_j - \sum_{j=i+1}^n a_{ij} x_0_j}{a_{ii}}, \quad i = 1, \dots, n$$

4.13 شروط التقارب Convergence Conditions

لأجل أن نعرف على أسباب تقارب أو عدم تقارب العملية التكرارية لكل من طرقتي جاكوبى وسیدال بغزى مصفوفة المعاملات في المنظومة الخطية.

$$Ax = b$$

نضع

$$A = M + N$$

فيكون

$$x = M^{-1} (b - Nx) \quad (51)$$

فيوجود x على جهة اليمين واليسار يمكن أن نعطي قيم تخمينية بجهة اليمين لستخرج قيم جديدة على جهة اليسار فتكون الصيغة التكرارية.

$$x^{(K+1)} = M^{-1} (b - N x^{(K)}) \quad (52)$$

فطرح (52) من (51) يتبع:-

$$e^{(K+1)} = -M^{-1} N e^{(K)} \quad (53)$$

حيث:

$$e^{(k)} = x - x^{(k)}$$

أن المصفوفة $N^{-1} M$ - تسمى مصفوفة التقرير (أو مصفوفة التكرارات) Iteration Matrix، وهي التي تحدد تزايد $e^{(k+1)}$ عن $e^{(k)}$ أو تناقصه. وبما اننا نروم تناقص $e^{(k+1)}$ بزيادة k ، أي ان المطلوب أن:

$$e^{(k)} \rightarrow 0 \quad \text{عندما } k \rightarrow \infty \quad (54)$$

أن المصفوفة $N^{-1} M$ - لا بد أن تمتلك خاصية بحيث تتحقق (54)

وبما أن العلاقة (53) تربط بين متوجه $e^{(k)}$ ومصفوفة التكرارات $N^{-1} M$ ، فلا بد من إيجاد طريقة مشتركة لقياس المتوجه والمصفوفة. ونحتاج الآن إلى إستعراض أنواع مقاييس المصفوفات.

$$\|A\|_1 = \max_{1 \leq j \leq n} \sum_{i=1}^n |a_{ij}| \quad \text{أكبر مجموع من الأعمدة (L1) وهو}$$

2. أكبر جمجم من المصفوفة (A) وهو $\|A\|_2 = \max_{1 \leq i \leq n} \sum_{j=1}^n |a_{ij}|$

3. القياس الأقلبي (L_1) حيث لكل مصفوفة مجم $n \times m$ يكون:

$$\|A\|_1 = \left(\sum_{i=1}^m \sum_{j=1}^n a_{ij}^2 \right)^{1/2}$$

4. القياس الشعاعي، وهو أكبر قيمة مطلقة لقيمة الذاتية للمصفوفة A ويرمز له L_2 .

وهذا يقودنا إلى تعريف القيمة الذاتية فنقول أنها القيمة التي تحقق المعادلة:

$$Ax = \lambda x \quad (55)$$

أي أن هناك متجه x (متجه ذاتي) إذا ضرب بالمصفوفة A ينتج نفس المتجه مضروباً بالقيمة λ .

ولقد وجد أن L_2 يعطي أقل قيمة بين المقاييس الأخرى.

وبالعودة إلى المعادلين (53) و (54) فلما جل أن تتحقق (54) ستطبق L_2 على المصفوفة التكرارية فإذا كان $\|N^{-1}M - I\|_2 < 1$ أقل من الواحد فإن (54) تتحقق. نظرية (4.1):

نفرض أن المصفوفة $N^{-1}M - I$ لها القيم الذاتية $\lambda_i, i=1, \dots, n$. تقارب الصيغة،

$$x^{(k+1)} = M^{-1}(b - N x^{(k)})$$

إذا و فقط إذا كان القياس الشعاعي للمصفوفة $N^{-1}M - I$ أقل من واحد أي:

$$\|N^{-1}M - I\|_2 < 1 = \max_{1 \leq i \leq n} |\lambda_i|$$

بالرغم من قوة النظرية حيث أن شرط التقارب هذا كاف وضروري إلا أن صعوبة إيجاد القيم الذاتية للمصفوفات خاصة مجم $3 > n$ ، يجعل دون الاعتماد عليها في التطبيق. لذا نلجأ إلى تخفيف ذلك الشرط بجعله كاف فقط وسهل التطبيق. وقد لاحظنا في الأمثلة السابقة كيف أن قيمة العناصر القطرية تلعب دوراً هاماً في التقارب.

نظريه (4.2):

تقارب كل من طرقتي جاكوبى وسیدال في حل منظومة المعادلات الخطية.
إذا كانت مصفرة المعاملات A ذات هيئة قطرية.

البرهان:

ليكن v هو أحد المتجهات الذاتية للمصفوفة $N^{-1}M$ - الماظر للقيمة الذاتية λ إذًا

$$-M^{-1}Nv = \lambda v \quad (56)$$

أو

$$(\lambda M + N)v = 0 \quad (57)$$

نفرض أن أكبر مركبة للمتجه v هي v_i ، $1 \leq i \leq n$

$$\forall j \neq i, |v_j| \leq |v_i| \quad \therefore$$

بالنسبة لطريقة جاكوبى حيث $M = L + U$ ، $N = D$ تكون المعادلة (57).

$$(\lambda D + L + U)v = 0$$

ونكون المركبة i :

$$\lambda a_{ii} v_i + \sum_{\substack{j=1 \\ j \neq i}}^n a_{ij} v_j = 0$$

$$\lambda = \frac{-\sum_{j=1, j \neq i}^n a_{ij} v_j}{a_{ii} v_i} \quad \text{اذن}$$

$$|\lambda| = \frac{\left| \sum_{j=1, j \neq i}^n a_{ij} v_j \right|}{|a_{ii}| |v_i|}$$

وحيث ان:

$$\left| \sum_{j=1}^n a_{ij} v_j \right| = \sum_{j=1}^n |a_{ij} v_j| \leq |v_i| \left| \sum_{j=1}^n a_{ij} \right|$$

ومن شرط الميئنة القطرية يكون:

$$|\lambda| < 1$$

واما في طريقة سيدال حيث:

$$N = U + M = L + D$$

وتصبح المعادلة (57) بالصورة:

$$(\lambda L + \lambda D + U)v = 0$$

والمركبة λ تكون

$$\lambda \sum_{j=1}^i a_{ij} v_j + \sum_{j=i+1}^n a_{ij} v_j = 0$$

اذن

$$\lambda = \frac{-\sum_{j=i+1}^n a_{ij} v_j}{\sum_{j=1}^i a_{ij} v_j} = 0 \quad (58)$$

ومن حقيقة ان:

$$|A + B| \geq |A| - |B|$$

فإن

$$\left| \sum_{j=1}^i a_{ij} v_j \right| \geq |a_{ii} v_i| - \left| \sum_{j=1}^{i-1} a_{ij} v_j \right|$$

ولكن

$$\left| \sum_{j=1}^{i-1} a_{ij} v_j \right| \leq \sum_{j=1}^{i-1} |a_{ij} v_j| \leq |v_i| \sum_{j=1}^{i-1} |a_{ij}|$$

وعليه فأن:

$$\left| \sum_{j=1}^i a_{ij} v_j \right| \geq |a_{ii} v_i| - |v_i| \sum_{j=1}^{i-1} |a_{ij}| = |v_i| \left(|a_{ii}| - \sum_{j=1}^{i-1} |a_{ij}| \right)$$

اما بسط المعادلة (58) فيكون

$$\left| \sum_{j=i+1}^n a_{ij} v_j \right| \leq |v_i| \sum_{j=i+1}^n |a_{ij}|$$

∴ تصبح المعادلة (58) بالشكل

$$|\lambda_i| = \frac{|v_i| \sum_{j=i+1}^n |a_{ij}|}{|v_i| (|a_{ii}| - \sum_{j=1}^{i-1} |a_{ij}|)}$$

ومن شرط القيمة القطرية

$$|\lambda| < 1$$

إن العلاقة بين نظرية (4.1) ونظرية (4.2) والتقارب يتوضح في الصيغة،

$$\text{قيمة نظرية } \leq 1 \Leftrightarrow \max |\lambda| < 1 \text{ تقارب}$$

4.14 Relaxation Method طريقة الاسترخاء

لو عدنا إلى خوارزمية سيدال (50) وأعدنا كتابتها بالشكل :

$$x_i^{(k+1)} = x_i^{(k)} + \left\{ \frac{1}{a_{ii}} \left(b_i - \sum_{j=1}^{i-1} a_{ij} x_j^{(k+1)} - \sum_{j=i}^n a_{ij} x_j^{(k)} \right) \right\} \quad (59)$$

فإنه يمكن اعتبار المقدار المحصر بين القوسين المتترين هو العامل المراد [إضافة] $x^{(k+1)}$ للحصول على $x^{(k+1)}$. فلو سمحنا لا نقصنا أن نزيد أو ننقص من هذا العامل لأجل تسريع التقارب فإن ذلك يكون بضرب العامل بعدد موجب w أي تكون الصيغة.

$$x_i^{(k+1)} = x_i^{(k)} + \left\{ \frac{w}{a_{ij}} \left(b_i - \sum_{j=1}^{i-1} a_{ij} x_j^{(k+1)} - \sum_{j=i}^n a_{ij} x_j^{(k)} \right) \right\} \quad (60)$$

وقد وجد أن الشرط الضروري لتقريب هذه الصيغة هو أن تكون w في الفترة $(0,2)$. أن تحديد قيمة w المطلوبة ليس بالعملية السهلة ولكن لوحظ أنه عندما تكون $w > 1$ ولبعض القيم، فإنها تسرع التقارب الحالى بطريقة سيدل. واضح أن $w = 1$ تعيينا إلى طريقة سيدل عينها.

مثال 8: [2]

حل المنظومة

$$\begin{array}{rcl} -3x_1 + x_2 & & +3x_4 = 1 \\ x_1 + 6x_2 + x_3 & & = 1 \\ x_2 + 6x_3 + x_4 & & = 1 \\ 3x_1 & + x_3 - 3x_4 & = 1 \end{array}$$

$$\text{تحت الشرط } \max \left| x_i^{(k+1)} - x_i^{(k)} \right| \leq \frac{1}{2} \times 10^{-2}$$

نلاحظ أن مصفوفة المعاملات ليست ذات هيئة نظرية ولكنها تقارب وتتقارب بها بطيء، كما موضح في الجدول (7) ولكن باستخدام $w = 1.6$ لمحصل على النتائج المرصودة في الجدول (8).

جدول (7)

K	$x_1^{(K)}$	$x_2^{(K)}$	$x_3^{(K)}$	$x_4^{(K)}$
0	0	0	0	0
1	-0.333	0.222	0.130	-0.623
2	-0.883	0.980	0.895	-1.142
3	-1.378	0.950	1.019	-1.612
4	-1.826	1.006	0.987	-2.037
5	-2.230	0.994	1.004	-2.421
6	:	:	:	:
48	-5.953	0.993	0.993	-5.955
49	-5.957	0.994	0.994	-5.960

جدول (8)

K	(K) x_1	(K) x_2	(K) x_3	(K) x_4
0	0	0	0	0
1	- 0.533	0.409	0.158	- 1.303
2	- 2.079	0.534	0.377	- 2.872
3	- 3.605	0.807	0.593	- 4.259
4	-4.754	0.892	0.809	- 5.153
5	-5.450	0.969	0.897	- 5.683
:	:	:	:	:
14	- 6.003	1.000	1.000	- 6.001
15	- 6.000	1.000	1.000	- 6.000

ولقد اصطلح على تسمية الطريقة بـ (تحت الاسترخاء) Under Relaxation في حال كون $w < 0$ وبـ (فوق الاسترخاء) Over Relaxation في حالة $w > 1$.

4.15 التحسين التكراري Iterative Refinement

مع أننا لا نستخدم أي من الطرق التكرارية التي ذكرناها في هذا الفصل. إلا أننا نستخدم عملية تكرارية هدفها تحسين النتائج التي لمحصل عليها في حل المنظومة الخطية بالطرق المباشرة.

فقد لاحظنا في الجزء (4.5) كيف أننا نقع في خطأ كبير في الحل النهائي نتيجة تقارب النتائج الوسطية أثناء الحل. فإذا أردنا إيجاد حل للمنظومة

$$Ax = b \quad (61)$$

فإننا لن نحصل على هذه المعادلة وإنما نحصل على حل قريب (\tilde{x}) من الحل الحقيقي x وبالتالي يكون:

$$A\tilde{x} \cong b \quad (62)$$

وعليه يكون

$$b - A\tilde{x} = r \quad (63)$$

حيث r يمثل ما يسمى بالباقي من الخل.

فإذا وضعنا المعادلة (63) بالصورة

$$Ax - A\tilde{x} = r \quad (64)$$

$$A(x - \tilde{x}) = r \quad \text{أو}$$

$$A(y - r) = A(x - \tilde{x}) \quad (65)$$

فإن y يمثل الفرق بين x و \tilde{x} وجعل المعادلة الأخيرة فإننا نحصل على:

$$\begin{aligned} \tilde{y} &\approx A^{-1}r = A^{-1}(b - A\tilde{x}) \\ &= A^{-1}b - A^{-1}A\tilde{x} = x - \tilde{x} \end{aligned} \quad (66)$$

إي أن \tilde{y} هو تقدير للخطأ في الخل التقريري للمنظومة الابصرية. فإذا صافحة \tilde{y} إلى x نقترب حتماً إلى x .

وتقرار العملية نصل إلى الخل المطلوب بالدقة المطلوبة.

نلخص العمل بالخطوات التالية:

مطلوب حل المنظومة b

$$Ax^{(1)} = b \quad \text{يتتج}$$

$$r^{(1)} = b - Ax^{(1)} \quad \therefore$$

محل المنظومة $r^{(1)}$

$$y^{(1)} \approx A^{-1}r^{(1)} \quad \text{لجد}$$

$$x^{(2)} = x^{(1)} + y^{(1)} \quad \therefore$$

$$r^{(2)} = b - Ax^{(2)} \quad \text{لجد}$$

$$y^{(2)} = A^{-1}r^{(2)} \quad \text{شم}$$

$$x^{(3)} = x^{(2)} + y^{(2)} \quad \text{فحصل على}$$

⋮

و يتم التوقف عندما تصبح: $\|y^{(k)}\|_2 \leq \epsilon$

مثال 9: [7]

في حل المنظومة الآتية:

$$\begin{bmatrix} 3.3330 & 1.5920 & -10.333 \\ 2.2220 & 16.710 & 9.6120 \\ 1.5611 & 5.1791 & 1.6852 \end{bmatrix} \begin{bmatrix} x_1 \\ x_2 \\ x_3 \end{bmatrix} = \begin{bmatrix} 159.13 \\ 28.544 \\ 8.4252 \end{bmatrix}$$

بطريقة كاوس للحذف وباستخدام خمس أرقام في الحسابات، نحصل على الحل التقريري $x^{(1)} = (1.2001, 0.99991, 0.92538)$. علماً أن الحل الحقيقي هو $x = (1, 1, 1)$.

بعد أن تجد $x^{(1)}$ حيث

$$r^{(1)} = b - Ax^{(1)}$$

ويمثل المنظومة

$$Ay^{(1)} = r^{(1)}$$

نحصل على:

$$y^{(1)} = (-0.20008, 8.9987 \times 10^{-5}, 0.074607)^T$$

$$x^{(2)} = x^{(1)} + y^{(1)} = (1.000, 1.0000, 0.99999)^T \quad \therefore \text{ تكون}$$

نكرر فتجد:

$$y^{(2)} = b - Ax^{(2)}$$

ويمثل المنظومة

$$Ay^{(2)} = r^{(2)}$$

نحصل على

$$y^{(2)} = (1.5002 \times 10^{-9}, 2.0951 \times 10^{-10}, 1.000 \times 10^{-10})^T$$

فيكون

$$x^{(2)} = (1.0000, 1.0000, 1.0000)^T$$

تمارين

1. حاول حل النظومات الآتية بطرق التعريف أو الحذف. ثم بين لماذا لم تفلح في الحالات التي ليس لها حل.

$$\begin{array}{l}
 \begin{array}{rcl}
 x_1 - 2x_2 + x_3 & = & 5 \\
 -x_1 + 2x_2 + x_3 & = & 4 \\
 3x_1 - 2x_2 & = & 6
 \end{array} \quad (ب) \quad \begin{array}{rcl}
 x_1 + x_2 - x_3 & = & 3 \\
 -x_1 + x_2 + x_3 & = & 2 \\
 x_1 + 3x_2 - x_3 & = & 8
 \end{array} \\
 \\
 \begin{array}{rcl}
 3x_1 + x_2 - 5x_3 & = & 14 \\
 2x_1 + x_2 - 3x_3 & = & 5 \\
 -x_1 - x_2 - x_3 & = & 4
 \end{array} \quad (ج) \quad \begin{array}{rcl}
 x_1 + x_2 - x_3 & = & 3 \\
 -x_1 + x_2 + x_3 & = & 2 \\
 x_1 + 3x_2 - x_3 & = & 6
 \end{array} \\
 \\
 \begin{array}{rcl}
 x_1 + x_2 + x_4 & = & 2 \\
 2x_1 + x_2 - x_3 + x_4 & = & 1 \\
 4x_1 - x_2 - 2x_3 + 2x_4 & = & 0 \\
 3x_1 - x_2 - x_3 - 2x_4 & = & -3
 \end{array} \quad (د) \quad \begin{array}{rcl}
 x_1 + x_2 + x_4 & = & 2 \\
 2x_1 + x_2 - x_3 + x_4 & = & 1 \\
 -x_1 + 2x_2 + 3x_3 - x_4 & = & 4 \\
 3x_1 - x_2 - x_3 + 2x_4 & = & -3
 \end{array}
 \end{array}$$

2. حل النظومات الخطية الآتية بطريقة كالوس للحذف والتعريف التراجمي
باستخدام رقمين في الحسابات وبالتدوير وب بدون إعادة ترتيب المعادلات، (علمما
أن الحل لكل نظومة هو $(x=1, -1, 3)$)

$$\begin{array}{l}
 \begin{array}{rcl}
 x_1 + 2x_2 + 4x_3 & = & 11 \\
 4x_1 + x_2 - x_3 & = & 8 \\
 2x_1 + 5x_2 + 2x_3 & = & 3
 \end{array} \quad (ب) \quad \begin{array}{rcl}
 4x_1 + x_2 - x_3 & = & 8 \\
 2x_1 + 5x_2 + 2x_3 & = & 3 \\
 x_1 + 2x_2 + 4x_3 & = & 11
 \end{array} \\
 \\
 \begin{array}{rcl}
 2x_1 + 4x_2 - x_3 & = & -5 \\
 x_1 + x_2 - 3x_3 & = & -9 \\
 4x_1 + x_2 + 2x_3 & = & 9
 \end{array} \quad (ج) \quad \begin{array}{rcl}
 4x_1 + x_2 + 2x_3 & = & 9 \\
 2x_1 + 4x_2 - x_3 & = & -5 \\
 x_1 + x_2 - 3x_3 & = & -9
 \end{array}
 \end{array}$$

3. أعطى المصفوفة:

$$M = \begin{bmatrix} 1 & 1 & -1 \\ -1 & 0 & 1 \\ 1 & -1 & -1 \end{bmatrix}$$

جد M^1, M^2

4. بين أن منظومة المعادلات التالية ليس لها حل:

$$\begin{aligned} 3x_1 + 2x_2 - x_3 - 4x_4 &= 10 \\ x_1 - x_2 + 3x_3 - x_4 &= -4 \\ 2x_1 + x_2 - 3x_3 &= 16 \\ -x_2 + 8x_3 - 5x_4 &= 3 \end{aligned}$$

5. لو أبدلنا عناصر الجهة اليمنى في السؤال (4) بالقيم (1, 3, 2, 0) بين أن للمنظومة عدد لا نهائي من الحلول.

6. 1 - حل المنظومة الآتية بطريقة كاوس للحذف مستخدماً أربع مراتب في الحسابات.

$$\begin{bmatrix} 5 & -1 & 1 \\ 2 & 4 & 0 \\ 1 & 1 & 5 \end{bmatrix} \begin{bmatrix} x_1 \\ x_2 \\ x_3 \end{bmatrix} = \begin{bmatrix} 10 \\ 12 \\ -1 \end{bmatrix}$$

ب - بعد وضع المعادلة الأولى في الأخير أعد حل المنظومة في (1) بطريقة كاوس جوردن. (هل يختلف الحل عن السابق)

7. حل المنظومة المتعددة الجهة اليمنى بإضافة كل المتجهات b_i مرة واحدة (بنفس الوقت) حيث:

$$A = \begin{bmatrix} 4 & 0 & -1 & 3 \\ 2 & 1 & -2 & 0 \\ 0 & 3 & 2 & -2 \\ 1 & 1 & 0 & 5 \end{bmatrix} \quad b_1 = \begin{bmatrix} 0 \\ 1 \\ 4 \\ -2 \end{bmatrix}, \quad b_2 = \begin{bmatrix} 0 \\ 0 \\ -2 \\ 4 \end{bmatrix}, \quad b_3 = \begin{bmatrix} 7 \\ -1 \\ 4 \\ -2 \end{bmatrix}$$

8. حل المنظومة الآتية بطريقة LU:

$$\begin{bmatrix} 1 & 3 & 1 & -1 \\ 2 & 0 & 1 & 1 \\ 0 & -1 & 4 & 1 \\ 0 & 1 & 1 & -5 \end{bmatrix} \begin{bmatrix} x_1 \\ x_2 \\ x_3 \\ x_4 \end{bmatrix} = \begin{bmatrix} 3 \\ 1 \\ 6 \\ 16 \end{bmatrix}$$

9. حل المنظومة الآتية بطريقة LU:

$$\begin{bmatrix} 4 & -1 & 0 & 0 & 0 \\ -1 & 4 & -1 & 0 & 0 \\ 0 & -1 & 4 & -1 & 0 \\ 0 & 0 & -1 & 4 & -1 \\ 0 & 0 & 0 & -1 & 4 \end{bmatrix} \begin{bmatrix} x_1 \\ x_2 \\ x_3 \\ x_4 \\ x_5 \end{bmatrix} = \begin{bmatrix} 100 \\ 200 \\ 200 \\ 200 \\ 100 \end{bmatrix}$$

ب- اعد الخل عندما يكون [100, 0, 0, 0, 200]

10. حل المنظومات الآتية

(ا) بطريقة كاوس للحذف وباستخدام رقمين في الحسابات.

(ب) بطريقة كاوس للحذف وباستخدام رقمين في الحسابات مع المعرفة الجزئية.

(ج) محاسبات مضبوطة وقارن بين ا- وب- وج-.

(i)

$$x_1 + 2x_2 + 3x_3 = 1$$

$$2x_1 + 3x_2 + 4x_3 = -1$$

$$3x_1 + 4x_2 + 6x_3 = 2$$

(ii)

$$0.04x_1 + 0.01x_2 - 0.01x_3 = 0.06$$

$$0.2x_1 + 0.5x_2 - 0.2x_3 = 0.3$$

$$x_1 + 2x_2 + 4x_3 = 11$$

11. حل المنظومات الخطية الآتية بطريقة حاکرubi مرة وبطريقة سيدال مرة أخرى

$$\text{مبتدأ بالتجه} \quad x^{(0)} = 0 \quad \text{وجاعلا درجة السماح} \quad \epsilon = 10^{-2}$$

$$10x_1 - 2x_2 = 9 \quad 2x_2 + 4x_3 = 0 \quad (1)$$

$$-x_1 + 10x_2 - 2x_3 = 7 \quad x_1 - x_2 - x_3 = 0.375$$

$$-2x_2 + 10x_3 = 6 \quad x_1 - x_2 + 2x_3 = 0$$

12. حل المنظومات في السؤال (11) بطريقة SOR (طريقة الاسترخاء) جاعلا

$$w=1.2$$

13. حل المنظومات الآتية بطريقة كاوس للحدف ونكرار التصفية.

(1)

$$4.56x_1 + 2.18x_2 = 6.74$$

$$2.79x_1 + 1.38x_2 = 4.13$$

مستخدماً رقمين مدorين في الحسابات.

(ب)

$$x_1 + \frac{1}{2}x_2 + \frac{1}{3}x_3 = \frac{11}{6}$$

$$5x_1 + \frac{10}{3}x_2 + \frac{5}{2}x_3 = \frac{65}{6}$$

$$\frac{100}{3}x_1 + 25x_2 + 20x_3 = \frac{235}{3}$$

مستخدماً ثلاثة أرقام مدورة في الحسابات.

الاندراج والتقرير بمتعددات الحدود

5.1 متعددة حدود ليبر

15.2 الفروقات المنتهية

5.3 متعددة حدود لكرانج للاندراج

5.4 مقدار الخطأ بـ متعددة الحدود

15.5 الاندراج التكراري والفرقـات المقسمة (النسبية)

15.6 الحدوـيات الـيطـعـية

15.7 الشـراـح

15.8 التـقـرـير بـ منـحـنـيات منـاسـبة

تمارين

الفصل الخامس

الاندراج والتقرير بمتعددات الحدود

Interpolation and Polynomial Approximation

مقدمة 2

في كثير من المواضيع العلمية والعملية نعتمد على التجربة في تحقيق هدفنا، ومن خلال التجارب نحصل على بيانات (معلومات) تحتاج إلى معاجلة، لكن أحياناً ليس من الواقع أن نجري تجربة لكل معلومة نريد معرفتها كأن تكون التجربة مكلفة أو أنها لا نستطيع أن تحكم بالمعلومات للحصول على النتائج المرغوبة أو أنها نريد الحصول على نتائج توقعة (مستقبلية). لذلك نلجأ إلى صياغة ما نحصل عليه من نتائج بصورة معادلة رياضية يمكن أن نستخدمها عند الحاجة. ومن المعلومات المترامية فإن متعددات الحدود هي أبسط أنواع الدوال التي يمكن أن تسعفنا في هذه الأحوال فهي ذات صيغة توقيدية ومتصلة وقابلة للاشتراق والتكامل وهي يمكن أن تعامل معها بواسطة الحاسوب بسهولة.

في الحقيقة أن متعددات الحدود لا تستخدم فقط عندما تكون الدالة الأصلية عبئولة بل في كثير من الأحيان تكون الدالة معلومة ولكن لتعقيداتها نستعين بها بمتعددات حدود تقريرية لها.

٥.١ متعددة حدود تيلر Taylor Polynomial^(*)

من الصيغة العامة لحدودية تيلر

$$f(x) = f(x_0) + (x - x_0)f'(x_0) + \frac{(x - x_0)^2}{2!} f''(x_0) + \dots + R_n \quad (1)$$

حيث R_n هو ما يسمى بالباقي، وغالباً ما يهمل هذاالجزء مما يتبع في خطأ في حساب (x) وذلك يسمى حد الخطأ.

وبذلك نكتب الصيغة التقريرية لحدودية تيلر بالشكل

$$\begin{aligned} P_n(x) &= f(x_0) + (x - x_0)f'(x_0) + \dots + \frac{(x - x_0)^n}{n!} f^{(n)}(x_0) \\ &= \sum_{k=0}^n f^{(k)}(x_0) \frac{(x - x_0)^k}{k!} \end{aligned} \quad (2)$$

حيث إن

$$|f(x) - P_n(x)| < \epsilon \quad (3)$$

و $\epsilon > 0$

بالصيغة (2) نجد قيمة تقريرية للدالة f عند النقطة x ذلك من المعلومات المتوفرة عن الدالة عند نقطة x_0 .

مثال (1):

لإيجاد حدودية تيلر من الدرجة الأولى والثانية والثالثة للدالة $f(x) = e^x$ انطلاقاً من النقطة $x_0 = 0$ ، نجد قيم الدالة ومشتقاتها لحد المشتقة الثالثة

$$f(0) = f'(0) = f''(0) = f'''(0) = 1$$

(*) من الآن فصاعداً سنسمي متعددة الحدود باسم حدودية.

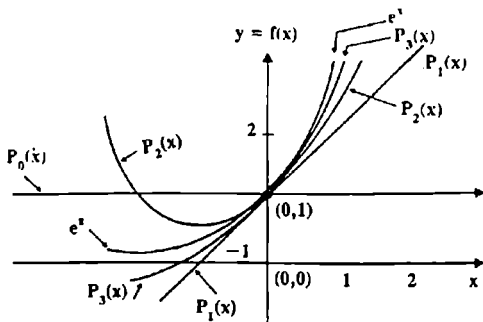
$$P_1(x) = f_0 + x f'_0 = 1 + x,$$

$$P_2(x) = f_0 + x f'_0 + \frac{x^2}{2} f''_0 = 1 + x + \frac{x^2}{2}$$

$$P_3(x) = f_0 + x f'_0 + \frac{x^2}{2} f''_0 + \frac{x^3}{3!} f'''_0$$

$$= 1 + x + \frac{x^2}{2} + \frac{x^3}{6}$$

لاحظ شكل (5.1)



شكل (5.1)

فلو أردنا أن نستخدم هذه الخودويات لخixin قيم الدالة عند النقاط (0.5، 0.05، 0.001، 0، 0.001، 0، 0.05، -1.5) فاننا لمحصل على النتائج في الجدول (1) مقارنة مع القيم الحقيقة للدالة.

جدول (1)

x	P ₁ (x)	P ₂ (x)	P ₃ (x)	e ⁱ
.50	1.5	1.6250000	1.6458333	1.6487213
0.05	1.05	1.0512500	1.0512708	1.0512711
0.001	1.001	1.0010005	1.0010005	1.0010005
0.0	1.000	1.0000000	1.0000000	1.0000000
-1.5	-0.5	0.6250000	0.0625000	0.2231000

5.2 الفروقات المنتهية Finite Differences

في الجزء السابق استخدمنا حدودية تيلر لنقريب دالة معلومة وقابلة للاشتقاق أكثر من مرة وذلك في نقطة واحدة. وهذا النوع من التقرير يعمل في فترة صغيرة عادةً، ولكن ليس هذه دائماً الحال فنحن نحتاج إلى حدودية تقرب دالة غير معلومة أحياناً وعلى فترات طويلة.

نفرض أن لدينا مجموعة بيانات للمتغير بصورة الأزدواج $f(x_i) = 0, \dots, n$

$$i = 1, \dots, n \quad x_i - x_{i-1} = h \quad (4)$$

نعرف مؤثر الفرق التقدمي Δ على الدالة f كما يلي:

$$\Delta f(x_i) = f(x_i + h) - f(x_i)$$

لرمز للمقدار $(x_i)f$ بالرمز Δ فيصبح الفرق

$$\Delta f_i = f_{i+1} - f_i \quad (5)$$

أما الفرق الثاني فهو

$$\begin{aligned}\Delta^2 f_i &= \Delta(\Delta f_i) \\ &= \Delta(f_{i+1} - f_i) \\ &= f_{i+2} - 2f_{i+1} + f_i\end{aligned}$$

والفرق الثالث

$$\Delta^3 f_i = f_{i+3} - 3f_{i+2} + 3f_{i+1} - f_i$$

وتصورة عامة:

$$\Delta^n f_i = f_{i-n} - n f_{i,n-1} + \frac{n(n-1)}{2!} f_{i,n-2} - \frac{n(n-1)(n-2)}{3!} f_{i,n-3} + \dots \quad (6)$$

هذه الفروقات يمكن أن توضع بشكل جدول يسهل قرائتها.

جدول (2)

مروج جدول الفروقات المتهبة التدريبية

i	x _i	f _i	Δf	$\Delta^2 f$	$\Delta^3 f$	$\Delta^4 f$	$\Delta^5 f$
0	x ₀	f ₀					
1	x ₁	f ₁	Δf_0	$\Delta^2 f_0$	$\Delta^3 f_0$		
2	x ₂	f ₂	Δf_1	$\Delta^2 f_1$	$\Delta^3 f_1$	$\Delta^4 f_0$	
3	x ₃	f ₃	Δf_2	$\Delta^2 f_2$	$\Delta^3 f_2$	$\Delta^4 f_1$	$\Delta^5 f_0$
4	x ₄	f ₄	Δf_3	$\Delta^2 f_3$	$\Delta^3 f_3$	$\Delta^4 f_2$	$\Delta^5 f_1$
5	x ₅	f ₅	Δf_4	$\Delta^2 f_4$	$\Delta^3 f_4$	$\Delta^4 f_3$	$\Delta^5 f_2$
6	x ₆	f ₆	Δf_5	$\Delta^2 f_5$	$\Delta^3 f_5$	$\Delta^4 f_4$	$\Delta^5 f_3$
7	x ₇	f ₇	Δf_6	$\Delta^2 f_6$			
8	x ₈	f ₈	Δf_7				

لتكون جدول فروقات لل نقاط

(1,7)، (2,10)، (3,12)، (4,13)، (5,16)، (6,20)

جدول (3)

i	x _i	f _i	Δf	$\Delta^2 f$	$\Delta^3 f$	$\Delta^4 f$	$\Delta^5 f$
0	1	7	3				
1	2	10	2	-1	0	3	-7
2	3	12	1	-1	3	-4	
3	4	13	3	2	-1		
4	5	16	4	1			
5	6	20					

من الملاحظات ال显ية هو أن تكون عدد النقاط ست فأنا لا نحصل على أكثر من سة فروقات.

اعمل جدول فروقات للدالة $y = x^3$ وعند النقاط $x=1,3,5,7,9,11$ ، ماذا يحظ (قارن مع مشتقات متعددة الحدود x^3).

لنعد إلى الصيغة (5)، وعند x_0 يكون

$$\Delta f_0 = f_1 - f_0$$

او

$$f_1 = (1 + \Delta) f_0$$

وهذا ينطبق على Δ^2 أيضاً حيث

$$f_2 = (1 + \Delta)^2 f_0$$

وهكذا فإن

$$f_n = (1 + \Delta)^n f_0 \quad (7)$$

وبفك القوس نحصل على

$$f_n = f_0 + n \Delta f_0 + \frac{n(n-1)}{2!} \Delta^2 f_0 + \frac{n(n-1)(n-2)}{3!} \Delta^3 f_0 + \dots + \Delta^n f_0 \quad (8)$$

الصيغة (8) تبين أننا يمكن أن نجد قيمة الدالة f عند النقطة x_n باستخدام معلومات عن الدالة f عند x_0 فقط نحصل عليها من جدول الفروقات! ولكن أليست المعلومة f_0 متوفرة لدينا؟

ان تعليم هذه الصيغة لشمول ليس فقط النقاط المجدولة وأما إية نقطة ما بين النقاط المجدولة وحتى نقاط أخرى تقع خارج الجدول (من أعلى أو من أسفل) يعطي للصيغة قيمتها ولو كانت تحمل شيئاً من الخطأ. فبدليل $m = 1, 2, \dots, n$ لشمول الكسور أيضاً السالبة والملوحة، نكتب الصيغة (8) بدالة m اي

$$f_m = f_0 + m \Delta f_0 + \frac{m(m-1)}{2!} \Delta^2 f_0 + \frac{m(m-1)(m-2)}{3!} \Delta^3 f_0 + \dots \quad (9)$$

هذه تتيح لنا تخمين قيمة الدالة f عند نقطة (x_m) غير موجودة في الجدول حيث إن

$$m = \frac{x_m - x_0}{h} \quad (10)$$

$$h = \Delta x$$

وأن

تسمى الصيغة (9) بـصيغة نيوتن التقدمية للفروقات المتهبة.

مثال 2: [1]

من الجدول الآتي خزن قيمة (0.1) باستخدام حدودية من الدرجة الثانية ثم
حدودية من الدرجة الرابعة.

i	0	1	2	3	4	5	6
x_i	0	0.2	0.4	0.6	0.8	1.0	1.2
f_i	0	0.19867	0.38942	0.56464	0.71736	0.84147	0.93204

الحل:

نكون جدول الفروقات، ثم نختار x_0 لتكون 0 لأنها الأقرب إلى النقطة المطلوبة
 $x_m = 0.1$

$$m = \frac{0.1 - 0}{0.2} = 0.5$$

و بما أن الحدودية المطلوبة من الدرجة الثانية $n=2$

$$P_2(x_m) = f_0 + m\Delta f_0 + \frac{m(m-1)}{2} \Delta^2 f_0$$

جدول (4)

I	x_i	f	Δf	$\Delta^2 f$	$\Delta^3 f$	$\Delta^4 f$	$\Delta^5 f$	$\Delta^6 f$
0	0	0						
1	0.2	0.19867	0.19867	-0.00792				
2	0.4	0.38942	0.19075	-0.01553	0.00761			
3	0.6	0.56464	0.17522	-0.02250	0.00697	0.00064		
4	0.8	0.71736	0.15272	-0.02861	0.00611	0.00086	0.00022	
5	1.0	0.84147	0.12411	-0.03354	0.00493	0.00118	0.00032	0.00010
6	1.2	0.93204	0.09057					

$$f_0 = 0$$

إذن فإن

$$\Delta f_0 = 0.19867$$

$$\Delta^2 f_0 = -0.00792$$

$$\Delta^3 f_0 = 0.00761$$

$$\Delta^4 f_0 = 0.00064$$

$$h = 0.2$$

$$m = 0.5$$

وحيث إن

فإن

$$P_2(0.1) = 0 + (0.5)(0.19867) + \frac{(0.5)(-0.5)}{2} (-0.00792) = 0.10033$$

وإن

$$\begin{aligned} P_4(0.1) &= 0.10033 + \frac{(0.5)(-0.5)(-1.5)}{3!} (-0.00761) \\ &\quad + \frac{(0.5)(-0.5)(-1.5)(-2.5)}{4!} (0.00064) \\ &= 0.09983 \end{aligned}$$

ولو علمنا الدالة في المثال تقبل (x) لمجد أن القيمة الحقيقة للدالة هي:

$$\sin(0.1) = 0.09983$$

وهي متطابقة مع الخدودية من الدرجة الثانية لثلاث مراتب عشرية أما مع الخدودية P_4 فإنها متطابقة لخمس مراتب عشرية.

لاحظ أننا عند إيجاد (x_m) استخدمنا قيمة $P_2(x_m)$ ولم نخرج لاعادة حسابها.

من أهم عوامل دقة التخمين هي أن $|m|$ تكون أصغر ما يمكن وأن يتتوفر عدد كاف من الفروقات.

ماذا لو أردنا أن نخمن قيمة (0.5) في المثال السابق. ان اختيار $x_0 = 0$ يجعل m كبيرة، الأفضل أن نختار $x_0 = 0.4$ طالما أن لدينا من الفروقات ما يكفي لتكوني حدودية من الدرجة حتى الرابعة. السؤال المهم هو ماذا لو طلب منا تخمين قيمة الدالة في نقطة قريبة من النهاية السفلی للجدول، مثلاً 1.15 أو 1.25 في الجدول السابق؟ خاصة لو كانت الخدودية المطلوبة من درجة أعلى من الثانية. في هكذا حالة يصبح حتماً علينا اختيار $x_0 = 0.8$ على الأقل للحصول على P_2 ، عندها تكون

$$m = \frac{1.15 - 0.8}{0.2} = 1.75$$

وهذه الفيجة تتضاعف في الحدود المتأخرة من الحدودية. لحسن الآن في حرج!
ولكن لو قدمنا مؤشر الفرق التراجعي ∇ فنحل المخرج حيث

$$\begin{aligned}\nabla f_i &= f_i - f_{i-1} \\ \nabla^2 f_i &= f_i - 2f_{i-1} + f_{i-2}\end{aligned}\quad (11)$$

وهكذا. بذلك يكون جدول الفروقات المتتالية كما في الجدول (5).

ومن خواص Δ (دلنا) و ∇ (نزلة) نلاحظ العلاقات الآتية:

جدول (5)

i	x_i	f_i	∇f	$\nabla^2 f$	$\nabla^3 f$	$\nabla^4 f$	$\nabla^5 f$
0	x_0	f_0					
1	x_1	f_1	∇f_1	$\nabla^2 f_2$	$\nabla^3 f_3$	$\nabla^4 f_4$	$\nabla^5 f_5$
2	x_2	f_2	∇f_2	$\nabla^2 f_3$	$\nabla^3 f_4$	$\nabla^4 f_5$	
3	x_3	f_3	∇f_3	$\nabla^2 f_4$	$\nabla^3 f_5$		
4	x_4	f_4	∇f_4	$\nabla^2 f_5$			
5	x_5	f_5	∇f_5				

$$\left. \begin{aligned}\nabla f_0 &= f_1 - f_0 = \Delta f_{-1} \\ \nabla^2 f_0 &= \Delta^2 f_{-2} \\ &\vdots \\ \nabla^n f_0 &= \Delta^n f_{-n}\end{aligned}\right\} \quad (12)$$

أن متعددة الحدود التراجعية تكتب بالصيغة

$$P_n(x) = f_0 + m\nabla f_0 + \frac{m(m+1)}{2!} \nabla^2 f_0 + \frac{m(m+1)(m+2)}{3!} \nabla^3 f_0 + \dots \quad (13)$$

ومن العلاقات (12) نكتب نفس الصيغة بدلالة الفروقات التقدمية

$$P_n(x) = f_0 + m\Delta f_{-1} + \frac{m(m+1)}{2!} \Delta^2 f_{-2} + \frac{m(m+1)(m+2)}{3!} \Delta^3 f_{-3} + \dots \quad (14)$$

بالعودة إلى المثال (2)، لو أردنا تخمين قيمة (1.1) \sin من الجدول (4) فإننا نستخدم الفروقات التراجعية و اختيار $x_0=1.2$ تكون.

$$m = \frac{1.1 - 1.2}{0.2} = -0.5$$

$$P_2(1.1) = 0.93204 + (-0.5)(0.09057) + \frac{(-0.5)(0.5)}{2!} (-0.03354)$$

$$P_2(1.1) = 0.89095$$

اما قيمة (1.1) فهي:

$$P_4(1.1) = 0.89095 - \frac{(-0.5)(0.5)(1.5)}{3!} (-0.00493) + \frac{(-0.5)(0.5)(1.5)(2.5)}{4!} (0.00118)$$

$$= 0.89121$$

علماً أن القيمة الحقيقة هي 0.89121 مقرية خمسة مراتب عشرية .
مقارنة مع استخدام الصيغة التقدمية لتخمين (1.1) \sin براستة P_2 بأن نضع $x_0=0.8$

$$P_2(1.1) = 0.85928$$

اما باستخدام حدودية من الدرجة الرابعة فلا بد لنا من اختيار $x_0=0.4$ فيكون

$$P_4(1.1) = 0.98965$$

بالرغم من كل ذلك تبقى صيغة الفروقات المنتهية محدودة الاستخدام حالات النقاط الموزعة توزيعاً مسطحياً ولا تصلح لغير ذلك .

5.3 متعددة حدود لكرانج للاندراج Lagrange Polynomial Interpolation
ان سهولة صيغة الفروقات المنتهية وامكانية رفع درجة الحدودية إلى درجة أعلى دون إعادة الحسابات لم يجعلها المفضلة، فعندما تكون النقاط x_0, x_1, \dots, x_n غير موزعة بانتظام فإننا نحتاج إلى صيغة أخرى تولى المهمة.

لتكن النقاط $i = 0, 1, \dots, n$ معطية وان x_i, f_i متمايزة
عندما $i \neq j$.

مطلوب تكوين متعددة حدود من الدرجة n بالصيغة

$$P_n(x) = a_0 + a_1x + \dots + a_nx^n \quad (15)$$

وتحقيق جميع النقاط المجدولة (x_i, f_i) , $i = 0, \dots, n$.

أي أن

$$\left. \begin{array}{l} P_n(x_0) = a_0 + a_1x_0 + \dots + a_nx_0^n = f_0 \\ P_n(x_1) = a_0 + a_1x_1 + \dots + a_nx_1^n = f_1 \\ \vdots \\ P_n(x_n) = a_0 + a_1x_n + \dots + a_nx_n^n = f_n \end{array} \right\} \quad (16)$$

نكتب (16) بصيغة مصفوفات تكون

$$\begin{bmatrix} 1 & x_0 & x_0^2 & \cdots & x_0^n \\ 1 & x_1 & x_1^2 & \cdots & x_1^n \\ \vdots & \vdots & \vdots & \ddots & \vdots \\ 1 & x_n & x_n^2 & \cdots & x_n^n \end{bmatrix} \begin{bmatrix} a_0 \\ a_1 \\ \vdots \\ a_n \end{bmatrix} + \begin{bmatrix} f_0 \\ f_1 \\ \vdots \\ f_n \end{bmatrix} \quad (17)$$

ويحل المنظومة لمحدد المعاملات a_i , $i = 0, 1, \dots, n$. لأن x_i متمايزة فلن
سقفة المعاملات قابلة للانعكاس [مصفوفة فاندرموند, Vandemonde]
وللمنظومة حل وحيد.

من (16) يمكن أن نمثل a_i كتركيب خطى من \mathbb{R}^n إذ إن

$$a_0 + A_0 = f_0$$

$$a_0 + A_1 = f_1$$

\vdots

$$a_0 + A_n = f_n$$

$$a_0 = \sum_{i=0}^n \tilde{A}_i f_i$$

\therefore

كذلك بالنسبة لـ a_1 حيث

$$a_1 + B_0 = f_0$$

$$a_1 + B_1 = f_1$$

⋮

$$a_1 + B_n = f_n$$

$$a_1 = \sum_{i=0}^n \tilde{B}_i f_i$$

⋮

وهكذا حتى a_n حيث

$$a_n = \sum_{i=0}^n \tilde{Z}_i f_i$$

وبالعادة كتابة الحدودية P_n بدلالة الصور الجديدة لـ a_i تصبح

$$P_n(x) = \sum_{i=0}^n \tilde{A}_i f_i + x \sum_{i=0}^n \tilde{B}_i f_i + x^2 \sum_{i=0}^n \tilde{C}_i f_i + \dots + x^n \sum_{i=0}^n \tilde{Z}_i f_i$$

ويتجمع معاملات f_i تصبح $i=0, 1, \dots, n$

$$\left. \begin{aligned} P_n(x) &= (\tilde{A}_0 + x\tilde{B}_0 + x^2\tilde{C}_0 + \dots + x^n\tilde{Z}_0) f_0 \\ &+ (\tilde{A}_1 + x\tilde{B}_1 + \dots + x^n\tilde{Z}_1) f_1 \\ &+ \dots \\ &+ (\tilde{A}_n + x\tilde{B}_n + \dots + x^n\tilde{Z}_n) f_n \end{aligned} \right\} \quad (18)$$

أن كل قوس من الأقواس في (18) هو عبارة عن حدودية من الدرجة n .

لتكن

$$\ell_j(x) = \tilde{A}_j + x\tilde{B}_j + \dots + x^n\tilde{Z}_j \quad (19)$$

فإن

$$P_n(x) = \ell_0(x)f_0 + \ell_1(x)f_1 + \dots + \ell_n(x)f_n \quad (20)$$

ان هذه الصيغة لا بد أنها تحقق النقاط المجدولة ولذا فإن

$$P_n(x_0) = \ell_0(x)f_0 = f_0$$

وذلك يجعل $\ell_0(x_0) = 1$ وأن $\ell_j(x_0) = 0$ لـ $j \neq 0$
أما عند x_1 فإن

$$P_n(x_1) = \ell_1(x_1)f_1 = f_1$$

أي أن $\ell_1(x_1) = 1$ وإن $\ell_j(x_1) = 0$ لـ $j \neq 1$
وهكذا حتى x_n حيث

$$P_n(x_n) = \ell_n(x_n)f_n = f_n$$

فإن $\ell_j(x_n) = 0$ وإن $\ell_n(x_n) = 1$ ، لـ $j \neq n$. واضح أن ℓ طا الخاصة
الآتية:

$$\ell_j(x_i) = \begin{cases} 1 & i=j \\ 0 & i \neq j \end{cases}$$

وحيث أن ℓ هي حدودية من الدرجة n فيمكن كتابتها بدلالة جذورها، أي

$$\ell_j(x) = A(x - x_0)(x - x_1) \cdots (x - x_{j-1})(x - x_{j+1}) \cdots (x - x_n) \quad (21)$$

حيث A هي عدد ثابت.

واضح أن $\ell_j(x_i) = 0$ لـ $x_i \neq x_j$.

ولكي تكون $\ell_j(x_i) = 1$ فإن الثابت A لابد أن يكون بالصورة

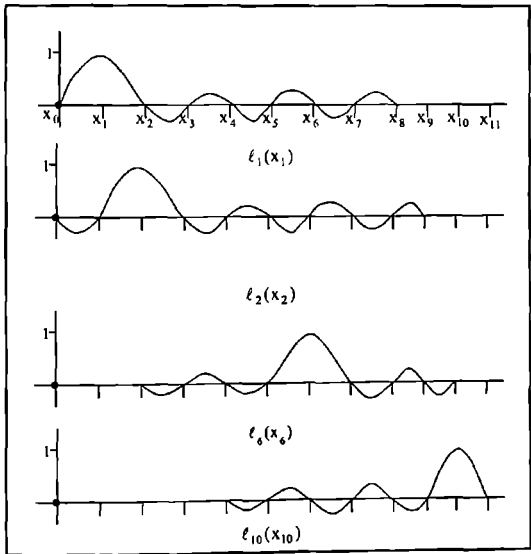
$$A = \frac{1}{(x_j - x_0)(x_j - x_1) \cdots (x_j - x_{j-1})(x_j - x_{j+1}) \cdots (x_j - x_n)}$$

لذا نصبح صيغة $(x)_j \ell$ بالصورة

$$\ell_j(x) = \frac{1}{\prod_{\substack{i=0 \\ i \neq j}}^n (x_j - x_i)} \quad (22)$$

وبهذا نصبح (20)

$$\begin{aligned}
 P_n(x) &= \sum_{j=0}^n \ell_j(x) f_j \\
 &= \sum_{j=0}^n f_j \frac{\pi}{\prod_{\substack{i=0 \\ i \neq j}}^{n-1} (x_j - x_i)}
 \end{aligned} \tag{23}$$



شكل (5.22)
مخطط بين مواقع اصفار حدودهات لكرانج (x)

مثال (3):

نحوه الدالة $f(x) = \frac{1}{x}$ باستخدام حدودية من الدرجة الثالثة غير بالنقاط $(1,1)$ ، $(2,0.5)$ ، $(4,0.25)$ ، $(5,0.2)$. ثم حزن قيمة $f(3)$

الحل: نكون الجدول

i:	0	1	2	3
x:	1	2	4	5
f(x):	1	$\frac{1}{2}$	$\frac{1}{4}$	$\frac{1}{5}$

الشكل العام للحدودية

$$P_3(x) = \ell_0(x)f_0 + \ell_1(x)f_1 + \ell_2(x)f_2 + \ell_3(x)f_3$$

حيث

$$\ell_0(x) = \frac{(x - x_0)(x - x_1)(x - x_3)}{(x_0 - x_1)(x_0 - x_2)(x_0 - x_3)} = \frac{(x - 2)(x - 4)(x - 5)}{(1 - 2)(1 - 4)(1 - 5)} = \frac{1}{12}(x^3 - 11x^2 + 38x - 40)$$

$$\ell_1(x) = \frac{(x - x_0)(x - x_2)(x - x_3)}{(x_1 - x_0)(x_1 - x_2)(x_1 - x_3)} = \frac{1}{6}(x^3 - 10x^2 + 29x - 20)$$

$$\ell_2(x) = \frac{(x - x_0)(x - x_1)(x - x_3)}{(x_2 - x_0)(x_2 - x_1)(x_2 - x_3)} = \frac{-1}{6}(x^3 - 8x^2 + 17x - 10)$$

$$\ell_3(x) = \frac{(x - x_0)(x - x_1)(x - x_2)}{(x_3 - x_0)(x_3 - x_1)(x_3 - x_2)} = \frac{1}{12}(x^3 - 7x^2 + 14x - 8)$$

وبالتعریف عن قيم f و ℓ في $P_3(x)$ يتج

$$P_3(x) = -0.025x^3 + 0.3x^2 - 1.225x + 1.95$$

وعند $x=3$ نحصل على:

$$P_3(3) = 0.3$$

$$\text{علمًا أن القيمة الحقيقة } f(3) = \frac{1}{3} = 0.3333$$

لو اردنا أن نحسن من القيمة التخمينية بأن نضيف نقطة أخرى للجدول مثل (6,0.1667) كنقطة خامسة في الجدول فإننا تكون حدودية من الدرجة الرابعة:

$$P_4(x) = \ell_0 f_0 + \ell_1 f_1 + \ell_2 f_2 + \ell_3 f_3 + \ell_4 f_4$$

حيث:

$$\ell_4(x) = \frac{(x-x_1)(x-x_2)(x-x_3)(x-x_4)}{(x_0-x_1)(x_0-x_2)(x_0-x_3)(x_0-x_4)} = \frac{(x-2)(x-4)(x-5)(x-6)}{(1-2)(1-4)(1-5)(1-6)}$$

وكذلك بقية الحدوديات كل واحد منهم أصبح من الدرجة الرابعة وبالتالي لابد من إعادة حساب قيمها من جديد، ثم إضافة المد الجديد. هذا مالم يحدث في الفروقات المنتهية كما ولابد أنك لاحظت عدد العمليات الحسابية الكبير الذي يتطلب كتابة حدودية من الدرجة الثالثة وما يضاف إليها من عمليات عند رفعها إلى الدرجة الرابعة.

خوارزمية لكرانج (تخمين قيمة الدالة f عند نقطة x)

$$i=1, \dots, N+1, (x_i, f_i), N$$

1. المدخلات

$$f = 0$$

.2

$$I = 1, \dots, N+1$$

$$t=1$$

$$j = 1, \dots, N+1$$

إذا كان $j \neq i$

$$t = t * \left(\frac{x - x_i}{x_j - x_i} \right)$$

$$f = f + t * f_i$$

$$f$$

3. المخرجات

5.4 مقدار الخطأ في متعددة الحدود Error Estimation

عندما قمنا بتقريب جدولًا من قيم الدالة المتعددة حدود فأننا مررنا هذه الخطودية بهذه النقاط. ذلك يعني أن الخطودية تحقق الدالة عند هذه النقاط بدون خطأ

$$|f(x_i) - P(x_i)| = 0, i=0, 1, \dots, n$$

لكن ذلك لا يلغى الخطأ في نقاط أخرى عدا النقاط المجدولة وذلك واضح من نظرية 5.1

نظرية (5.1):

إذا كانت x_0, x_1, \dots, x_n = نقاط متباينة موزعة في الفترة $[a, b]$ وأن

$f \in C^{n+1} [a, b]$ فإن لكل $x \in [a, b]$ يوجد عدد ξ في (a, b) بحيث

$$f(x) = P(x) + \frac{f^{(n+1)}(\xi)}{(n+1)!} (x - x_0)(x - x_1) \cdots (x - x_n) \quad (24)$$

حيث P هي متعددة الحدود المعطاة في (23).

قبل اثبات هذه النظرية نذكر نظرية رول العامة.

نظرية رول (5.2):

لتكن f معرفة على الفترة $[a, b]$ وقابلة للاشتقاق n من المرات في الفترة (a, b) . إذا تلاشت f في $n+1$ من النقاط المتباينة x_0, x_1, \dots, x_n في $[a, b]$ فإنه يوجد عدد c في $[a, b]$ بحيث $f^{(n)}(c) = 0$

برهان نظرية (5.1)

عندما تكون $x_k = x_k$ ، $k=0, 1, \dots, n$

$$\text{فإن } f(x_k) = P(x_k)$$

وهذه تتحقق (24) لأن $f(x)$ في (a, b) . وإذا كانت $x \neq x_k$ لاي x في $[a, b]$ نعرف دالة g على $[a, b]$ كما يلي:

$$g(t) = f(t) - p(t) - [f(x) - P(x)] \frac{(t - x_0)(t - x_1) \cdots (t - x_n)}{(x - x_0)(x - x_1) \cdots (x - x_n)}$$

وعما ان $P \in C^\infty[a, b]$ وان $x_k \neq x_i$ لكل k فذلك يعني
 $. g \in C^{n+1}[a, b]$

فبوضع $t = x_k$ يتتج أن

$$g(x_k) = f(x_k) - P(x_k) - [f(x) - P(x)] \sum_{j=0}^n \frac{(x_k - x_j)}{(x - x_j)} = 0$$

وعندما $x = t$ فيتتج إلى

$$g(x) = f(x) - P(x) - [f(x) - P(x)] \sum_{j=0}^n \frac{(x - x_j)}{(x - x_j)} = 0$$

\therefore فإن g تتلاشى في $n+2$ من النقاط المتمايزه وهي x, x_0, x_1, \dots, x_n

وبتطبيق نظرية رول العامة يوجد عدد $(x) = \xi$ في (a, b) حيث 0 وأن

$$g^{(n+1)}(\xi) = f^{(n+1)}(\xi) + P^{(n+1)}(\xi) - [f(x) - P(x)] \left. \frac{d^{n+1}}{dt^{n+1}} \left(\sum_{j=0}^n \frac{(t - x_j)}{(x - x_j)} \right) \right|_{t=\xi} \quad (25)$$

وحيث أن P حدودية من الدرجة n فإن $0 = P^{(n+1)}(\xi)$
 وحيث أن

$$\sum_{j=0}^n \frac{(t - x_j)}{(x - x_j)}$$

هي حدودية من الدرجة $n+1$ فإن

$$\left. \frac{d^{n+1}}{dt^{n+1}} \left(\sum_{j=0}^n \frac{(t - x_j)}{(x - x_j)} \right) \right|_{t=\xi} = \frac{(n+1)!}{\sum_{j=0}^n (x - x_j)}$$

\therefore تصح (25)

$$0 = f^{(n+1)}(\xi) - [f(x) - P(x)] \frac{(n+1)!}{\pi \prod_{j=0}^n (x - x_j)}$$

من فوائد هذه النظرية ما يطرح في الأمثلة الآتية:

مثال (4):

حدد درجة الدقة التي يمكن أن تمحب بها $\sqrt{17}$ باستخدام حدودية لكرانج لتقرير الدالة $f(x) = \sqrt{x}$ والتي تمر بالنقاط $x_0=14$, $x_1=16$, $x_2=19$, $x_3=25$.

الحل:

لدينا أربع نقاط \therefore أعلى درجة للحدودية هي الثالثة.
إن مقدار الخطأ في الصيغة (24) هو الذي يحدد دقة التقرير لهذا فإن

$$f(x) - P_3(x) = \frac{f^{(4)}(\xi)}{4!} \prod_{j=0}^3 (x - x_j)$$

يعني

$$|f(x) - P_3(x)| < \frac{1}{4!} \max_{14 \leq \xi \leq 25} |f^{(4)}(\xi)| |(x-14)(x-16)(x-19)(x-25)|$$

و بما أن x المطلوبة هي 17

$$f(x) = \frac{-15}{16} x^{-\frac{1}{2}}$$

وأن

$$|f(x) - P_3(x)| \leq \frac{1}{24} \left| \frac{-15}{16} \right| \left| \frac{1}{14^{1/2}} \right| |(17-14)(17-16)(17-19)(17-25)| \\ \leq 0.000183$$

ذلك يعني أننا نستطيع الحصول على ثلات مراتب عشرية صحيحة في تحمين قيمة $\sqrt{17}$ باستخدام الحدودية ضمن الشروط أعلاه.

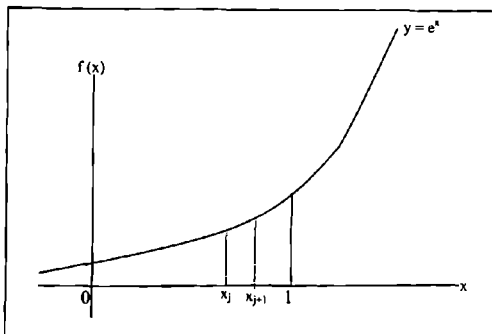
مثال (5):

على فرض اردانا تكون جدولأ لقيم الدالة $f(x) = e^x$ في الفترة $[0,1]$. فما هو طول الفترة h بين كل نقطتين في الجدول، إذا اردانا استخدام حدودية خطية، لكي نحصل على خطأ لا يتجاوز 10^{-6}

الحل:

نأخذ أية فترة جزئية $[x_j, x_{j+1}]$ كنموذج. لاي $x \in [x_j, x_{j+1}]$ يكون $x \in [0,1]$ وأن

$$\begin{aligned} |f(x) - P(x)| &= \left| \frac{f^{(2)}(\xi(x))}{2!} (x - x_j)(x - x_{j+1}) \right| \\ &= \left| \frac{f^{(2)}(t(x))}{2!} (x - x_j)(x - x_{j+1}) \right| \end{aligned}$$



شكل (5.3)

وحيث أن $|h|$ يمثل طول الفترة بين كل نقطتين فأن، $x_j = jh$, $x_{j+1} = (j+1)h$ ولذ

فإن

$$|f(x) - P_3(x)| = \left| \frac{f^{(2)}(\xi(x))}{2!} \right| |(x - jh)(x - (j+1)h)|$$

$$\begin{aligned} |f(x) - P_3(x)| &< \frac{1}{2!} \max_{t \in [0,1]} |f^{(2)}(t)| \max_{x_j \leq x \leq x_{j+1}} |(x - jh)(x - (j+1)h)| \\ &= \frac{1}{2} \max_{0 \leq t \leq 1} e^t \max_{x_j \leq x \leq x_{j+1}} |(x - jh)(x - (j+1)h)| \end{aligned}$$

ويفرض أن

$$g(x) = (x - jh)(x - (j+1)h)$$

حيث $jh \leq x \leq (j+1)h$

وبتطبيق خطوات إيجاد القيم التصعى على الدالة $g(x)$ نجد أن

$$\max_{x_j \leq x \leq x_{j+1}} |g(x)| = \left| g\left(j + \frac{1}{2}h\right) \right| = \left| \frac{-1}{4} h^2 \right| = \frac{h^2}{4}$$

..
يكون

$$|f(x) - P_3(x)| \leq \frac{eh^2}{8}$$

ولكي يكون مقدار الخطأ لا يتجاوز 10^{-6} فإن

$$\frac{eh^2}{8} \leq 10^{-6}$$

او

$$h^2 \leq \frac{8 \times 10^{-6}}{e}$$

$$h < 0.00172$$

..
.

لذا يكون الاختبار الأنسب لـ h هو $h = 0.001$

لابد لنا الان أن نذكر أن الصيغة (24) تتطبق على حدودية نيوتن للفروقات المتباعدة، وللاستفادة من أن النقاط المجدولة في هذه الحالة تكون منتظمة التوزيع أي:

$$x_1 = x_0 + h, \quad x_2 = x_0 + 2h, \dots, x_i = x_0 + ih$$

نضع

$$(x - x_0) = mh, \quad (x - x_1) = mh - h = (m-1)h, \quad (x - x_2) = mh - 2h = (m-2)h$$

بهذا نكتب الصيغة (24) بدلالة

$$f(x) - P(x) = \frac{m(m-1)(m-2)\cdots(m-n)h^{n+1} f^{(n+1)}(\xi(x))}{(n+1)!}$$

$$= \binom{m}{n+1} h^{n+1} f^{(n+1)}(\xi(x)) \quad , \quad x_0 < \xi(x) < x_n \quad (27)$$

5 الاندراج التكراري والفروقات المقسمة (النسبية)

Iterated Interpolation and The Divided Differences

ذكرنا سابقاً أن من نقاط الضعف في حدودية لكرانج هو صعوبة إضافة نقطة جديدة للجدول لغرض رفع درجة المحدودية إلى درجة أعلى، ذلك لما يتطلب من إعادة كل الحسابات أي لا يمكن الاستفادة من P_{n+1} لإيجاد P_{n+1} . هذه الصعوبة يمكن أن تزيلها باستخدام ما يسمى بالاندراج التكراري (Iterated Interpolation).

لتكن f دالة معروفة على النقاط x_0, x_1, \dots, x_m ولكن x_0, x_1, \dots, x_m اعداد صحيحة متباينة حيث $0 \leq m \leq n$ لكل i . لنرم حدودية لكرانج من الدرجة أقل من k والتي تتفق مع f بالنقاط $x_{m1}, x_{m2}, \dots, x_{mk}$ بالرمز

فنتلاً للدالة $f(x) = x^3$ وعندما $x_0 = 1, x_1 = 3, x_2 = 4, x_3 = 6, x_4 = 8$ فإن $P_{1,2,4}$ هي المحدودية التي تتفق مع f عند النقاط 3 أي $x_4 = 8, x_2 = 4, x_1 = 3$

$$P_{1,2,4} = \frac{(x-4)(x-8)}{(3-4)(3-8)} (27) + \frac{(x-3)(x-8)}{(4-3)(4-8)} (64) + \frac{(x-3)(x-4)}{(8-3)(8-4)} (512)$$

نظريه (5.3):

لتكن \mathbb{P} معرفة عند النقاط x_0, x_1, \dots, x_k وأن، x_i, x_j نقطتان مختلفتان في المجموعة، إذا كان

$$P(x) = \frac{(x - x_i)P(x)_{0,1,\dots,j-1,j+1,\dots,k} - (x - x_j)P(x)_{0,1,\dots,i-1,i+1,\dots,k}}{(x_i - x_j)} \quad (28)$$

فإن \mathbb{P} هي متعددة حدود لكرانج من الدرجة أقل من أو تساوي k والتي تتفق مع \mathbb{P} من النقاط x_0, x_1, \dots, x_k البرهان: انظر [7] ص 94

فإذا كانت هناك خمس نقاط $(x_4, f_4), (x_3, f_3), (x_2, f_2), (x_1, f_1), (x_0, f_0)$ نجد أولاً الحدوديات الخطية $P_{3,4}, P_{2,3}, P_{1,2}, P_{0,1}$. (شكل (5.4)).

حيث:

$$i = 0, 1, 2, 3, \quad , \quad P_{i,i+1}^{(1)} = \frac{(x - x_i)P_{i+1}^{(1)} - (x - x_{i+1})P_i^{(1)}}{x_{i+1} - x_i} \quad (29)$$

ثم نجد الحدوديات من الدرجة الثانية $P_{2,3,4}, P_{1,2,3}, P_{0,1,2}$ (شكل (5.5)).

حيث

$$i = 1, 2, 3, \quad , \quad P_{i,i+1,i+2}^{(2)} = \frac{(x - x_i)P_{i+1,i+2}^{(2)} - (x - x_{i+2})P_{i,i+1}^{(2)}}{x_{i+2} - x_i} \quad (30)$$

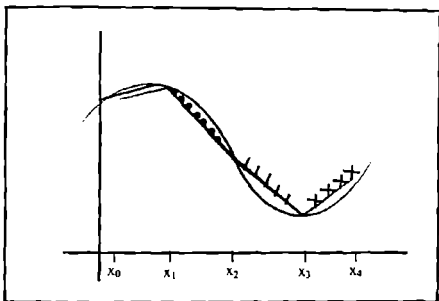
ومنها نجد الحدوديات من الدرجة الثالثة، (شكل (6.65)).

حيث

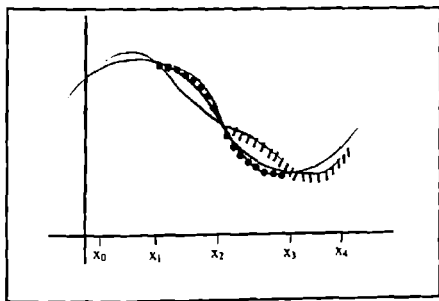
$$i = 0, 1, \quad , \quad P_{i,i+1,i+2,i+3}^{(3)} = \frac{(x - x_{i+3})P_{i,i+1,i+2}^{(3)} - (x - x_i)P_{i+1,i+2,i+3}^{(3)}}{x_{i+3} - x_i} \quad (31)$$

وأخيراً نحصل على الحدودية من الدرجة الرابعة (شكل (7.75)) حيث

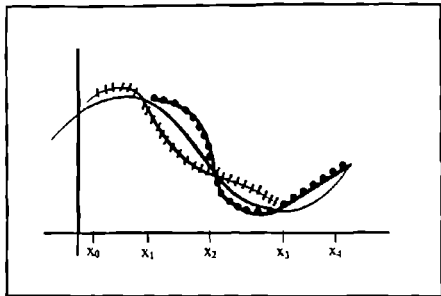
$$P_{0,1,2,3,4}^{(4)} = \frac{(x - x_4)P_{0,1,2,3}^{(4)} - (x - x_0)P_{1,2,3,4}^{(4)}}{x_4 - x_0} \quad (32)$$



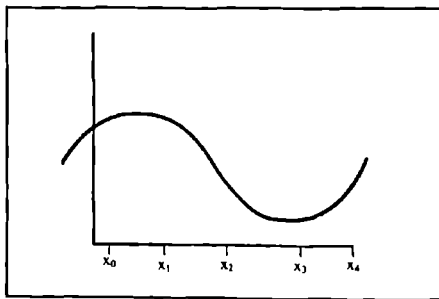
شكل (5.4)



شكل (5.5)



شكل (5.6)



شكل (5.7)

والجدول (5) يوضح هذه المراحل

جدول (5)

نقطة \ درجة المحدودية	0	1	2	3	4
x_0	P_0				
x_1	P_1	P_{01}			
x_2	P_2	P_{12}	P_{012}		
x_3	P_3	P_{23}	P_{123}	P_{0123}	
x_4	P_4	P_{34}	P_{234}	P_{1234}	P_{01234}

وفي حالة عدم الرضا من دقة المحدودية الأخيرة $P_{0,1,2,3,4}$ فإننا قد نضيف نقطة جديدة (x_5, f_5) وهذا يتطلب فقط إيجاد

$$P_{0,1,2,3,4,5}, P_{1,2,3,4,5}, P_{2,3,4,5}, P_{3,4,5}$$

وذلك باستخدام الصيغة (28) أي أن يضاف سطر آخر للجدول (5) وبنفس الترتيب.

الآن ننتقل إلى تقنية أخرى من تقنيات الاندراج إلا وهي صيغة الفروقات المقسمة (النسبية). نعرف الفرق النسبي بين نقطتين $(x_0, f_0), (x_1, f_1)$ بالصورة

$$\Delta f_0 = \frac{f_1 - f_0}{x_1 - x_0}$$

حيث Δ هو رمز الفرق النسبي.

نفرض لدينا النقاط $(x_0, f_0), (x_1, f_1), (x_2, f_2), (x_3, f_3), (x_4, f_4)$ نعرف الفرق النسبي الثاني بين x_0, x_1, x_2 على أنه

$$\Delta^2 f_0 = \frac{\Delta f_1 - \Delta f_0}{x_2 - x_0}$$

أما الفرق الثالث فهو

$$\Delta^3 f_0 = \frac{\Delta^2 f_1 - \Delta^2 f_0}{x_1 - x_0}$$

وهكذا فإن

$$\Delta^k f_0 = \frac{\Delta^{k-1} f_1 - \Delta^{k-1} f_0}{x_1 - x_0}$$

اما جدول الفروقات النسبية فيكون بنفس أسلوب جدول الفروقات المتهبة.

(جدول (6))

جدول (6)

x	f	Δ	Δ^2	Δ^3	Δ^4
x_0	f_0	$\Delta f_0 = \frac{f_1 - f_0}{x_1 - x_0}$	$\Delta^2 f_0 = \frac{\Delta f_1 - \Delta f_0}{x_2 - x_0}$	$\Delta^3 f_0 = \frac{\Delta^2 f_1 - \Delta^2 f_0}{x_3 - x_0}$	
x_1	f_1	$\Delta f_1 = \frac{f_2 - f_1}{x_2 - x_1}$	$\Delta^2 f_1 = \frac{\Delta f_2 - \Delta f_1}{x_3 - x_1}$	$\Delta^3 f_1 = \frac{\Delta^2 f_2 - \Delta^2 f_1}{x_4 - x_1}$	$\Delta^4 f_0 = \frac{\Delta^3 f_1 - \Delta^3 f_0}{x_4 - x_0}$
x_2	f_2	$\Delta f_2 = \frac{f_3 - f_2}{x_3 - x_2}$	$\Delta^2 f_2 = \frac{\Delta f_3 - \Delta f_2}{x_4 - x_2}$	$\Delta^3 f_2 = \frac{\Delta^2 f_3 - \Delta^2 f_2}{x_5 - x_2}$	$\Delta^4 f_1 = \frac{\Delta^3 f_2 - \Delta^3 f_1}{x_5 - x_1}$
x_3	f_3	$\Delta f_3 = \frac{f_4 - f_3}{x_4 - x_3}$	$\Delta^2 f_3 = \frac{\Delta f_4 - \Delta f_3}{x_5 - x_3}$	$\Delta^3 f_3 = \frac{\Delta^2 f_4 - \Delta^2 f_3}{x_5 - x_3}$	
x_4	f_4				
x_5	f_5	$\Delta f_4 = \frac{f_5 - f_4}{x_5 - x_4}$			

لاحظ أن الخواص التي ذكرت عن جدول الفروقات المتهبة تطبق على جدول الفروقات النسبية أيضاً.

هناك أكثر من رمز للفروقات النسبية منها

$$\Delta f_0 = f[x_0, x_1] = f_{01}$$

$$\Delta^2 f_0 = f[x_0, x_1, x_2] = f_{012}$$

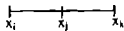
لستخدم الصورة اليمنى للفروقات النسبية (ذات الأدلة). من خواصها أن فروقات النسبة متناظرة بالنسبة لأدلتها، أي أن

$$f_{ij} = \frac{f_j - f_i}{x_j - x_i} = \frac{f_i - f_j}{x_i - x_j} = f_{ji}$$

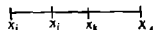


كذلك

$$f_{ijk} = \frac{f_{jk} - f_{ij}}{x_k - x_i}$$



$$f_{ijkl} = \frac{f_{jkl} - f_{ijk}}{x_l - x_i}$$



حيث يمكن اثبات أن تبديل ترتيب الأدلة لا يغير من قيمة الفرق.

لنفرض أن لدينا نقطتين x_m, x_0 فلتتخمين قيمة f_m نكتب

$$f_{0m} = \frac{f_m - f_0}{x_m - x_0}$$

...

$$f_m = f_0 + (x_m - x_0) f_{0m} \quad (33)$$

إذا كانت النقطة x_1 تقع بين x_0, x_m فإن

$$f_{0m} = \frac{f_{01} - f_{00}}{x_m - x_0}$$

...

$$f_{0m} = f_{01} + (x_m - x_1) f_{01m}$$

ومن (33) يكون:

$$f_m = f_0 + (x_m - x_0) f_{01} + (x_m - x_0) (x_m - x_1) f_{01m}$$

وبنفس الأسلوب يكون

$$f_{01m} = f_{012} + (x_m - x_2) f_{012m}$$

فيتخرج

$$f_m = f_0 + (x_m - x_0) f_{01} + (x_m - x_0) (x_m - x_1) f_{012} + (x_m - x_0) (x_m - x_1) (x_m - x_2) f_{012m}$$

هكذا حتى نتوصل للصيغة العامة

$$f_m = f_0 + (x_m - x_0)f_{01} + \dots + (x_m - x_0)(x_m - x_1) \dots (x_m - x_{n-1})f_{01\dots n} \quad (34)$$

وكون أن x_m هي أحدى نقاط الجدول لا تظهر أي فائدة من هذه الصيغة لكن يمكن أن تطبق هذه الصيغة على نقاط غير مجدولة وعندما نكتب

$$P(x) = f_0 + (x - x_0)f_{01} + \dots + (x - x_0)(x - x_1) \dots (x - x_{n-1})f_{01\dots n} \quad (35)$$

وتسمى الصيغة التقدمية للفرقـات النسبـية.

حان الوقت لمقارنـ بين الصيـغـةـ (35)ـ والصـيـغـةـ (28)،ـ فـعـندـمـاـ $n=1$ ـ لمـحـلـ عـلـىـ

$$\begin{aligned} P_1(x) &= f_0 + (x - x_0)f_{01} \\ &= f_0 + (x - x_0) \frac{f_1 - f_0}{x_1 - x_0} \\ &= \frac{(x - x_0)f_1 - (x - x_1)f_0}{x_1 - x_0} \end{aligned}$$

وهي الصـيـغـةـ 29ـ عـندـمـاـ $i=0$ ـ

وعـندـمـاـ $n=2$ ـ فإنـ

$$P_2(x) = f_0 + (x - x_0)f_{01} + (x - x_0)(x - x_1)f_{012}$$

وـهـذـهـ تـكـافـيـ الصـيـغـةـ (30)ـ عـندـمـاـ $i=1$ ـ

$$P_{012}(x) = \frac{(x - x_0)P_{12}(x) - (x - x_2)P_{01}(x)}{x_2 - x_0}$$

وهـكـذـاـ نـجـدـ أـنـ صـيـغـةـ الـانـدـرـاجـ التـكـرـارـيـ (28)ـ مـاـ هـيـ إـلـاـ صـيـغـةـ الفـرقـاتـ النـسـبـيـةـ (35)ـ

مثال (6):

لدينا البيانات التالية

$i:$	0	1	2	3
x_i	1	3	7	8
f_i	1	27	343	512

مطلوب إيجاد الخدودية التكعيبية التي تحقق هذه البيانات ومن ثم تخمين قيمة الدالة عند $x=4$.

الحل:

$$P_3(x) = f_0 + (x-x_0)f_{01} + (x-x_0)(x-x_1)f_{012} + (x-x_0)(x-x_1)(x-x_2)f_{0123}$$

لذا نحتاج أن تكون جدول الفروقات النسبية

$i:$	x_i	f_i	Δ	Δ^2	Δ^3
0	1	1			
1	3	27	13	11	
2	7	343	79	18	1
3	8	512	169		

فإن

$$P_3(x) = 1 + (x-1)(13) + (x-1)(4-3)11 + (x-1)(x-3)(x-7)1 \\ = x^3$$

$$P_3(4)=64$$

...

هذا باستخدام الفروقات النسبية، أما باستخدام الأندراج التكراري على حدوديات لاكرانج فإن

$$P_{01}(x) = \frac{(x - x_0)P_1(x) - (x - x_1)P_0(x)}{(x_1 - x_0)}$$

$$P_{12}(x) = \frac{(x - x_1)P_2(x) - (x - x_2)P_1(x)}{(x_2 - x_1)}$$

$$P_{23}(x) = \frac{(x - x_2)P_3(x) - (x - x_3)P_2(x)}{(x_3 - x_2)}$$

ثم

$$P_{012}(x) = \frac{(x - x_0)P_{12}(x) - (x - x_1)P_{01}(x)}{(x_2 - x_0)}$$

$$P_{123}(x) = \frac{(x - x_1)P_{23}(x) - (x - x_3)P_{12}(x)}{(x_3 - x_1)}$$

ثم

$$P_{0123}(x) = \frac{(x - x_0)P_{123}(x) - (x - x_1)P_{012}(x)}{(x_3 - x_0)}$$

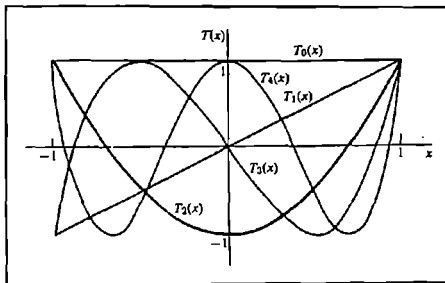
$$\text{والأخرية تعطي } P_{0123}(x) = x^3$$

من المزايا الجيدة للفروقات النسبية هي أن ترتيب النقاط غير مهم ولا يغير من الأمر شيئاً ولذا فعند إضافة نقطة جديدة للجدول بغض النظر عن موقعها القيمي فإنها توضع في نهاية الجدول، وتجرى الحسابات بصورة صحيحة، كما أنها لا تحتاج لإعادة الحسابات من جديد في حالة إضافة نقطة جديدة كما هو واضح من الصيغة (35).

5.6 الحدوبيات القطعية Piecewise Polynomials

من موارى التقرير متعددات الحدود هو أنه عندما يكون عدد النقاط كبير نظر إلى استخدام حدوديات من درجات علها وهذا يؤدي إلى أن تكون الحدوبية عالية التردد وبالتالي تكون غير مستقرة أي أن تغير بسيط في أحدى قيم البيانات يتسبب في خطأ كبير. في الشكل 5.8 صورة لمتعددات حدود تشيسف (Chebyshev) تبين حالة التذبذب في الدرجات العليا حيث T_0, T_1, T_2, T_3, T_4 مثل حدوديات من

الدرجات صفر، 1، 2، 3، 4 على التوالي، لنفرض أننا أردنا تقريب الدالة التالية بمقدار مرت� من درجة 2 ثم 3 ثم 6 ثم 8 وعلى الفترة $-1 \leq x \leq 1$



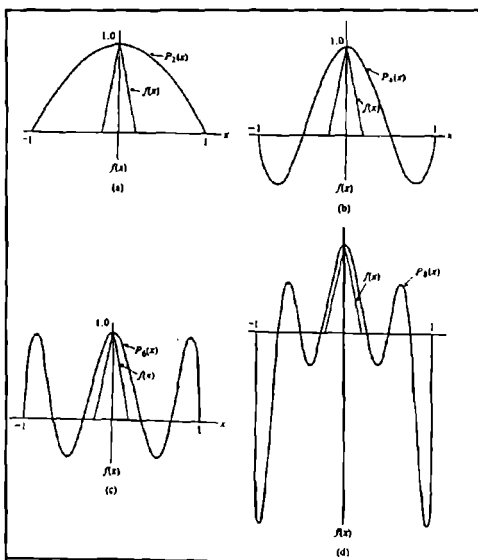
شكل (5.8)

$$\begin{aligned} f(x) &= 0 & -1 \leq x \leq -0.2 \\ f(x) &= 5|x| & -0.2 \leq x \leq 0.2 \\ f(x) &= 0 & 0.2 \leq x \leq 1 \end{aligned}$$

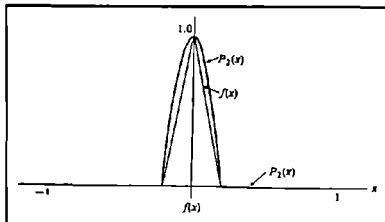
بتطبيق احدى طرق الاندراج السابقة نرى النتائج في الشكل (5.9). ان التذبذب الكبير في حدوديات الدرجات العليا والذي سببه هو القفزة عند $x=0$. والذى يحدث خارج النقطة صفر هو سبب التردد فى استخدام حدوديات عالية الدرجة لهذا النوع من الدوال الى تعانى من تغيرات مفاجئة.

من الحلول المقترحة لمعالجة هذه المشكلة هو استعمال عدة حدوديات من درجة دلها (تربيعية مثلاً). وكما موضح في الشكل (5.10) فإن هذا الأسلوب تغلب على المشكلة. أن مساوى هذه الطريقة هو أن الميل غير متصل عند نقاط التقائه الحدوديات في الشكل (5.10) رغم أن الحدوديات المستخدمة على الفترات $(-1, -0.2)$ ،

$(-0.2, 0.2)$ متصلاً عند النقاط -0.2 و 0.2 إلا أن المشتقة الأولى غير ، وهذا ما لا يستحب عند تقرير دالة، ملساء خاصة.



شكل (5.9)



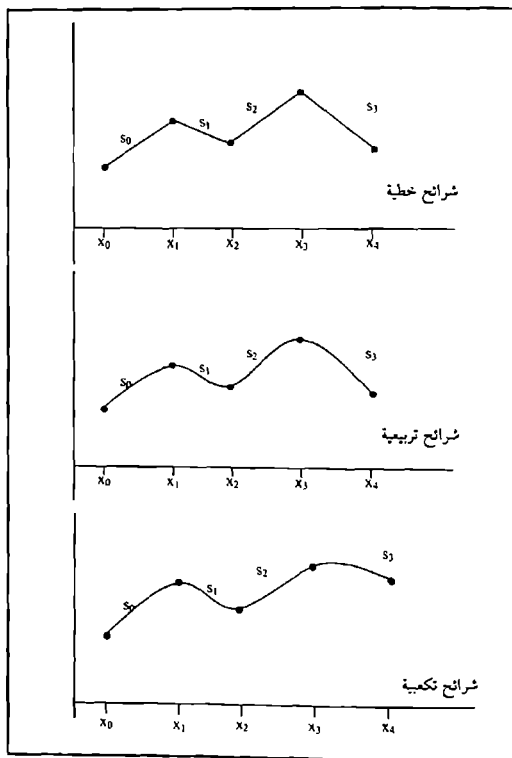
شكل (5.10)

ذلك يلاحظ في المثال (5) حيث استخدمنا حدودية خطية بين كل نقطتين للحصول على تقرير عالي الدقة للدالة $f(x)$ هذا النوع من التقرير يسمى الاستكمال المتقطع متعددات الحدود أو الاستكمال القطعي (Piecewise Polynomial).

هنا لا بد أن نذكر أن هناك نوع من متعددات الحدود التي تتفق مع الدالة ليس فقط بقيم الدالة بل وبالمشتقة الأولى للدالة عند النقاط المعتادة وهي حدودية هيرميت (Hermite). هذه الحدودية تحقق اتصال المشتقة الأولى، إلا أن توفر معلومات عن المشتقة الأولى للدالة ليس دائماً متوفراً، لذلك سننجراء إلى الشراح.

Splines 5.7 الشرائح

هي متعددات حدود من نفس الدرجة تقرب الدالة في فترات جزئية كل حدودية تقرب فترات جزئية وتسمى شريحة (Spline).



شكل (5.11)

شكل (5.11) يبين ثلاثة أنواع من الشرائح خطية، تربيعية، تكعيبية، الشي الجديد في هذه الشريحة هو انها عندما تكون متصلة من الدرجة ٢ فإنها متصلة في نقاط التقائه كل شريحتين وكذلك المنشقات حتى الرتبة ١ تكون متصلة عند تلك النقاط. وهذا ما يعطيها المرونة العالية للتقريب، فالشريحة التربيعية تتمتع بمشتقة أول متصلة والشريحة التكعيبية تتمتع بمشتقات متصلة من الرتبة الأولى والثانية وهكذا.

مع أن هناك عدة أنواع من الشرائح إلا أنها سترتكز على الشريحة التكعيبية **Cubic Splines** ذلك لأهميتها التطبيقية.

تعريف 1: لتكن f دالة معرفة على الفترة $[a, b]$ ولتكن هناك مجموعة من النقاط $x_0 < x_1 < \dots < x_{n-1} < x_n = b$. شريحة الاندراجه التكعيبية S التي تقارب الدالة f هي دالة تحقق الشروط الآتية.

أ: أن S متعددة حدود تكعيبية، يرمز لها S في الفترة $[x_j, x_{j+1}]$ الكل $j = 0, 1, \dots, n-1$

$$\text{ب: } S(x_j) = f(x_j), \quad \text{لكل } j = 0, 1, \dots, n$$

$$\text{ج: } S_{j+1}(x_{j+1}) = S_j(x_{j+1}), \quad \text{لكل } j = 0, 1, \dots, n-2$$

$$\text{د: } S'_{j+1}(x_{j+1}) = S'_j(x_{j+1}), \quad \text{لكل } j = 0, 1, \dots, n-2$$

$$\text{هـ: } S''_{j+1}(x_{j+1}) = S''_j(x_{j+1}), \quad \text{لكل } j = 0, 1, \dots, n-2$$

و: واحدة فقط من الشروط الخالية تتحقق

$$S''(x_0) = S''(x_n) = 0 \quad (\text{شروط حرمة}).$$

$$\text{أ. 2. } S'(x_0) = f'(x_0), \quad S'(x_n) = f'(x_n) \quad (\text{شروط ملزمة}).$$

يطلق اسم الشريحة الطبيعية (Natural Spline) في حالة استخدام الشروط الحرمة.

يرمز عادة للمشتقة الثانية للشريحة بـ M_j ، $M_j = (j=0, 1, \dots, n)$ فعلى الفترة $[x_j, x_{j+1}]$ تكون المشتقة الثانية خطية ولذا فإن

$$S''_j(x) = M_j \frac{x_{j+1} - x}{h_j} + M_{j-1} \frac{x - x_j}{h_j} \quad (36)$$

حيث $j=0,1,\dots,n-1$ ، $h_j = x_{j+1} - x_j$

وبالتكاملة مرتين، وإيجاد ثوابت التكامل نستخرج المعادلتين

$$S_i(x) = M_i \frac{(x_{j+1} - x)^3}{6h_j} + M_{j+1} \frac{(x - x_j)^3}{6h_j} + (y_j - \frac{M_j h_j^2}{6}) \frac{x_{j+1} - x}{h_j} \\ + (y_{j+1} - \frac{M_{j+1} h_j^2}{6}) \frac{x - x_j}{h_j} \quad (37)$$

ان المعادلة (37) تحقق الشروط أ و ب و ج و د في تعريف ١.

وباستخدام بقية الشروط لمحصل على $n+1$ من المعادلات في الجداول ،

فإذا فاضلنا S_i في المعادلة (37) بالنسبة إلى x لمحصل على

$$S'_j(x) = \frac{-M_j}{2h_j}(x_j + x)^2 + \frac{M_{j+1}}{2h_j}(x - x_j)^2 - (\frac{y_j}{h_j} - \frac{h_j M_j}{6}) \\ + (\frac{y_{j+1}}{h_j} - \frac{h_j M_{j+1}}{6}) \quad (38)$$

وبتعديل الدليل ز بالدليل ١ - ز لمحصل على:

$$S'_{j-1} = -\frac{M_{j-1}}{2h_{j-1}}(x_j - x)^2 + \frac{M_j}{2h_{j-1}}(x - x_{j-1})^2 \\ - (\frac{y_{j-1}}{h_{j-1}} - \frac{h_{j-1} M_{j-1}}{6}) + (\frac{y_j}{h_{j-1}} - \frac{h_{j-1} M_j}{6}) \quad (39)$$

ومن الشرط د في تعريف ١ يتبع

$$\frac{M_j h_{j-1}}{2} - \left(\frac{y_{j-1}}{h_{j-1}} - \frac{h_{j-1} M_{j-1}}{6} \right) + \left(\frac{y_j}{h_{j-1}} - \frac{h_{j-1} M_j}{6} \right) \\ = -\frac{M_j h_i}{2} - \left(\frac{y_i}{h_i} - \frac{h_i M_i}{6} \right) + \left(\frac{y_{j+1}}{h_j} - \frac{h_j M_{j+1}}{6} \right) \quad (40)$$

أو بصياغة أخرى.

$$h_{j-1} M_{j-1} + 2M_j (h_{j-1} + h_j) + h_j M_{j+1}$$

$$= 6 \left[\frac{y_{j-1}}{h_{j-1}} - y_j \left(\frac{1}{h_{j-1}} + \frac{1}{h_j} \right) + \frac{y_{j+1}}{h_j} \right] , \quad i = 1, 2, \dots, n-1 \quad (41)$$

وبهذا تكون $n-1$ من المعادلات وحيث أن عدد المجهيل M هو $n+1$ فتحاج إلى شرطين إضافيين وهذا ياتيان من الشروط الحدية المذكورة في (و) في التعريف وبذلك تصبح لدينا $n+1$ من المعادلات لإيجاد $n+1$ من المجهيل

مثال (7): [2]

بفرض أن لدينا البيانات

x_i :	0	1	3	3.5	5
y_i :	1.00000	0.54030	-0.98999	-0.93646	0.28366

مطلوب تخمين قيمة الدالة عند $x = 3.14259$

الحل:

$n=4$

$$h_3=1.5, h_2=0.5, h_1=2, h_0=1$$

باستخدام شروط حدية حرة، ومن المعادلة (41) نحصل على المنظومة

$$\begin{bmatrix} 6 & 2 & 0 \\ 2 & 5 & 0.5 \\ 0 & 0.5 & 4 \end{bmatrix} \begin{bmatrix} M_1 \\ M_2 \\ M_3 \end{bmatrix} = \begin{bmatrix} -0.30545 \\ 0.87221 \\ 0.70635 \end{bmatrix}$$

ومن المنظومة نحصل على

$$M_1 = -0.72023, M_2 = 1.24435, M_3 = 0.90398$$

ومن المعادلة (37) فإن

$$\begin{aligned} S_2(x) &= \frac{1.24435}{6(0.5)} (3.5 - x)^3 + \frac{0.90398}{6(0.5)} (x - 3)^3 \\ &+ \left(-\frac{0.98999}{0.5} - \frac{0.5(1.24435)}{6} \right) (3.5 - x) \\ &+ \left(-\frac{0.93646}{0.5} - \frac{0.5(0.90398)}{6} \right) (x - 3) \end{aligned}$$

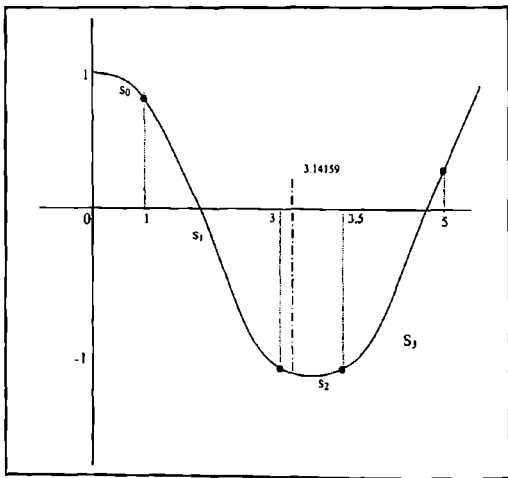
ولذا فإن

$$S_2(3.14159) = -1.00271$$

مقارنة بالقيمة الحقيقة (انظر شكل (5.12)

$$\cos(3.14159) = -1$$

من التطبيقات المهمة في الشراح هي حل المعادلات التفاضلية العادية منها والجزئية وحل المعادلات الكاملية بالإضافة إلى إيجاد المشتقات والتكميلات للدراو، المقربة، ولزيادة من التطبيقات انظر [8]



شكل (5.12)

من العلاقات المهمة في الشرائح التكعيبية عندما يكون $i=0, \dots, n-1$ متساوياً وتساوي h ما يلي:

$$y_{i-1} - 2y_i + y_{i+1} = \frac{h^2}{6} (M_{j+1} + 4M_j + M_{j-1}) \quad (42)$$

$$y_{i+1} - y_{i-1} = \frac{h}{3} (m_{j+1} + 4m_j + m_{j-1}) \quad (43)$$

حيث m ترمز للمشتقة الأولى للدالة S .

أخيراً لا بد أن نذكر بأن حدود الخطأ للشريحة التكعيبية بشرط حدبة ملزمه تعطي من النظرية الآتية:

نظرية (5.3):

لتكن $[a, b] \in C^4[a, b]$ ، وإن $M \leq |f^{(4)}(x)|_{a \leq x \leq b}$ ، إذا كان S هو الشرحعة التكعيبية الوحيدة الاندراجية لـ f بالنسبة للنقاط $x_n = b < x_{n-1} < \dots < x_1 < a$ والتي تحقق الشرط

$$\max_{a \leq x \leq b} |f(x) - S(x)| \leq \frac{5M}{384} \max_{1 \leq j \leq n-1} (x_{j+1} - x_j)$$

$$S'(b) = f'(b), S'(a) = f'(a)$$

كذلك الحال في حالة الشروط الحرة فإنها تتحقق خطأ من الرتبة الرابعة أيضاً.

5.8 التقرير بمنحنيات مناسبة Curve Fitting Approximation

في الأجزاء السابقة من هذا الفصل كنا نستخدم متعددات حدود تحقق الدالة في النقاط المعلقة في الجدول أي أن

$$f(x_i) - P_n(x_i) = 0$$

لكل النقاط المجدولة x_n, \dots, x_2, x_1

في هذا الجزء سوف يكون التقرير بحيث أنه ليس من الضروري أن يمر المنحنى ب نقاط الجدول وأيما يكون أقرب ما يمكن منها. كما أن عدد النقاط سوف لن يكون محدوداً للدرجة الحدودية المستخدمة بل أن درجة ونوع المنحنى المستخدم في التقرير يعتمد على نوع البيانات وليس على عددها. أي أنها تحدد درجة متعددة الحدود التقريرية بناءً على معلوماتنا عن الحالة قيد الدرس وال العلاقة بين المتغيرات في تلك الحالة.

من الطرق الشائعة الاستعمال في هذا المجال هي طريقة المربعات الصغرى (Least Squares) [وكما يشير الأسم فهي تدل على أقل (Least) قيمة لمربع (Square) الخطأ بين الدالة ومتعددة الحدود التقريرية].

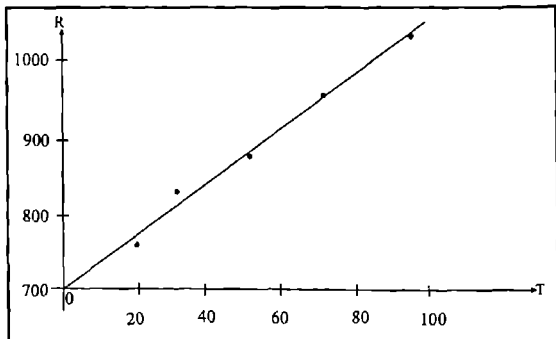
مثال 8:

بفرض أن في معمل الفيزياء سجلنا المقاومة الكهربائية (R) أمام درجة الحرارة (T) لتجربة معينة وظهر لدينا الجدول الآتي حيث T ترمز لدرجة الحرارة و R للمقاومة

جدول (7)

T	20.5	32.7	51.0	73.2	95.7
R	765	826	873	942	1032

مطلوب إيجاد صيغة رياضية تربط بين المقاومة ودرجة الحرارة لكي نتمكن من تخمين قيمة المقاومة عند آية درجة حرارة أخرى.



شكل (5.13)

من خلال الخبرة الفيزيائية وكذلك توزيع نقاط الجدول، شكل (5.13) فإن معادلة الخط المستقيم.

$$R = ax + b \quad (44)$$

يمكن أن تترجم العلاقة، على أن نستخرج قيم a و b لكي عدد أي من المستقيمات يمثل هذه العلاقة بحيث أنه يتحقق أقل مربع للخطا عند نقاط الجدول.

فلو رمزاً للقيم في التجربة a و b عند النقاط x_i وأن f_i تمثل قيمة الدالة التقريرية

$$f_i = ax_i + b \quad (45)$$

نعلم أننا نريد قيم a و b بحيث يكون $|y_i - f_i|^2$ أقل مما يمكن، لكل $i = 1, 2, \dots, n$

لتكن $e_i = y_i - f_i$ ، حيث $i = 1, 2, \dots, n$

فإن صيغة المربعات الصغرى تتطلب أن يكون

$$\delta = e_1^2 + e_2^2 + \dots + e_n^2$$

$$= \sum_{i=1}^n e_i^2$$

أو أن

$$\delta = \sum_{i=1}^n (y_i - ax_i - b)^2$$

تكون أصغر مما يمكن حيث n يمثل عدد النقاط في الجدول.

أن δ هي عبارة عن دالة ممتزجين، a و b ولإيجاد قيمتها الصغرى فإنها يجب أن تتحقق ما يلي:

$$\left. \begin{aligned} \frac{\partial \delta}{\partial a} &= 0 = \sum_{i=1}^n 2(y_i - ax_i - b)(-x_i) \\ \frac{\partial \delta}{\partial b} &= 0 = \sum_{i=1}^n 2(y_i - ax_i - b)(-1) \end{aligned} \right\} \quad (46)$$

$$\begin{aligned} a \sum_i^n x_i^2 + b \sum_i^n x_i &= \sum_i^n x_i y_i \\ a \sum_i^n x_i^2 + bn &= \sum_i^n y_i \end{aligned} \quad (47)$$

وحل (47) بالنسبة لـ a و b نحصل على

$$\left. \begin{aligned} a &= \frac{n \sum_{i=1}^n x_i y_i - \left(\sum_{i=1}^n x_i \right) \left(\sum_{i=1}^n y_i \right)}{n \sum_{i=1}^n x_i^2 - \left(\sum_{i=1}^n x_i \right)^2} \\ b &= \frac{\left(\sum_{i=1}^n x_i^2 \right) \left(\sum_{i=1}^n y_i \right) - \left(\sum_{i=1}^n x_i y_i \right) \sum_{i=1}^n x_i}{n \sum_{i=1}^n x_i^2 - \left(\sum_{i=1}^n x_i \right)^2} \end{aligned} \right\} \quad (48)$$

وبطبيق ذلك على الجدول (5.7) يكون

$$\sum_i^5 T_i = 273.1, \sum_i^5 R_i = 4438, \sum_i^5 T_i^2 = 18607.27, \sum_i^5 T_i R_i = 254932.5, n = 5$$

ومن (48) يتبع

$$b = 702.2, \quad a = 3.395$$

\therefore تكون المعادلة (44).

$$R = 3.395T + 702.2$$

يطلق اسم المعادلات القياسية على (47).

من الطبيعي أن نفك في تقرير البيانات المجدولة متعددة حدود ليست خطية بل من الدرجة n .

بفرض أن لدينا المجموعة $\{(x_i, y_i)\}_{i=0,1,\dots,m}$ وسراط تقريبها محدودية من

$$P_n(x) = \sum_{k=0}^n a_k x^k \quad \text{الدرجة } n$$

حيث $n < m$, ذلك بطريقة المربعات الصغرى. فأننا نسلك نفس الطريق ونضع

$$\begin{aligned}\delta &= \sum_{i=0}^m (y_i - P(x_i))^2 \\ &= \sum_{i=0}^m y_i^2 - 2 \sum_{i=0}^m P(x_i) y_i + \sum_{i=0}^m (P(x_i))^2 \\ &= \sum_{i=0}^m y_i^2 - 2 \sum_{i=0}^m \left(\sum_{j=0}^n a_j x_i^j \right) y_i + \sum_{i=0}^m \left(\sum_{j=0}^n a_j x_i^j \right)^2 \\ &= \sum_{i=0}^m y_i^2 - 2 \sum_{j=0}^n a_j \left(\sum_{i=0}^m y_i x_i^j \right) + \sum_{j=0}^n \sum_{k=0}^n a_j a_k \left(\sum_{i=0}^m x_i^{j+k} \right)\end{aligned}$$

ولاجل الحصول على أصغر قيمة للمقدار δ فإنه يجب أن يتحقق $0 = \frac{\partial \delta}{\partial a_j}$ لكل

$$j = 0, 1, \dots, n$$

$$\frac{\partial \delta}{\partial a_j} = -2 \sum_{i=0}^m y_i x_i^j + 2 \sum_{k=0}^n a_k \sum_{i=0}^m x_i^{j+k} = 0 \quad , \quad j = 0, 1, \dots, n \quad \therefore$$

وهذا ينتج $n+1$ من المعادلات القياسية كل منها تحتوي $n+1$ من المجهيلين هي a_0, a_1, \dots, a_n وتكون بالصورة

$$a_0 \sum_{i=1}^m x_i^0 + a_1 \sum_{i=1}^m x_i^1 + \dots + a_n \sum_{i=1}^m x_i^n = \sum_{i=1}^m y_i x_i^0$$

$$a_0 \sum_{i=1}^m x_i^1 + a_1 \sum_{i=1}^m x_i^2 + \dots + a_n \sum_{i=1}^m x_i^{n+1} = \sum_{i=1}^m y_i x_i^1$$

\vdots

$$a_0 \sum_{i=1}^m x_i^n + a_1 \sum_{i=1}^m x_i^{n+1} + \dots + a_n \sum_{i=1}^m x_i^{2n} = \sum_{i=1}^m y_i x_i^n$$

مثال (9): [7]

أوجد حدودية من الدرجة الثانية ملائمة للبيانات في جدول (8) بطريقة المربعات الصغرى

جدول (8)

i:	0	1	2	3	4
x _i :	0	0.25	0.5	0.75	1
y _i :	1.0000	1.2840	1.6487	2.1170	2.7183

الحل:

في هذا المثال نجد ان $n=2$ و $m=4$ اما المعادلات القياسية فهي

$$5a_0 + 2.5a_1 + 1.875a_2 = 8.7680$$

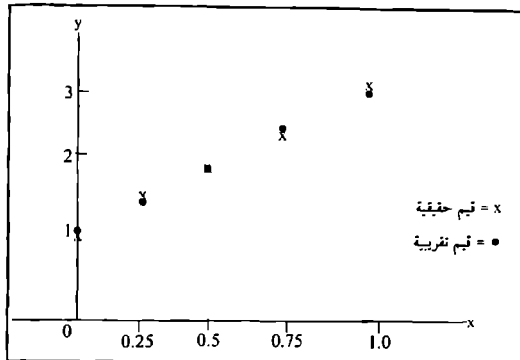
$$2.5a_0 + 1.845a_1 + 1.5625a_2 = 5.4514$$

$$1.875a_0 + 1.5625a_1 + 1.3828a_2 = 4.4015$$

بحل هذه المنظومة نحصل على $a_0=1.0052$ ، $a_1=0.8641$ ، $a_2=0.8437$ وعليه تكون الحدودية من الدرجة الثانية بالصورة.

$$P_2(x) = 1.0052 + 0.8641x + 0.8437x^2$$

الشكل (5.14) يبين صورة هذه الحدودية



شكل (5.14)

بالمقارنة بين قيم الجدول وقيم متعددة الحدود نكتشف مقدار الفرق عند كل نقطة كما في الجدول (9)

جدول (9)

i:	0	1	2	3	4
x _i :	0	0.25	0.5	0.75	1
y _i :	1.0000	1.2840	1.6487	2.1170	2.7183
P ₂ (x _i)	1.0052	1.2740	1.6482	2.1279	2.7130
y _i -P ₂ (x _i)	-0.0052	0.0100	0.0005	-0.0109	0.0053

يبين الجدول توزيع الخطأ على نقرة التقرير واضح أن الخطأ غير متجانس لأن خاصية المربعات الصغرى تتحقق في أن

$$\sum_{i=0}^4 (y_i - P_2(x_i))^2 = 2.76 \times 10^{-4}$$

وهي أقل خطأ ممكن باستخدام حدودية تربيعية
في بعض الأحيان تكون البيانات المجدولة تعبّر عن علاقة أسيّة (exponential)
أو علاقـة هندسـية (geometric) بين x , y ,

$$y = b e^{ax} \quad (49)$$

و

$$y = b x^a \quad (50)$$

ولكن لصعوبة التعامل مع هذه الدوال كونها تولد منظومات لا خطية فإننا
نحو المسألة إلى مسألة خطية باستخدام اللوغاريتمات. فللمعادلة (49) تصبح

$$\ln(y) = \ln(b) + ax \quad (51)$$

والمعادلة (50) تصبح

$$\ln(y) = \ln(b) + a \ln(x) \quad (52)$$

مثال (10):

نفرض لدينا البيانات كما في الجدول (10). القيم المجدولة تشير إلى علاقة أسيّة.
فلورسنا المخطط لقيم x ضد قيم $\ln y$ لتجـان خطـي

جدول (10)

i:	1	2	3	4	5
x _i :	1.00	1.25	1.50	1.75	2.00
y _i :	5.10	5.79	6.53	7.45	8.46

لذلك نحوال العلاقة

$$y = b e^{ax}$$

إلى العلاقة

$$\ln y = \ln b + ax$$

فيكون جدول بقيم ϵ_{ny}

جدول (11)

i:	1	2	3	4	5
ϵ_{ny_i}	1.629	1.756	1.876	2.008	2.135

وبنطبيق المعادلة (48) يتج

$$a = 0.5056$$

$$\ln b = 1.122$$

$$b = 3.071$$

$$y = 3.071 e^{0.5056x}$$

إن التعريض بقيم x المجدولة بين دقة هذه العلاقة مقارنة مع قيم y في الجدول

جدول (12)

$x_i:$	1.00	1.25	1.5	1.75	2
$y_i:$	5.10	5.79	6.53	7.45	8.46
$3.071 e^{0.5056x_i}:$	5.09	5.78	6.56	7.44	8.44

حاول تقرير الجدول بمعادلة خطية وقارن النتائج.

لا شك في أن دقة النتائج المتحصل عليها بطريقة المربعات الصغرى في تقرير بيانات مجدولة تجعلنا نفكر في تقرير دالة معلومة بنفس الطريقة (طريقة المربعات الصغرى). عندها فإننا حاول الحصول على حدودية $(x)_n P_n(x)$ تقرير الدالة $(x)_n P_n(x)$ بعض النظر فيما إذا كانت الحدودية تطبق مع الدالة في بعض النقاط أو لا، وإنما لا بد أن تتحقق أفل خطأ معرف بالصيغة

$$\int_0^b ((P_n(x) - P_n(x))^2 dx \quad (53)$$

سوف لن نخوض في هذا الموضوع لكن للاستزادة يمكن للقارئ مراجعة المصدر [7].

تمارين

1. احسب حدودية تيلر من الدرجة الرابعة حول النقطة الثابتة $x_0=3$ للدالة $f(x) = \sqrt{1+x}$. استخدم هذه الحدودية لتخمين قيمة $\sqrt{4.1}$. ما الخطأ الفعلي في هذه القيمة؟
2. جد اصغر درجة محدودية تيلر $P_n(x)$ تقارب الدالة $f(x) = \ln|x|$ حول النقطة $x_0=1$ بحيث يكون مقدار الخطأ المطلق لا يزيد على 10^{-5} وأن $(0,2) \in P_n(x)$.
3. ما عدد المحدودات (n) الالازمة لتقرير الدوال الآتية بمحدودية تيلر بحيث يكون مقدار الخطأ المطلق لا يزيد عن ± 0.00001 .
- a. $x \in (0, \frac{\pi}{2})$, $x_0 = 0$, $f(x) = \sin(x)$
- b. $x \in (0,3)$, $x_0 = 1$, $f(x) = e^x$
- c. $x \in (0,2)$, $x_0 = 0$, $f(x) = (x-1)^{\frac{1}{2}}$
4. كون جدول الفروقات للبيانات التالية:

X	1.20	1.25	1.30	1.35	1.40	1.45	1.50
$f(x)$	0.1823	0.2231	0.2624	0.3001	0.3365	0.3716	0.4055

5. في السؤال (4) ما هي الدرجة المطلوبة لمتعددة حدود تحقق بالضبط البيانات الآتية؟ ما هي درجة متعددة الحدود الأدنى التي تقريراً تتحقق البيانات؟ حفق إجابتك؟
6. كون جدولًا للفروقات حتى الفرق الرابع للبيانات الآتية

X	1	2	3	4	5	6	7	8
f(x)	0.7	0.8	1.5	3.4	7.1	13.2	22.3	35.0

بفرض انك اخطأ بكتابة $f(x)$ عند $x=4$ فكتب 4.3 بدلاً من 3.4 كيف يكون الجدول عندها؟

7. استخدم حدودية لاقرائج الاندراجه المناسبة من الدرجة الأولى، الثانية، الثالثة، الرابعة لتقرير ما يلي
أ: $f(2.5)$ حيث

X:	2.0	2.2	2.4	2.6	2.8
f(x):	0.5103757	0.5207843	0.5104147	0.4813306	0.4359160

ب: $f(0.5)$ حيث

X:	0.2	0.4	0.6	0.8	1.0
f(x):	0.9798652	0.9177710	0.8080348	0.6386093	0.3843735

8. اعد حل سؤال (7) باستخدام حدودية نيوتن التقديمة مرة والتراجعية مرة بمحيط تحصل على احسن تقرير ممكن.
9. استخدم البيانات أدناه لابدأ y عند $x=0.58$ مستخدماً حدودية تكعيبة تتفق مع الجدول في النقاط $x=0.3, 0.5, 0.7, 0.9$ بصيغة نيوتن التقديمة

X	0.1	0.3	0.5	0.7	0.9	1.1	1.3
y	0.003	0.067	0.148	0.248	0.370	0.518	0.697

10. حول الحدودية التكعيبة التي حصلت عليها في سؤال (9) إلى الصيغة العامة
 $P_3(x) = a_0 + a_1x + a_2x^2 + a_3x^3$

ما هي أقل درجة متعددة حدود تتفق مع الجدول السابق في كل من النقاط الأربع؟

11. يقال عن المؤثر α بأنه مؤثر خططي إذا حقق ما يلي:

$$\alpha(f+g) = \alpha f + \alpha g \quad .$$

بـ. $\alpha(cf) = c\alpha f$, حيث c ثابت.

بين أن كلاً من ∇ و Δ هو مؤثر خططي.

12. يقال عن مؤثرين α و β أنهما متبادلان إذا كانت النتيجة لا تتغير بغير ترتيبهما في التأثير على دالة، أي أن $(\beta\alpha)f = \beta(\alpha f)$. بين أن ∇ و Δ متبادلان.

13. إذا عرفنا D بأنه المؤثر التفاضلي، بين أن D متبادل مع ∇ و Δ .

14. استخرج قيمة e من القيم $e=1$, $e=1.1052$, $e=1.3499$, $e=1.3499$. جد المقدار الأعلى والأدنى للخطأ في القيمة المتحصلة. قارنه مع الخطأ المتفقى.

15. كرر السؤال (14) لاستكمال e .

16. استخدم الاندراجم التكراري لتقرير قيمة $\sqrt{3}$ من الدالة $f(x)=3x$ والقيم $x_0=-1$, $x_1=0$, $x_2=1$, $x_3=2$.

17. أ: استخدم الاندراجم التكراري لتقرير قيمة $P_{0,1,2}(1.03)$ من الدالة

$$f(x) = 3xe^x - e^{2x} \quad .$$

بـ: بفرض أن التقرير في (أ) غير عالي الدقة. احسب $P_{0,1,2,3}(1.04)$.

18. كون متعددة حدود الفروقات النسبية من الدرجة الرابعة للبيانات الآتية:

X:	0.0	0.1	0.3	0.6	1.0
f(x):	- 6.00000	- 5.89483	- 5.65014	- 5.17788	- 4.28172

19. بفرض أن نقطة أخرى أضيفت للجدول في السؤال (18) $-3.99583 = f(1.1)$, كون حدودية من الدرجة الخامسة.

20. برهن أنه إذا كانت x_0, x_1, x_2 نقاط مختلفة فإن

$$f[x_0, x_1, x_2] = f[x_1, x_2, x_0] = f[x_2, x_0, x_1]$$

21. أثبت أن جموع حدوديات لاكرانج $\ell(x), \ell_1(x), \ell_2(x)$ هي الوحدة، أي

$$\sum_{i=0}^n \ell_i(x) = 1$$

(تلخيص: افترض أن $f(x) = 1$)

22. الجدول الآتي يمثل الدالة $f(x) = \cos(x)$

x:	0.698	0.733	0.768	0.803
$f(x)$:	0.7661	0.7432	0.7193	0.6946

خذ قيمة $\cos(0.75)$ وقارنها مع القيمة الصحيحة، ثم أوجد تقديرأً للخطأ الناتج عن التخمين ذلك باستخدام حدودية لاكرانج.

23. استخدم الشريحة التكعيبة لإيجاد تقرير لما يلي:

: (5.3) حيث:

X:	0.5	5.2	5.4
$f(x)$:	2.168861	1.797350	1.488591

ب: (5.2) حيث:

X:	0.2	0.4	0.6	0.8	1.0
$f(x)$:	0.9798652	0.9177710	0.8080348	0.6386093	0.3843735

مرة بالشروط المرة، ومرة بالشروط الملزمة حيث:

$$(5.4) : f'(5.4) = -1.070309 \quad , f'(5.0) = -1.495067$$

$$f'(1.0) = 1.55741$$

$$f'(0.2) = 0.20271$$

24. استخدم الشرائح التكعيبية بالشروط الملزمة لتقريب الدالة $f(x) = 3xe^x - e^{2x}$ عند $x=1.03$ من البيانات

x:	1.0	1.02	1.04	1.06
f(x):	0.76578939	0.79536678	0.82268817	0.84752226

خن مقدار الخطأ بحسب نظرية (5.3) وقارنه بالخطأ الحقيقي.

25. أوجد متعددة حدود المربعات الصغرى من الدرجات 1, 2, 3, 4 للبيانات في الجدول الآتي:

x:	0	1	2	3	4	5
x _i :	0	0.15	0.31	0.5	0.6	0.75
y _i :	1.0	1.004	1.031	1.117	1.223	1.422

أي درجة تعطي أقل خطأ؟

26. من الجدول الآتي كون:

- تقريب المربعات الصغرى من الدرجة الأولى وأحسب الخطأ.
- تقريب المربعات الصغرى من الدرجة الثانية وأحسب الخطأ.
- تقريب المربعات الصغرى من الدرجة الثالثة وأحسب الخطأ
- تقريب المربعات الصغرى من الصيغة be^{ax} وأحسب الخطأ
- تقريب المربعات الصغرى من الصيغة bx^a وأحسب الخطأ حيث:

x_i	y_i
4.0	102.56
4.2	113.8
4.5	130.11
4.7	142.05
5.1	167.53
5.5	195.14
5.9	224.87
6.3	256.73
6.8	299.50
7.1	326.72

التفاضل العددي

Numerical Differentiation

مقدمة

6.1 المشتقة في حالة التوزيع غير المنتظم

6.2 المشتقة في حالة التوزيع المنتظم

6.3 صيغة الخطأ

6.4 مشتقات من رتب أعلى

6.5 صيغ أخرى للمشتقات

تمارين

الفصل السادس

التفاضل العددي

Numerical Differentiation

مقدمة Introduction

كيف يمكن أن نسير دون المرور بالتفاضل والتكامل اللذين أصبحا كاليدين والرجلين للرياضيات التطبيقية. في الحقيقة أنها المدخل الأساس لعلم المعادلات التفاضلية والتكاملية.

والسؤال الطارئ هو (كيف لنا أن نجد مشقة دالة أو تكاملها دون أن نعرف الدالة بل أن مجموعة من البيانات هي فقط ما متوفّر لدينا؟).

نعم ما تفكّر فيه صحيح. لأن نستخدم الصيغة التقريرية لهذه البيانات. إن متعددات الحدود التقريرية هذه هي أبسط الدوال من حيث التعامل معها في مجال الاشتتقاق والتكامل.

نعم لا بد من الخطأ في إيجاد قيم المشقة والتكامل إلا أن هذا الخطأ يمكن أن يكون صغيراً جداً بحيث لا يعد خسارة مقابل سرعة إلماز العملية.

نبدأ هذا الجزء بأن نفرق بين حالتين:

أ. عندما تكون النقاط المعطاة غير متساوية التوزيع.

ب. عندما تكون النقاط متساوية التوزيع.

6.1 المشقة في حالة التوزيع غير المنتظم

Non-Uniformly Distributed Nodes

إن متعددة حدود لا كرانج ستكون هي الصيغة المستخدمة لتقريب البيانات الجدولية غير المتساوية التوزيع.

$$P_n(x) = \sum_{i=0}^n f_i \prod_{\substack{j=0 \\ j \neq i}}^n \frac{x - x_j}{x_i - x_j} \quad (1)$$

وعليه لإيجاد المشقة فإننا إما أن نجري الاشتغال على الصيغة (1) مباشرةً أو أن نستخلص الصيغة العامة للحدودية.

$$P_n(x) = \sum_{i=0}^n a_i x^i \quad (2)$$

ثم نجري الاشتغال. في كلتا الحالتين فإننا نحصل على حدودية من الدرجة $(n-1)$ وتكون صيغة المشقة.

$$P'_n(x) = \sum_{i=0}^n i a_i x^{i-1}$$

مثال (1): جد المشقة للبيانات في الجدول المرفق عند النقطة $x = 3$.
الجدول (6)

x	1	2	4
$f(x)$	-2	8	112

الحل:

بتطبيق صيغة لاكرانج نحصل على حدودية من الدرجة الثانية

$$\begin{aligned} P_2(x) &= \sum_{i=0}^2 f_i \prod_{\substack{j=0 \\ j \neq i}}^2 \frac{(x - x_j)}{(x_i - x_j)} \\ &= -2 \frac{(x-2)(x-4)}{(1-2)(1-4)} + 8 \frac{(x-1)(x-4)}{(2-1)(2-4)} + 112 \frac{(x-1)(x-2)}{(4-1)(4-2)} \end{aligned}$$

يمكن أن نجد المشقة عند هذه المرحلة فن تكون

$$P'_2(x) = -2 \frac{(x-2)+(x-4)}{3} + 8 \frac{(x-1)+(x-4)}{-2} + 112 \frac{(x-1)+(x-2)}{6}$$

وعند $x = 3$ فإن

$$\begin{aligned} P'_2(x)|_{x=3} &= \frac{-2}{3}(1-1) + \frac{8}{-2}(2-1) + \frac{112}{6}(2+1) \\ &= -4 + 56 = 52 \end{aligned}$$

مقارنة مع القيمة الحقيقة حيث ان البيانات في الجدول تمثل الدالة

$$f(x) = 2x^3 - 4x$$

$$f(x) = 6x^2 - 4$$

و

وعند $x = 3$

$$f(x)|_{x=3} = 50$$

الخطأ المطلق هو 2 والخطأ النسبي هو 0.04، لا يأس به.

6.2 المشتقية في حالة التوزيع المنتظم Uniformaly Distributed Nodes

حينما تكون البيانات في الجدول متتظمة التوزيع (وطبعاً عندما تكون الدالة معلومة فإننا سوف نختار نقاط متتظمة التوزيع لغيرها) فإننا حينما سنختار الحدودية المناسبة لا وهي حدودية نيوتن للفروقات المتهبة.

$$P_n(x) = f_0 + m \Delta f_0 + \frac{m(m-1)}{2!} \Delta^2 f_0 + \dots \quad (3)$$

ولأجل إيجاد مشقة الحدودية بالنسبة إلى x فإننا لابد أن ندق الجهة البعضي من
(3) بطريقة السلسلة، إذ أن

$$P_n(x) = F(m)$$

وأن

$$m = \frac{x - x_0}{h}$$

ولذا فإن

$$\begin{aligned} \frac{dP_n(x)}{dx} &= \frac{dF(m)}{dm} \cdot \frac{dm}{dx} \\ &= \frac{dF(m)}{dm} \cdot \frac{1}{h} \end{aligned}$$

.. فإن

$$P'_n(x) = \frac{1}{h} \left(\Delta f_0 + \frac{2m-1}{2} \Delta^2 f_0 + \frac{3m^2-6m+2}{6} \Delta^3 f_0 + \dots \right) \quad (4)$$

أن مشقة منكروك m تتعقد تدريجياً بزيادة عدد الحدود لكن يجعل $0 = m$ أي أن x_0 بحيث تكون قيمة $0 = m$ تبسط الحالة كثيراً حيث تكون

$$P_m(x) \approx \frac{1}{h} \left(\Delta f_0 - \frac{1}{2} \Delta^2 f_0 + \frac{1}{3} \Delta^3 f_0 - \frac{1}{4} \Delta^4 f_0 + \dots \right) \quad (5)$$

مثال (2): [1]

في الجدول الآتي جد قيمة المشقة عند $x = 2$ ، $x = 1$

x	1	2	3	4	5
$f(x)$	3	7	23	57	115

ثم قارن النتيجة عندما تكون الدالة:

$$f(x) = x^3 - 3x + 5$$

الحل:

نكون جدول الفروقات:

x	$f(x)$	Δf	$\Delta^2 f$	$\Delta^3 f$	$\Delta^4 f$
1	3				
2	7	4	12	6	
3	23	16	18	6	
4	57	34	24	6	
5	115	58			

واضح أن $h = 1$. سنتستخدم كل المعلومات المتاحة، أي متعددة حدود من الدرجة الثالثة.

$$P'_3(x) = \frac{1}{h} \left(\Delta f_0 - \frac{2m-1}{2} \Delta^2 f_0 + \frac{3m^2-6m+2}{6} \Delta^3 f_0 + \dots \right)$$

عند $x = 1$ وبفرض $x_0 = 0$ فإن

$$P'_3(x) = \frac{1}{h} \left(\Delta f_0 - \frac{1}{2} \Delta^2 f_0 + \frac{1}{3} \Delta^3 f_0 \right)$$

$$= P'_3(x)|_{x=3} = 0$$

وهي مطابقة لقيمة الحقيقة.

وعند $x = 2$ ، وباختيار $x_0 = 1$ فإن

ومن (4) نحصل على

$$\begin{aligned} P'_3(x)|_{x=2} &= \frac{1}{1} \left(4 + \frac{2(1)-1}{2} 12 + \frac{3(1^2)-6(1)+2}{6} 6 \right) \\ &= 4 + 6 - 1 = 9 \end{aligned}$$

أما في حالة اختيار $x_0 = 0$ فإن $m = 0$ وأن

$$P'_3(x)|_{x=2} = \frac{1}{1} \left(16 - \frac{1}{2} 18 + \frac{1}{3} 6 \right) = 9$$

وهي مطابقة للحالة الأولى ومتباينة لقيمة الحقيقة.

إن هذا التطابق جاء نتيجة لكون الجدول المعطى يمثل حدودية تكعيبية، والحدودية التقريرية هي تكعيبية أيضاً. ولذلك نقول أن ليس كل الحالات بهذه المثالية، بل لابد من أن يكون هناك خطأ خاصة عندما لا تكون البيانات المعطاة تثل حدودية.

مثال (3): [8]

من الجدول المرفق قدر المشقة عند النقطة $1.7 = x$ مستخدماً حداً واحداً من الصيغة (5) ثم حدين ثم ثلاثة ثم أربعة حدود.

x	1.3	1.5	1.7	1.9	2.1	2.3	2.5
f(x)	3.669	4.482	5.474	6.686	8.166	9.974	12.182

الحل:

نكون جدول الفروقات، وبما أن أقصى عدد من الحدود المطلوبة هو أربعة فإننا سوف نكتفي بعمود الفروقات الرابعة.

x	$f(x)$	Δf	$\Delta^2 f$	$\Delta^3 f$	$\Delta^4 f$
1.3	3.669				
		0.813			
1.5	4.482		0.179		
		0.992		0.041	
1.7	5.474		0.220		0.007
		1.212		0.048	
1.9	6.686		0.268		0.012
		1.480		0.060	
2.1	8.166		3.28		0.012
		1.808		0.072	
2.3	9.974		0.400		
		2.208			
2.5	12.182				

نختار x_0 لتكون هي نفس النقطة المطلوبة وبذلك تكون $0 = m$ وعليه فإن
الصيغة المستخدمة هي

$$P'(x) = \frac{1}{h} \left(\Delta f_0 - \frac{1}{2} \Delta^2 f_0 + \frac{1}{3} \Delta^3 f_0 + \dots \right)$$

فلحد واحد نحصل على:

$$P'_1(1.7) = \frac{1}{0.2} (1.212) = 6.060$$

وللدين:

$$\begin{aligned} P'_2(1.7) &= \frac{1}{0.2} \left(1.212 - \frac{1}{2} (0.268) \right) \\ &= 6.060 - \frac{1}{2(0.2)} (0.268) = 5.390 \end{aligned}$$

ولثلاثة حدود:

$$P'_3(1.7) = 5.390 + \frac{1}{3(0.2)} (0.060) = 5.490$$

ولأربعة حدود

$$P'_4(1.7) = 5.490 - \frac{1}{4(0.2)}(0.012) = 5.475$$

وإذا علمت أن البيانات في الجدول تمثل قيم الدالة f فلنك أن تقدر دقة التائج.

6.3 صيغة الخطأ Error Formula

في الفصل الخامس وجدنا صيغة للخطأ في متعددة الحدود التقريرية. ولنأخذ الصيغة (27) كمراجع.

بما أن الفرق بين الدالة f ومتعددة الحدود التقريرية P_n هو ما يسمى بالخطأ E . فإن:

$$f - P_n = E$$

وبحسب خواص المشتقات فإن

$$f' - P'_n = E'$$

أي أن الخطأ في المشتقة التقريرية يساوي مثقبة الخطأ في متعددة الحدود التقريرية المستخدمة.

وبالعودة إلى ما جاء في الفصل الخامس ومن الصيغة (27)

$$f - P = \binom{m}{n+1} h^{n+1} f^{(n+1)}(\xi(x))$$

فإن اشتقاقها بالنسبة إلى x يعطي:

$$\begin{aligned} E(P') &= f' - P' \\ &= \binom{m}{n+1} h^{n+1} \frac{d}{dx} f^{(n+1)}(\xi(x)) + h^{n+1} f^{(n+1)}(\xi(x)) \left(\frac{d}{dm} \binom{m}{n+1} \right) \frac{1}{h} \end{aligned} \quad (6)$$

أن الحد الأول من هذه النتيجة لا يمكن تقديره لأن $(\xi(x))^{(n+1)}$. لا يمكن معرفتها لمجهولة ξ . لكن بجعل $m = 0$ فإن هذا الحد ينافي. أما الحد الثاني فهو مهولة يمكن إدراك أن

$$h^{(n+1)} f^{(n+1)}(\xi(x)) \left(\frac{d}{dm} \binom{m}{n+1} \right) \frac{1}{h} = \frac{(-1)^n}{n+1} h^n f^{(n+1)}(\xi(x)) \quad (7)$$

ولحسن الحظ فإن هذه النتيجة لا تعتمد على m وكانت صفرًا أم لا. لكن هذه ليست مفروضة لأن ذلك يعني أن الخطأ في المنشقة لن يزول مهما كانت m ، ومن الصيغة الأخيرة نلاحظ أن الخطأ لا يساوي صفرًا إلا إذا كانت $h = 0$ أو $h = (-1)^{n+1} \xi$. وهذا ما لا يحصل في صيغة الخطأ لـ n متعددة المحدود، إذ أنه يمكن أن يزول عندما تكون $0 = m$. إضافة لذلك فإن رتبة n قد انخفضت من $n + 1$ في خطأ المحدودية إلى n في خطأ المنشقة، أي أن الخطأ يزداد عند المنشقة.

وبالعودة إلى المثال (3) للمقارنة بين الخطأ الفعلي E_f والخطأ النظري E_t نجد أن في حالة حد واحد، حيث $n = 1$ يكون

$$E_t = \frac{(-1)}{1+1} h^1 f^{(2)}(\xi(x)) , \quad 1.7 < \xi < 1.9$$

$$= \frac{1}{2} (0.2) e^{\xi} , \quad 1.7 < \xi < 1.9$$

$$= \begin{cases} -0.547 & \text{الأصغر} \\ -0.669 & \text{الأخير} \end{cases}$$

بينما الخطأ الفعلي

$$E_f = x - x^* = 5.474 - 6.060 = -0.586$$

وهو يحقق الخطأ المتوقع.

أما عندما $n = 2$ فإن:

$$E_t = \frac{(-1)^2}{2+1} h^2 f^{(3)}(\xi(x)) , \quad 1.7 < \xi < 2.1$$

$$= \frac{1}{3} (0.2)^2 e^{\xi} , \quad 1.7 < \xi < 2.1$$

$$= \begin{cases} 0.073 & \text{الأصغر} \\ 0.109 & \text{الأخير} \end{cases}$$

بينما

$$E_f = 5.474 - 5.390 = 0.084$$

ذلك يتحقق الخطأ المتوقع.

و في حالة $n = 3$

$$E_1 = \frac{(-1)^3}{4} h^3 f^{(4)}(\xi(x)) = \frac{-1}{4}(0.2)^3 e^{\xi} , \quad 1.7 < \xi < 2.3$$
$$= \begin{cases} -0.011 & \text{الأصغر} \\ -0.020 & \text{الأكبر} \end{cases}$$

والخطأ الفعلي

$$Er = 5.474 - 5.490 = -0.16$$

مرة أخرى يتحقق الخطأ المتوقع.

أما عندما $n = 4$ فإن

$$E_1 = \frac{(-1)^4}{5} h^4 f^{(5)}(\xi(x)) , \quad 1.7 < \xi < 2.5$$
$$= \begin{cases} 0.002 & \text{الأصغر} \\ 0.004 & \text{الأخير} \end{cases}$$

والخطأ الفعلي هو

$$Er = 5.474 - 5.475 = -0.001$$

ولا يتفق مع المتوقع! يعزى سبب هذا الاختلاف إلى أن خطأ التدوير في الجدول قد تطور بحيث أن العمود الرابع من الفروقات يحتوى قيمتين متساوين! أي أن المنهج بدأ يتصرف وكأنه حدودية من الدرجة الرابعة في الفترة (2.5 و 1.5).

6.4 مشتقات من رتب أعلى Higher Derivative Formule

يمكن إيجاد صيغة للمشتقات العليا ذلك باشتقاق الصيغة (4) حيث:

$$P''(x) \approx P''_n(x)$$

و بما أن $P_n(x)$ معطى بدلالة m أي إن:

$$P_n(x) = F(m)$$

وكما سبق لاحظنا أن

$$\frac{dP}{dx} = \frac{dF}{dx}$$

$$= \frac{dF}{dm} \cdot \frac{dm}{dx} = \frac{1}{h} \frac{dF}{dm}$$

مرة أخرى نشق فج

$$\begin{aligned}\frac{d^2P}{dx^2} &= \frac{d}{dx} \left(\frac{1}{h} \frac{dF}{dm} \right) \\ &= \frac{1}{h} \left(\frac{d^2F}{dx^2} \cdot \frac{dm}{dx} \right) = \frac{1}{h^2} \frac{d^2F}{dm^2}\end{aligned}$$

.. تصبح صيغة المشتقه الثانيه

$$P''(x) \approx \frac{1}{h^2} \left(\Delta^2 f_0 + (m-1)\Delta^3 f_0 + \dots \right) \quad (8)$$

ويمثل $m=0$ تصبح

$$P''(x) \approx \frac{1}{h^2} \left(\Delta^2 f_0 - \Delta^3 f_0 + \frac{11}{12} \Delta^4 f_0 - \frac{5}{6} \Delta^5 f_0 + \dots \right) \quad (9)$$

نأخذ المثال (3) ولمجد المشتقه الثانية عند $x=1.7$ وباستخدام حددين من الصيغة (9) يكون

$$P''(x) = \frac{1}{(0.2)^2} \left(\Delta^2 f_0 - \Delta^3 f_0 \right)$$

$$P''(1.7) = \frac{1}{0.04} (0.268 - 0.060) = 5.200$$

حيث مقدار الخطأ المتوقع

$$\begin{aligned}E(P''(1.7)) &= \frac{1}{h^2} \left(\frac{11}{12} \Delta^4 f_0 \right) \\ &= \frac{1}{h^2} \left(\frac{11}{12} h^4 f^{(4)}(\xi(x)) \right) \\ &= \begin{cases} 0.201 & \text{الصغر} \\ 0.298 & \text{الاكبر} \end{cases}\end{aligned}$$

اما الخطأ الحقيقي فهو:

$$5.474 - 5.200 = 0.274$$

في حالة عدم توفر معلومات عن الدالة الحقيقة فإننا نستخدم حدوداً أكثر لتخمين قيمة المنشقة، فإذا ظهر اختلاف كبير بين القيم التخمينية في حالة زيادة عدد الحدود المستخدمة حداً واحداً فإن ذلك ينذر بالخطر ولابد من إعادة النظر في الصيغة المستخدمة.

6.5 صيغ أخرى للمشتقات

في التطبيقات العملية للمشتقات التقريرية لا تُستخدم حدود كثيرة من الصيغ (9) أو (5) وإنما تقتصر على حد أو حدين في أموا الاحتمالات.

فالمنشقة الأولى (مثلاً) تصبح

$$P'(x) = \frac{1}{h} \Delta f_0 = \frac{1}{h} (f_1 - f_0) \quad (10)$$

صيغة تقدمة، و

$$P'(x) = \frac{f_1 - f_{-1}}{2h} \quad (11)$$

صيغة مركزية [وهي تركيب من صيغة تقدمة وصيغة تراجعية].

و

$$P'(x) = \frac{-f_2 + 4f_1 - 3f_0}{2h} \quad (12)$$

وذلك باستخدام حدين من (5)

اما للمنشقة الثانية فهناك

$$P''(x) = \frac{f_2 - 2f_1 + f_0}{h^2} \quad (13)$$

صيغة تقدمة.

و

$$P''(x) = \frac{f_1 - 2f_0 + f_{-1}}{h^2} \quad (14)$$

صيغة مركبة.

كل هذه الصيغ يمكن استنتاجها مع رتبة الخطأ المرافق لها من خلال نشر سلسلة تيلر للدالتين f_1 و f_{-1} حول x_0 حيث:

$$f_1 = f_0 + h f'_0 + \frac{h^2}{2} f''_0 + \frac{h^3}{6} f'''_0 + \dots \quad (15)$$

$$f_{-1} = f_0 - h f'_0 + \frac{h^2}{2} f''_0 - \frac{h^3}{6} f'''_0 + \dots \quad (16)$$

فمن (15) عند بترها بعد الحد الثاني نحصل على:

$$f'_0 = \frac{f_1 - f_0}{h} - \frac{h}{2} f''(\xi) = \frac{\Delta f_0}{h} + o(h) \quad x_0 < \xi < x_1 \quad (17)$$

وهي مرادفة لـ (10). وبطرح (16) من (15) نحصل على:

$$f''_0 = \frac{f_1 - f_{-1}}{2h} + o(h^2) \quad (18)$$

كما أنها يمكن أن نحصل على صيغة تراجعية للمشتقة الأولى من (16) بعد بترها بعد الحد الثاني فنحصل على

$$f'_0 = \frac{f_0 - f_1}{h} + o(h) = \frac{\nabla f_0}{h} + o(h) \quad (19)$$

أما إذا استخدمنا نشير تيلر للدالة f_2 حول x_0 فنصبح:

$$f_2 = f_0 + 2h f'_0 + \frac{(2h)^2}{2} f''_0 + \frac{(2h)^3}{6} f'''_0 \quad (20)$$

وبضرب (15) في 4 وطرح (20) منها ينتج:

$$f'_0 = \frac{-f_2 + 4f_1 - 3f_0}{2h} + o(h^2) \quad (21)$$

بنفس الأسلوب يمكن الحصول على صيغ مختلفة للمشتقة الثانية، منها الصيغة المركبة:

$$f_0'' = \frac{f_1 - 2f_0 + f_{-1}}{h^2} + o(h^2) \quad (22)$$

والتي يمكن الحصول عليها بجمع المعادلين (15) و (16) لغاية الحد الثالث.
صيغة التقدمية

$$f_0'' = \frac{f_2 - 2f_1 + f_0}{h^2} + o(h) = \frac{\Delta^2 f_0}{h^2} + o(h) \quad (23)$$

الحاصلة من ضرب (15) في 2 وطرحها من (20).

من الواضح أن الصيغة أعلاه تعتمد في دقتها على h ، فكلما صغرت h كلما تضائل الخطأ. لكن الحياة ليست بهذه الدرجة من المثالية فيجب أن لا ننسى خطأ التدوير!

ل (4) [6]

الجدول التالي يمثل قيم للدالة $f(x) = x e^x$.

جدول (1)

x	f(x)
1.8	10.889365
1.9	12.703199
2.0	14.778112
2.1	17.148957
2.2	19.855030

أوجد تقريراً للمشتقة الثانية (2.0)، علماً أن القيمة الحقيقة لها هي $f''(2.0) = 29.5562244$

ل:

باستخدام الصيغة (22) حيث صيغة الخطأ لها هي $(\epsilon) \approx \frac{h^2}{12}$ وان $x_0 - h < \xi < x_0 +$
ولنفرض أننا اخترنا $h = 0.1$ فإن

$$f''(2) \approx \frac{1}{(0.1)^2} [f(2.1) - 2f(2) + f(1.9)] = 29.5931861$$

وعندما نختار $h = 0.2$ فإن

$$f'(2) \approx \frac{1}{(0.2)^2} [f(2.2) - 2f(2) + f(1.8)] = 29.7042648$$

الخطأ في الحالة الأولى تقريرًا -0.037.

وفي الحالة الثانية تقريرًا 0.148.

لنتنظر إلى المعادلة (18) حيث صيغة الخطأ فيها هي

$$x_0 - h < \xi < x_0 + h , \quad -\frac{h^2}{6} f''(\xi)$$

أي:

$$f'_0 = \frac{1}{2h} [f(x_0 + h) - f(x_0 - h)] - \frac{h^2}{6} f''(\xi)$$

وبفرض أننا ارتكبنا خطأ تدوير $f(x_0 + h)$ و $f(x_0 - h)$ في قيم كل من $f(x_0 + h)$ و $f(x_0 - h)$ على الترتيب بحيث أصبحت القيم المحسوبة $\tilde{f}(x_0 + h)$ و $\tilde{f}(x_0 - h)$ أي أن:

$$f(x_0 + h) = \tilde{f}(x_0 + h) + e(x_0 + h)$$

$$f(x_0 - h) = \tilde{f}(x_0 - h) + e(x_0 - h)$$

فإن خطأ التقرير يكون

$$f'(x_0) - \frac{\tilde{f}(x_0 + h) - \tilde{f}(x_0 - h)}{2h} = \frac{e(x_0 + h) - e(x_0 - h)}{2h} - \frac{h^2}{6} f''(\xi)$$

ويجتذب جزءاً منه خطأ التدوير والجزء الآخر خطأ البتر. فإذا فرضنا أن الخطأ التدوير $e(x_0 \mp h)$ لا يتجاوز قيمة معينة $\epsilon > 0$ وأن قيمة المشقة الثالثة للدالة f محددة بقيمة $M > 0$, فإن:

$$\left| f'(x_0) - \frac{\tilde{f}(x_0 + h) - \tilde{f}(x_0 - h)}{2h} \right| \leq \frac{\epsilon}{h} + \frac{h^2}{6} M$$

فإذا كانت h صغيرة فإن h/e يمكن أن تكون كبيرة. لذا فإنه في التطبيق نادراً ما تُستخدم h صغيرة جداً لأن ذلك يجعل خطأ التدوير كبيراً.

مثال (5):

نأخذ مثلاً الدالة $e^{-x} = f(x)$ ولنقرب المشتقة بالصيغة التقديمية (17)

ولنفرض أننا أردنا تقدير قيمة $f'(1)$

\therefore تكون $1 = x_0$ و $x_1 = 1 + h$ ، وأن $e^{-1} \leq e^{-x} \leq e^{-1}$ على الفترة $(1, 1+h)$.

وبالتالي فإن خطأ القطع سوف لن يزيد على $2/(he^{-1})$.

نلاحظ من الجدول أدناه (جدول 2) سلوك الخطأ الحقيقي في العمود الأخير.

لاحظ كيف يبدأ الخطأ يتراقص مع تناقص h بدءاً من $h = 0.002$ حتى $h = 0.0002$ وبعدها وعند $h = 0.0002$ ازداد الخطأ بأكثر من تسعة أضعاف.

جدول (2)

h	f_0	f_1	$(f_1 - f_0)/h$	$(he^{-1})/2$	الخطأ الحقيقي
1	0.36789	0.135335	-0.232544	0.183940	0.135335
0.2	0.367879	0.301194	-0.333425	0.36788	0.344540
0.1	0.367879	0.332871	-0.350080	0.018394	0.017799
0.02	0.367879	0.360595	-0.364200	0.003679	0.003679
0.01	0.367879	0.364219	-0.366000	0.001839	0.001879
0.002	0.367879	0.367144	-0.367500	0.000368	0.000379
0.001	0.367879	0.367512	-0.367000	0.000187	0.000879
0.0002	0.367879	0.367806	-0.365000	0.000037	0.002879

تمارين

١. الدالة في الجدول أدناه هي $(1 + \log x)/dx$ ، قدر d عند $x = 0.15$ ، $x = 0.19$ ، $x = 0.23$ ، $x = 0.27$ ، $x = 0.31$ ذلك باستخدام ١ - حد واحد، ب - حددين، ج - ثلاثة حدود. ثم حدد الخطأ المترقب في كل حالة وقارنه بالخطأ الفعلي.

x	0.15	0.17	0.19	0.21	0.23	0.25	0.27	0.29	0.31
$1 + \log x$	0.1761	0.2304	0.2788	0.3222	0.3617	0.3979	0.4314	0.4624	0.4914

٢. إذا أردنا أن نقدر المشقة للدالة $(1 + \log x)/dx$ عند النقطة 0.31 كما في السؤال الأول فإن الصيغة التقدمية سوف لن تعمل. استنتاج صيغة تراجعية لإيجاد المشقة واستخدمها لتقدير $(1 + \log x)/dx$ عند $x = 0.31$ باستخدام ثلاثة حدود.
٣. استنتاج صيغة للخطأ في الصيغة المستخرجة في سؤال (٢).

٤. البيانات الآتية تقلل الدالة $f(x) = xe^x$

x	1.1	1.2	1.3	1.4	1.5
$f(x)$	3.30458260	3.98414028	4.77008571	5.6772800	6.72253365

- ا. أوجد $(f(1.3))^2$ باستخدام الصيغة (٢١). ما هو مقدار الخطأ مقارنة بالخطأ الحقيقي؟
- ب. أوجد $(f(1.3))^2$ باستخدام العلاقة (٩) ولحدرين مرة ولحد واحد مرة أخرى.
٥. أوجد تقديرًا لنسبة $(f(1))^2$ للدالة $f(x) = \sin 4x$ من الصيغة

$$f'(1) = \frac{1}{h^2} (f_2 - 2f_1 + f_0)$$

حيث تأخذ القيم 0.01، 0.02، 0.03، 0.04، 0.05 مستخدماً خمسة أرقام عشرية في حساباتك.

6. الجدول التالي يمثل الوقت بالثواني والموقع بالأقدام لسيارة تتحرك على طريق مستقيم. استخدم الجدول والصيغ (12) أو (18) لتخمين السرعة عند كل ثانية في الجدول.

الزمن	0	3	5	8	10	13
الميلانة	0	225	383	623	742	993

7. انشر الدالة f باستخدام حدودية تيلر من الدرجة الرابعة حول x_0 وأوجدها عند $x_0 \pm 2h$. استنتج صيغة لتقريب $f(x_0 + h)$ بحيث يكون حد الخطأ فيها من الرتبة (h^2) .

التكامل العددي

Numerical Integration

7.1 طرق اولية

7.2 استخدام حدودية لكرانج

7.3 قاعدة شبه المحرف

7.4 قاعدة سمسن

7.5 $\frac{3}{8}$ قاعدة سمسن

7.6 حساب الخطأ

7.7 تحديد حلول الفترة الجزئية [a]

7.8 طريقة المعاملات الغير محددة

7.9 تكامل رمبرك

تمارين

الفصل السادس

التكامل العددي

Numerical Integration

لا حاجة إلى أن نوضح أهمية التكامل في الرياضيات التطبيقية. لكن الحاجة تكمن في معرفة كيفية إجراء التكامل على دالة غير معلومة إلا عند عدد معين من النقاط، أو في حالة كون الدالة من النوع بحيث لا يمكن إيجاد تكاملها بالطرق التحليلية التقليدية. في هذه الأحوال نلجأ إلى الطرق العددية. لكن ليس عند هذه الأحوال فقط بل حتى في حالات كون الدالة يمكن إيجاد تكاملها بسهولة فإننا لمناج إلى إيجاد تكاملها بالطرق العددية لسرعة وسهولة العمل ودقة الناتج.

7.1 قواعد اوئلية

لتكن الدالة $f(x)$ معرفة على الفترة $[a, b]$ ومتصلة. ويراد إيجاد التكامل

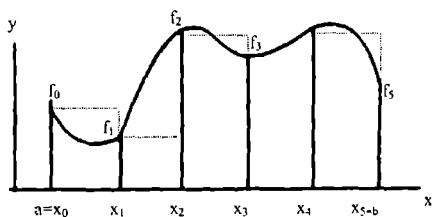
$$\int_a^b f(x) dx$$
 بصورة تقريرية.

نقسم الفترة $[a, b]$ إلى فترات جزئية متساوية ولتكن نقاط التجزئة.

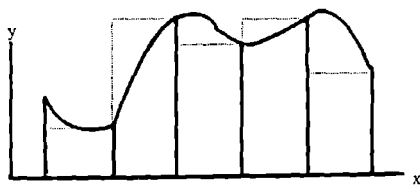
$$a = x_0, x_1, x_2, x_3, x_4, x_5 = b$$

نقيم مستقيمات موازية للمحور x من أولاء النقاط فنقطع المنحنى (x, f) . تكون مستطيلات بحيث تكون قواعدها $x_i - x_{i-1}$ وارتفاعاتها $f(x_i)$ لكل $i = 0, 1, \dots, 4$. نحسب عبارة مساحات هذه المستطيلات فتعطينا قيمة تقريرية للمساحة تحت المنحنى. أي أن:

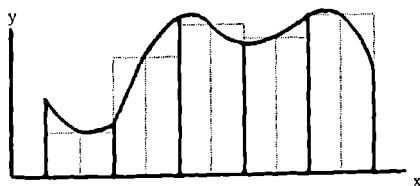
$$A = \sum_{i=0}^4 f(x_i)(x_{i+1} - x_i)$$



(I)



(II)



(III)

يمكن كذلك حساب مساحات المستطيلات باعتبار ارتفاعاتها $f(x_i)$ حيث $i=1,2,\dots,5$ شكل (7.1، ب)

$$A = \sum_{i=1}^5 f(x_i)(x_{i+1} - x_i)$$

والاختبار الآخر هو أن نعتبر ارتفاع كل مستطيل هو قيمة الدالة عند نقطة متتصف القاعدة له.

(شكل 7.1 ج). أي أن:

$$A = \sum_{i=0}^4 f\left(\frac{x_i + x_{i+1}}{2}\right)(x_{i+1} - x_i)$$

7.2 استخدام حدودية لكرانج Polynomials Using Lagrang Polynomials

عندما تكون النقاط المعطاة في الجدول غير منتظمة التوزيع، ما علينا إلا أن تكون حدودية لكرانج على النقاط المراد إجراء التكامل عندها ونضع الخطودية بالصيغة العامة:

$$P_n(x) = a_0 + a_1 x + a_2 x^2 + \dots + a_n x^n = \sum_{i=0}^n a_i x^i \quad (1)$$

عندئذ نجري التكامل على هذه الخطودية حيث

$$\int P_n(x) dx = \sum_{i=0}^n \frac{a_i x^{i+1}}{i+1} \quad (2)$$

بالتأكيد يمكن أن نجري التكامل على صيغة لكرانج قبل الوصول إلى الصيغة (1). لكنها تكون معقدة بعض الشيء خاصة عندما تزيد n على 2.
مثال (1):

نفرض لدينا الجدول

x	0	1	3
$f(x)$	-2	7	49

مطلوب إيجاد التكامل على الدالة (x) من 0 إلى 3 .

الحل:

بما أن النقاط غير موزعة بانتظام فإننا نستخدم حدودية لكرانج.

$$P_2(x) = -2 \frac{(x-1)(x-3)}{(0-1)(0-3)} + 7 \frac{(x-0)(x-3)}{(1-0)(1-3)} + 49 \frac{(x-0)(x-1)}{(3-0)(3-1)} \\ = 4x^2 + 5x - 2$$

$$\int_0^3 P_2(x) dx = \int_0^3 (4x^2 + 5x - 2) dx$$

$$\int_0^3 P_2(x) dx = 52.5$$

إذا علمت أن الدالة في الجدول هي بالحقيقة.

$$f(x) = x^3 + 8x - 2$$

فإن

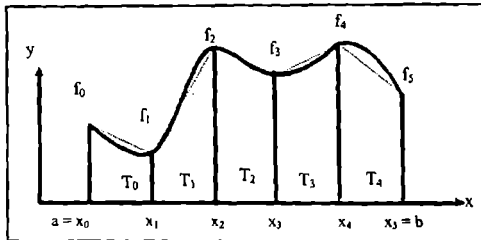
$$\int_0^3 f(x) dx = 57$$

وأن الخطأ النسي في القيمة التقريرية للتكامل هي

$$\delta = 0.08$$

7.3 قاعدة شبه المترحف The Trapezoidal Rule

في الجزء (7.1) كانت الطرق المذكورة تحمل خطأً كبيراً في قيمة التكامل التقريرية. يمكن تقليص مقدار الخطأ بزيادة عدد الفترات الجزئية إلا أنه يبقى ملحوظاً. أن صيغة شبه المترحف يمكن أن تحسن من الحالة فبدلاً من إنشاء مستويات على كل فتره جزئية سنقيم أشواه منحرفات كما في الشكل (7.2).



شكل (7.2)

ملوم أن مساحة شبه المنحرف هي نصف حاصل ضرب مجموع القاعدتين في الارتفاع، وبالتالي فإن مساحة شبه المنحرف الأول T_0 ستكون

$$T_0 = (x_1 - x_0) \left(\frac{f_0 + f_1}{2} \right)$$

كذلك

$$T_1 = (x_2 - x_1) \left(\frac{f_1 + f_2}{2} \right)$$

وهكذا فإن مجموع مساحات أشباه المنحرفات سيعطي تقريراً للمساحة تحت المحنى. بالتأكيد سيكون هناك فرق بين المساحتين. يمكن، بالحقيقة، جعل هذا الفرق يتضائل تدريجياً بجعل النقاط x_i متقاربة أكثر. عبارة أخرى أن تصغر المسافة بين x_i وبين نفس الوقت تزيد من عدد النقاط وهذا يعني زيادة عدد أشباه المنحرفات وطبعاً ذلك يؤدي إلى زيادة في العمليات الحسابية.

فلو جزأنا الفترة $[a, b]$ إلى n من الفقرات الجزئية $[x_i, x_{i+1}]$ حيث

$a = x_0$ وأن $x_1 - x_0 = x$ فإن مساحة شبه المنحرف ستكون

$$T_i = h \left(\frac{f_i + f_{i+1}}{2} \right) \quad , \quad i = 0, 1, \dots, n-1 \quad (3)$$

اما المساحة الكلية فهي

$$\begin{aligned} T_0 + T_1 + \dots + T_n &= \frac{h}{2} (f_0 + f_1 + f_2 + \dots + f_{n-1} + f_n) \\ &= \frac{h}{2} (f_0 + f_n + 2 \sum_{i=1}^{n-1} f_i) \end{aligned} \quad (4)$$

هذه الصيغة يمن أن نستنتجها من متعددة حدود نيوتن التقديمة للفروقات المتتيبة.

فليبدا أولاً باستنتاج صيغة شبه المنحرف البسيطة ذلك بان نتعامل مع متعددة حدود خطية، اي ان نقطع حدودية نيوتن التقديمة بعد الحد الثاني

$$P_1(x) = f_0 + m \Delta f_0 \quad (5)$$

ذلك يشمل النقطتين x_0, x_1 .

وياجراء التكامل بالنسبة له x على (5)

$$\int_{x_0}^{x_1} P_1(x) dx = \int_{x_0}^{x_1} (f_0 + m \Delta f_0) dx \quad (6)$$

فإننا لابد أن نحوال متغير التكامل من x إلى m في الجهة اليمنى من (6).
وحيث أن

$$m = \frac{x - x_0}{h}$$

فإن

$$dm = \frac{dx}{h}$$

او

$$dx = h dm$$

وتصبح حدود التكامل $[1, 0]$ بدلاً من $[x_0, x_1]$

.. فإن (6) ستكون

$$\begin{aligned}\int_{x_0}^{x_1} P_1(x) dx &= h \int_0^1 (f_0 + m \Delta f_0) dm \\ &= h \left[m f_0 + \frac{m^2}{2} (f_1 - f_0) \right]_0^1 \\ &= \frac{h}{2} (f_0 + f_1)\end{aligned}$$

وهي مساحة شبه المنحرف البسيطة كما في (3).

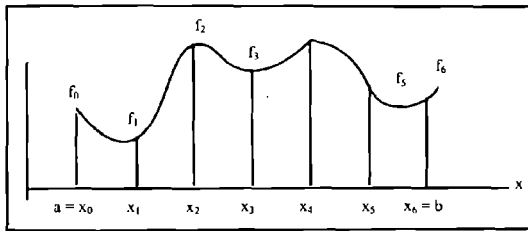
أن تقسيم فترة التكامل من x_0 إلى $x_n = a$ إلى $b = x_0$ إلى x_n من الفترات الجزئية المتساوية يعني تطبيق الصيغة (7) n من المرات أو

$$\begin{aligned}\int_a^b f(x) dx &\approx \sum_{i=0}^{n-1} \int_{x_i}^{x_{i+1}} P_1(x) dx \\ &= \sum_{i=0}^{n-1} \frac{h}{2} (f_i + f_{i+1}) \\ &= \frac{h}{2} \left(f_0 + f_n + 2 \sum_{i=1}^{n-1} f_i \right) \quad (8)\end{aligned}$$

وهي صيغة شبه المنحرف المركبة.

Simpson's Rule 7.4

في هذه القاعدة نقرب الدالة f بمحدودية تربيعية P_2 ، ولذلك نحتاج إلى ثلاثة نقاط في الفترة الجزئية الواحدة لكي تغطي بها المحدودية التربيعية. شكل (7.3).



شكل (7.3)

نفرض أن لدينا النقاط $(x_2, f_2), (x_0, f_0), (x_1, f_1), \dots, (x_6, f_6)$ حيث $x_2 - x_1 = x_1 - x_0 = h$ هي
نكرن الحدودية التربيعية من صيغة نيوتن التقديمية للفروقات المتباينة.

$$P_2(x) = f_0 + m \Delta f_0 + \frac{m(m-1)}{2} \Delta^2 f_0$$

وبإجراء التكامل على الفترة $[x_0, x_2]$.

$$\int_{x_0}^{x_2} P_2(x) dx = \int_{x_0}^{x_2} \left[f_0 + m \Delta f_0 + \frac{m(m-1)}{2} \Delta^2 f_0 \right] dx$$

وتحويل التكامل في الجهة اليمنى بدلالة m يصبح

$$\int_{x_0}^{x_2} P_2(x) dx = h \int_0^2 \left[f_0 + m(f_1 - f_0) + \frac{m^2 - m}{2} (f_2 - 2f_1 + f_0) \right] dm$$

$$= m f_0 + \frac{m^2}{2} (f_1 - f_0) + \left(\frac{m^3}{6} - \frac{m^2}{4} \right) (f_2 - 2f_1 + f_0) \Big|_0^2$$

$$= \frac{h}{3} (f_0 + 4f_1 + f_2) \quad (9)$$

وهي صيغة سهلة الالتفات.

أما الصيغة المركبة فتتجزأ عندما نقسم الفترة $[a, b]$ إلى n من الفترات المجزئات المتساوية حيث n لابد أن يكون عدد زوجي.

لتكن النقاط هي $x_0, x_1, x_2, \dots, x_n$. بتطبيق صيغة سمن البسطة على المجموعات المجزئية نحصل على:

$$\begin{aligned} \int_a^b f(x) dx &\approx \sum_{i=1}^{n/2} \int_{x_{2i-2}}^{x_{2i}} P_2(x) dx \\ &= \sum_{i=1}^{n/2} \frac{h}{3} (f_{2i-2} + 4f_{2i-1} + f_{2i}) \\ &= \frac{h}{3} (f_0 + 4f_1 + 2f_2 + 4f_3 + 2f_4 + \dots + 2f_{n-2} + 4f_{n-1} + f_n) \\ &= \frac{h}{3} \left[f_0 + f_n + 2 \sum_{i=1}^{\frac{n-2}{2}} f_{2i} + 4 \sum_{i=1}^{\frac{n-2}{2}} f_{2i-1} \right] \end{aligned} \quad (10)$$

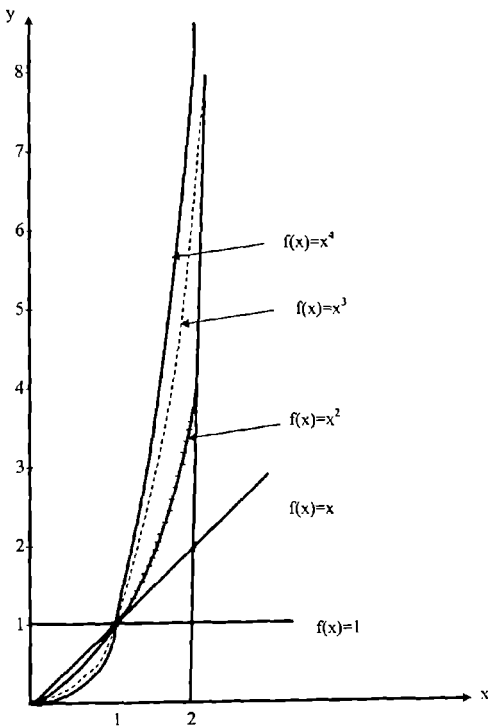
مثال (2):

قارن بين صيغتي شبه المنحرف البسيطة وسمن البسطة والتكامل الحقيقي للدوال $1, x, x^2, x^3, x^4, e^x$ على الفترة $[0, 2]$.

الحل:

في حالة صيغة شبه المنحرف البسيطة يكون طول الفترة $h = 2$.

وفي حالة صيغة سمن البسطة يكون طول الفترة $h = 1$.



(شكل 7.4)

جدول (1)

$f(x)$	1	x	x^2	x^3	x^4	e^x
ثب المحرف	2	2	4	8	16	8.389
سمن	2	2	2.67	4	6.67	6.421
تكامل حقيقي	2	2	2.67	4	6.4	6.389

من الجدول (1) نلاحظ أن صيغة ثب المحرف كانت موقعة بل مضبوطة لحد الدالة x بينما كانت صيغة سمن مضبوطة لحد الدالة x^3 وكانت جيدة حتى بعد ذلك سواء عند متعددة الحدود x^4 أو الدالة الأبية e^x . ما سبب هذا الاختلاف في دقة التقرير؟

7.5 قاعدة سمسن $\frac{3}{8}$ Simpson's Rule

عندما نستخدم متعددة حدود من الدرجة الثالثة بتقرير الدالة (x) على الفترة $[a, b]$ فإننا نحتاج أربعة نقاط في هذه الفترة لتكوين هذه الحدودية، ففي صيغة نيوتن التقديمية للفرروقات المتهبة وعندما $n = 3$ على نقاط موزعة بانتظام يكون

$$P_3(x) = f_0 + m \Delta f_0 + \frac{m(m-1)}{2!} \Delta^2 f_0 + \frac{m(m-1)}{3!} \Delta^3 f_0$$

وبنفس الأسلوب السابق فإن:

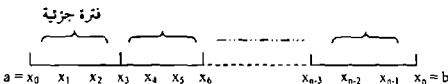
$$\int_{x_0}^{x_3} P_3(x) dx = \frac{1}{h} \int_0^3 \left(f_0 + m \Delta f_0 + \frac{m(m-1)}{2!} \Delta^2 f_0 + \frac{m(m-1)(m-2)}{3!} \Delta^3 f_0 \right) dm$$

وبإجراء عملية التكامل نتتج الصيغة

$$\int_{x_0}^{x_3} P_3(x) dx = \frac{3}{8} h (f_0 + 3f_1 + 3f_2 + f_3) \quad (11)$$

ونسمي بصيغة سمن $\frac{3}{8}$ البسيطة.

لأجل إيجاد الصيغة المركبة نقسم الفترة $[a, b]$ إلى n من الفترات المجزوية بحيث أن n يقبل القسمة على 3.



شكل (7.5)

فكرون الصيغة

$$\begin{aligned}
 \int_a^b f(x) dx &\approx \int_{x_0}^{x_1} P_3(x) dx + \int_{x_1}^{x_2} P_3(x) dx + \dots + \int_{x_{n-2}}^{x_n} P_3(x) dx \\
 &= \frac{3}{8}h[f_0 + 3f_1 + 3f_2 + f_3] + \frac{3h}{8}[f_3 + 3f_4 + 3f_5 + f_6] + \\
 &\dots + \frac{3}{8}h[f_{n-1} + 3f_{n-2} + 3f_{n-1} + f_n] \\
 &= \frac{3}{8}h \left[f_0 + 3 \sum_{i=0}^{n-1} (f_{3i+1} + f_{3i+2}) + 2 \sum_{i=1}^{n-1} f_{3i} + f_n \right]
 \end{aligned} \tag{12}$$

من المترقب أن تعطي هذه الصيغة قيمة مضبوطة للتكمال على متعددات الحدود من الدرجة 4 فما دون ذلك بالأستقراء من الجدول (1). وللتاكيد نعود إلى المثال (2) فنقسم الفترة $[0, 2]$ إلى ثلاثة فترات جزئية متساوية ونطبق صيغة سمن $\frac{3}{8}$ البسيطة. في الجدول (2) مقارنة بين قيم التكمال بصيغة سمن $\frac{3}{8}$ وقيم التكمال الحقيقي.

جدول (2)

$f(x)$	1	x	x^2	x^3	x^4	x^5
$\frac{3}{8}$ سمن	2	2	$\frac{3}{8}$	4	6.519	6.403
تكمال حقيقي	2	2	$\frac{3}{8}$	4	6.4	6.389

لم يكن الواقع دقيقاً فعند الدالة x^4 لم يكن التكامل العددي مضبوطاً !! . لابد لنا من معرفة أسباب ذلك.

7. حساب الخطأ Error Computation

بما أننا استخدمنا متعددة حدود نيوتن التقريبية للفروقات المتهبة في استنتاج صيغة التكامل التي أستعرضناها فمن الطبيعي أن نعود لها في معرفة مقدار الخطأ في كل من تلك الصيغ . ففي صيغة ثالث المنحرف البسيطة حيث قطعنا متعددة حدودية نيوتن بعد الحد الثاني .

$$P_1(x) = f_0 + m \Delta f_0$$

فإن قيمة التكامل على الحد الثالث يعطينا قيمة الخطأ في التكامل بواسطة قاعدة شبه المنحرف البسيطة . أي أن:

$$\begin{aligned} E_1 &= h \int_0^{m(m-1)} \frac{\Delta^2 f_0}{2!} dm \\ &= -\frac{h}{12} \Delta^2 f_0 \end{aligned} \quad (13)$$

ولأجل الحصول على صيغة خطأ لا تعتمد على مؤثر الفرق فإننا نستبعد المعادلة (23) من الفصل السادس حيث بإعمال حد الخطأ منها نحصل على

$$x_i < \xi < x_{i+1}, \Delta^2 f_i \approx h^2 f''(\xi) \quad (14)$$

وعليه فإن:

$$E_1 \approx -\frac{h^3}{12} f''(\xi) \quad (15)$$

$$\text{حيث } x_i < \xi < x_{i+1}$$

ان وجود المشقة الثانية للدالة في الصيغة أعلاه يفسر لنا سبب أن صيغة شبه المنحرف تحقق تكامل مضبوط للدالة f عندما تكون عبارة عن متعددة حدود من الدرجة الأولى وليس أكثر من ذلك .

للصيغة المركبة فإن الخطأ E_1 هو جموع الأخطاء في كل فترة جزئية يعني لعدد n من الفترات الجزئية فإن:

$$E_T = -\frac{h^3}{12} [f''(\xi_1) + f''(\xi_2) + \dots + f''(\xi_n)] \quad (16)$$

حيث كل من $\xi_1, \xi_2, \dots, \xi_n$ هي موجودة في الفترة الكاملة $[a, b]$. فإذا فرضنا أن x متصلة على (a, b) فإنه توجد نقطة x في (a, b) ، ولتكن $\eta = x$ ، عندها يكون المجموع بين القوسين في (16) يساوي $f''(\xi)$.

$$x_0 < \eta < x_n, E_T = n \left(-\frac{h^3}{12} f''(\eta) \right)$$

يعني
ولأن

$$n = \frac{b-a}{h}$$

فإن

$$E_T = -\frac{(b-a)h^2}{12} f''(\eta) \quad (17)$$

حيث $a < \eta < b$

لاحظ أن رتبة h قد انخفضت.

وفيمما ينصلق قاعدة سمن البسيطة فإننا نكمل الخد الرابع من حدودية نيوتن التقدمي على الفترة $[x_0, x_2]$.

$$E_4 = \int_{x_0}^2 \frac{m(m-1)(m-2)}{3!} \Delta^3 f_0 dx = h \int_0^2 \frac{m(m-1)(m-2)}{3!} \Delta^3 f_0 dm \\ = 0$$

هذه النتيجة تدفعنا إلى الانتقال إلى الخد الخامس من حدودية نيوتن لأنه من غير المقبول أن تكون صيغة سمن بدون خطأ إذن

$$E_4 = h \int_0^2 \frac{m(m-1)(m-2)(m-3)}{4!} \Delta^4 f_0 dm \\ = \frac{-h}{90} \Delta^4 f_0 \quad (18)$$

وكما في (14) فإن:

$$\Delta^4 f_i \approx h^4 f^{(IV)}(\xi_i) \quad (19)$$

حيث $x_i < \xi_i < x_{i+2}$

..
يكون

$$E_T = \frac{-h^5}{90} f^{(IV)}(\xi_i), \quad x_i < \xi_i < x_{i+2} \quad (20)$$

قارن مع (15).

ان المشقة الرابعة للدالة f تفسر كون صيغة سمن تعطي نكامل مضبوط لعدادات حدود من الدرجة الثالثة فما دون، إما وجود h^5 فإنه يعني رفع رتبة الخطأ من $(h^3)^0$ في صيغة شب المحرف البسيطة إلى $(h^5)^0$. فهو وضع $h > 0$ يمكن تصور الانخفاض كبير في مقدار الخطأ من صيغة شب المحرف البسيطة إلى صيغة سمن البسيطة.

اما لصيغة سمن المركبة فإننا نقسم الفترة $[a, b]$ إلى n من الفترات الجزئية حيث n عدد زوجي و بما أن كل زوج من الفترات الجزئية تعطي صيغة واحدة بسيطة لسمن فإن مقدار الخطأ الكلبي على $[a, b]$ هو مقدار الخطأ في سمن البسيطة مضروباً ب $\frac{n}{2}$ أي ان:

$$E_T = \frac{-h^5}{90} [f^{(IV)}(\xi_1) + f^{(IV)}(\xi_2) + \dots + f^{(IV)}(\xi_{n-2})] \quad (21)$$

حيث ان كل من ξ_i تكون موجودة في الفترة الكاملة $[a, b]$. فإذا فرضنا أن $x^{(IV)}$ متصلة على (a, b) فإنه توجد نقطة x في (a, b) ، ولتكن $\eta = x$ عندما يكون المجموع بين القوسين في (21) يساوي $(\eta)^{(IV)}$.

$$E_T = \frac{n}{2} \left(-\frac{h^5}{90} f^{(IV)}(\eta) \right)$$

حيث $x_0 < \eta < x_n$

$$= \frac{-(b-a)h^4}{180} f^{(IV)}(\eta) \quad (22)$$

حيث $x_0 < \eta < x_n$

وبالانتقال إلى قاعدة سمسن $\frac{3}{8}$ فإننا نجري التكامل للحد الخامس من صيغة نيوتن التقدمة للفروقات المتهية وعلى الفترة $[x_0, x_3]$.

$$\begin{aligned} E_t &= \int_{x_0}^{x_3} \frac{m(m-1)(m-2)(m-3)}{4!} \Delta^4 f_0 dx \\ &= h \int_0^3 \frac{m(m-1)(m-2)(m-3)}{4!} \Delta^4 f_0 dm \\ &= \frac{-3}{80} h \Delta^4 f_0 \end{aligned}$$

ولأن

$$x_0 < \xi_1 < x_3 , \quad \Delta^4 f_0 \approx h^4 f^{(IV)}(\xi_1)$$

فإن:

$$x_0 < \xi_1 < x_3 , \quad E_T = \frac{-3}{80} h^5 f^{(IV)}(\xi_1) \quad (23)$$

نفس مواصفات الصيغة (20) بل أن المعامل في (20)، $\left(\frac{-1}{90}\right)$ ، أقل منه في $\left(\frac{-3}{80}\right)$. (23)

اما للصيغة المركبة لسمن $\frac{3}{8}$ فان

$$E_T = \frac{-3h^3}{80} [f^{(IV)}(\xi_1) + f^{(IV)}(\xi_2) + \dots + f^{(IV)}(\xi_{n/3})] \quad (24)$$

حيث كل من ξ_i في فترة التكامل الكلية $[a, b]$. فنفرض أن (x) $f^{(IV)}$ متصلة على (a, b) فإنه توجد نقطة x في (a, b) ، لتكن $\eta = x$ ، عندما يكون الجموع بين لغوسين في (24) يساوي $\frac{n}{3} f^{(IV)}(\eta)$.

$$E_T = \frac{-3}{80} h^3 \left(\frac{n}{3} f^{(IV)}(\eta) \right)$$

ولأنه

$$n = \frac{b-a}{h}$$

يكون

$$E_T = \frac{-(b-a)}{80} h^4 f''(\eta) \quad (25)$$

فإن وجود المشقة الرابعة للدالة f يفسر لنا سبب وقوع خطأ في تكامل الدالة x^4 , جدول (2) ولكنها أدق قليلاً من الصيغة (24) لماذا؟ وهذا ينطبق أيضاً على الدالة x^5 !

7.7 تحديد طول الفترة الجزئية h

إن تحديد طول الفترة الجزئية h وبالتالي عدد الفترات الجزئية n يساعد في تقدير كمية الحسابات اللازمة لإجراء التكامل المطلوب. فمن معرفة مقدار خطأ الباقي في قاعدة ثالث التكامل يمكن تحديد طول الفترة الجزئية (h) (أو عدد الفترات الجزئية n) اللازمة لتحقيق الدقة المطلوبة في التكامل.

في قاعدة ثالث التكامل كان مقدار الخطأ المحلي (للفترة الجزئية الواحدة)

$\frac{h^3}{12} f'''(\eta)$ - ومقدار الخطأ الكلمي (للفترة الكاملة Global Truncation Error) هو: $E_T([a, b])$

$$-\frac{n h^3}{12} f'''(\eta) = \frac{-(b-a)^3}{12 n^2} f'''(\eta)$$

ففرض أن المشقة الثانية للدالة f عدودة، فإنه يوجد عدد M بحيث

$$|f''(\eta)| \leq M$$

وعلى فرض أن المطلوب هو [يحاد تكامل f (I)] بخطأ لا يتجاوز ϵ فإن ذلك يعني:

$$\left| \frac{(b-a)^3}{12 n^2} f'''(\eta) \right| \leq \epsilon$$

أو

$$\frac{(b-a)^3}{12n^2} M \leq \epsilon$$

ذلك يعني:

$$n \geq \sqrt{\frac{(b-a)^3 M}{12\epsilon}} \quad (26)$$

أما في حالة سمن $\frac{1}{3}$ فإن مقدار الخطأ الكلي هو

$$\begin{aligned} |E| &= \left| \frac{-(b-a)}{180} h^4 f^{(iv)}(\eta) \right| \\ &= \left| -\frac{(b-a)^5}{180n^4} f^{(iv)}(\eta) \right| \end{aligned}$$

وبفرض أن المشتق الرابعة للدالة f محددة، فإنه يوجد عدد L بحيث

$$|E| = \frac{(b-a)^5 L}{180n^4} \leq \epsilon$$

إذن فإن:

$$n \geq \sqrt[4]{\frac{(b-a)^5 L}{180\epsilon}} \quad (27)$$

مثال (3): [6]

لإيجاد قيمة التكامل $\int_0^{\pi} \sin x dx$ باستخدام قاعدة سمن المركبة ويعطى لا يتجاوز $10^{-5} = 2 \times 10^{-5}$ فإنه عدد الفقرات اللازمة هو

$$n \geq \sqrt[4]{\frac{\pi^5}{360 \times 10^{-5}}}$$

$$n \geq 17.1$$

$$h = \frac{\pi}{20}$$

فإن

$$n = 20$$

فبفرض

وعلى هذا المقياس غيرت قيمة التكامل.

$$\int_{0}^{\pi} \sin x \, dx \approx \frac{\pi}{60} \left[2 \sum_{i=1}^{9} \sin\left(\frac{i\pi}{10}\right) + 4 \sum_{i=1}^{10} \sin\left(\frac{(2i-1)\pi}{20}\right) \right] \\ = 2.00000679$$

بينما باستخدام قاعدة ثب المترجف المركبة فإن عدد الفقرات الالازمة هو

$$n \geq \sqrt{\frac{(b-a)^3 M}{12\varepsilon}}$$

أو

$$n \geq 360$$

أي إننا نحتاج إلى مضاعفة العمل ثمانية عشر مرة بقدر ما كان عليه في قاعدة سمن. ولأجل إبراز الفرق بين القاعدتين فإننا سنقوم بتطبيق قاعدة ثب المترجف بوضع $n=20$ أي أن $\frac{\pi}{20}$ فحصل على

$$\int_{0}^{\pi} \sin x \, dx \approx \frac{\pi}{40} \left[2 \sum_{i=1}^{10} \sin\left(\frac{i\pi}{20}\right) + \sin 0 + \sin \pi \right] \\ = 1.9958860$$

أي أن الخطأ المطلق يكون

$$\varepsilon = |2 - 1.9958860| = 0.004114$$

مقارنة مع الخطأ المسموح به وهو 0.00002 . وهذا يعني أن الخطأ تضاعف أكثر من مائة مرة.

تعريف: إن درجة الدقة لقاعدة التكامل هي العدد الصحيح الموجب n حيث الخطأ في تكامل معددة الخدود P_n من الدرجة n أو أقل يكون صفراء، $E(P_n) = 0$ ، لكن الخطأ في تكامل الخدودية P_{n+1} لا يساوي صفراء $E(P_{n+1}) \neq 0$ واستناداً إلى هذا التعريف فإن صيغة ثب المترجف تكون لها درجة دقة واحد وكل من صيغتي سمن وسمن $\frac{3}{8}$ لها درجة دقة ثلاثة.

إن الصيغة المذكورة أعلاه هي من ضمن ما يسمى بصيغة نيوتن - كوتز المثلثية، حيث أن الفترة $[a, b]$ تقسم بحيث أن $x_i = x_0 + ih$ لـ $i = 0, 1, \dots, n$

$$\text{وأن } x_n = b \text{ و } x_0 = a$$

صيغة نيوتن - كوتز تفترض أن

$$\int_a^b f(x) dx \approx \sum_{i=0}^n a_i f(x_i)$$

$$a_i = \int_{x_0}^{x_i} L_i(x) dx = \prod_{j=0, j \neq i}^n \frac{(x - x_j)}{(x_i - x_j)} dx$$

(لاحظ استخدام حدوديات لاكرانج في الصيغة).

كذلك هناك صيغة عامة تسمى صيغة نيوتن كوتز المقترنة (Open Newton-Cotes).

حيث فيها تقسم الفترة $[a, b]$ كما يلي

$$\text{وأن } x_0 = a + ih \text{ و } x_n = b - ih \text{ و } h = \frac{b-a}{n+2}$$

ل نقاط النهاية $x_0 = a$ و $x_{n+1} = b$ وبذلك يصبح التكامل

$$\int_a^b f(x) dx = \int_{x_{-1}}^{x_{n+1}} f(x) dx = \sum_{i=0}^n a_i f(x_i)$$

حيث كما في السابق

$$a_i = \int_{x_{-1}}^b L_i(x) dx$$

ومن الصيغة الشهيرة لصيغة نيوتن كوتز المقترنة

عندما $n = 0$

$$\int_{x_{-1}}^b f(x) dx = 2hf(x_0) + \frac{h^3}{3} f''(\xi) \quad (28)$$

$$x_{-1} < \xi < x_1$$

عندما $n = 1$

$$\int_{x_0}^{x_1} f(x) dx = \frac{3h}{2} [f(x_0) + f(x_1)] + \frac{3h^3}{4} f''(\xi) \quad (29)$$

$x_{-1} < \xi < x_2$

عندما $n = 2$

$$\int_{x_0}^{x_2} f(x) dx = \frac{4h}{3} [2f(x_0) - f(x_1) + 2f(x_2)] + \frac{14h^5}{45} f^{(4)}(\xi) \quad (30)$$

$x_{-1} < \xi < x_3$

عندما $n = 3$

$$\int_{x_0}^{x_3} f(x) dx = \frac{5h}{24} [11f(x_0) + f(x_1) + f(x_2) + 11f(x_3)] + \frac{95h^3}{144} f^{(4)}(\xi) \quad (31)$$

$x_{-1} < \xi < x_4$

أن صيغ نيوتن كوتز المفتوحة كثيراً ما تستخدم في الحلول العددية للمعادلات التفاضلية العادبة رغم أن الصيغ المغلقة تبدي دقة أعلى في التكاملات. والمثال التالي يبين ذلك.

مثال (4): [7]

باستخدام الصيغ المفتوحة (28)، (29)، (30)، (31) أعلاه والصيغ المغلقة

(شبيه المحرف وصيغ سمن وسمن $\frac{8}{3}$ وصيغة أخرى) لتقريب التكامل

$$\int_0^{\pi/4} \sin x dx = 1 - \left(\frac{\sqrt{2}}{2} \right)$$

يترجع الجدول الآتي:

جدول (3)

$n =$	0	1	2	3	4
صيغة مغلقة	-	0.27768018	0.29293264	0.29291070	0.29289318
خطا	-	0.01521303	0.00003942	0.00001748	0.00000004
صيغة مفتوحة	0.30055887	0.2978754	0.29351798	0.29286923	
خطا	0.00766565	0.00509432	0.00062477	0.00002399	

7.8 طريقة المعاملات غير المحددة Undetermined Coefficients

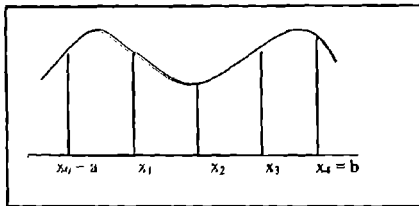
إن الصيغة العددية للتكامل تختوي على قيم للدالة تحت التكامل وعند نقاط داخل أو قرب فترة التكامل. فلإيجاد قيمة تكامل الدالة $(x) f$ على الفترة $[a, b]$ نعلم أنه يوجد قيمة وسيلة للدالة على الفترة $[a, b]$. فإن التكامل يكون:

$$\int_a^b f(x) dx = (b - a) f_{\bar{x}} \quad (32)$$

حيث $f_{\bar{x}}$ تمثل قيمة وسيلة للدالة f في الفترة $[a, b]$. ويدو مناسباً أن نقرب هذه القيمة الوسيلة بتركيب خطى من قيم الدالة ضمن الفترة $[a, b]$. أي أن

$$\int_a^b f(x) dx = c_0 f(x_0) + c_1 f(x_1) + \dots + c_n f(x_n) \quad (33)$$

حيث c_i ثوابت يتم إيجاد قيمها. وهنا لابد أن نضع بعض الشروط على الصيغة منها أن النقاط x_i تكون موزعة بانتظام أي أن $x_{i+1} - x_i = h$ حيث h قيمة ثابتة كذلك أن تكون نقاط نهايات فترة التكامل a, b تتطابق على نقطتين من النقاط x_i .



شكل (7.6)

بفرض أننا أردنا أن نجد التكامل بواسطة قياسين للدالة فقط وهم $f(a)$ و $f(b)$ أي أن:

$$\int_a^b f(x) dx = c_0 f(a) + c_1 f(b) \quad (34)$$

بالتأكيد فإن قيمة الثواب c_0, c_1 تعتمد على $(x)_0$ و $x_1, x_2, x_3, x_4 = b$. هذه الطريقة (طريقة العاملات غير المحددة) تعتمد على افتراض أنه يمكن أن تقارب الدالة (x) اعتماداً على حدود وبذلذا نحدد قيمة c_0, c_1 بحيث أن المعادلة (34) تكون صحيحة لكل متعددة حدود من الدرجة m أو أقل حيث m غير معلومة الآن.

وحيث أن (34) تحتوي على معاملين اثنين غير محددين، فإننا لا نتوقع أن نحصل على حدودية من درجة أعلى من الأولى. لأن ذلك يتطلب معاملات أكثر. وعليه فإننا نعتبر أن المعادلة (34) تكون مضبوطة إذا قررتنا $(x)_0$ بمحدودية من الدرجة صفر أو الدرجة واحد. وهذا يقودنا إلى أن الصيغة تكون مفترضة عندما $x = (x)_0$ وكذلك $1 - (x)_0$. كأبسط أشكال حدوديات الدرجة الأولى والدرجة صفر على الترتيب.

إذن

$$\left. \begin{array}{l} \int_a^b x dx = c_0(a) + c_1(b) \\ \int_a^b 1 dx = c_0(l) + c_1(l) \end{array} \right\} \quad (35)$$

وبإجراء التكاملات نحصل على

$$\frac{b^2}{2} - \frac{a^2}{2} = c_0 a + c_1 b$$

$$b - a = c_0 + c_1$$

ويمثل المعادلين بالنسبة إلى c_0, c_1 نجد أن

$$c_0 = (b - a)/2$$

$$c_1 = (b - a)/2$$

تكون صيغة التكامل

$$\int_a^b f(x) dx = \frac{b-a}{2} [f(a) + f(b)]$$

وهي، كما هو واضح، صيغة شب المحرف البيطية.

حتماً الآن نفك في كيفية استنتاج صيغة سمن $\frac{1}{3}$. نعود إلى المعادلة (33) ونقتطف عن الجهة اليمنى ثلاثة حدود أي:

$$\int_a^b f(x) dx = c_0 f(x_0) + c_1 f(x_1) + c_2 f(x_2) \quad (36)$$

ويفرض أن $a = x_0 < x_1 < x_2 = b$ ولأن النقاط x_i موزعة بانتظام فإن $\frac{b-a}{2} = x_1 - x_0$. إذن:

$$\int_a^b f(x) dx = c_0 f(a) + c_1 f\left(\frac{b+a}{2}\right) + c_2 f(b) \quad (37)$$

وهنا مرة أخرى نقرب الدالة $f(x)$ بمتحدة حدود وهذه لا يمكن أن تكون من درجة أعلى من الثانية لكي تكون الصيغة (37) مضبوطة، عليه فإن أبسط الاحتمالات للدالة $f(x)$ هي $f(x) = x^2$, $f(x) = x$, $f(x) = 1$ ، إذن:

$$\int_a^b x^2 dx = \frac{b^3}{3} - \frac{a^3}{3} = c_0 a^2 + c_1 \left(\frac{a+b}{2} \right)^2 + c_2 b^2$$

$$\int_a^b x^2 dx = \frac{b^2}{2} - \frac{a^2}{2} = c_0 a + c_1 \left(\frac{a+b}{2} \right)^2 + c_2 b$$

$$\int_a^b dx = b - a = c_0 + c_1 + c_2$$

وبحل المنظومة للمعاملات غير المحددة c_i تجد أن

$$c_0 = c_2 = \frac{1}{6}(b-a) , \quad c_1 = \frac{4}{6}(b-a)$$

فتنتج صيغة سمن

$$\int_a^b f(x) dx = \frac{b-a}{6} \left[f(a) + 4f\left(\frac{b+a}{2}\right) + f(b) \right]$$

أما بالنسبة لمقدار الخطأ، فإننا سنأخذ بالتفصيل مقدار الخطأ في صيغة شب المحرف البسيطة. فمن نظر تيلر

$$F(x_1) = F(x_0) + F'(x_0)h + F''(x_0)\frac{h^2}{2} + F''(\xi_1)\frac{h^3}{6} \quad (38)$$

$$x_1 = x_0 + h \quad \text{وأن } x_0 < \xi_1 < x_1$$

حيث $F''(x) = f''(x)$ ، $F'(x) = f'(x)$ ، فيكون $F(x) = \int_a^x f(x) dx$
 $F'''(x) = f'''(x)$
 \therefore تكون المعادلة (38) بالشكل

$$\int_a^b f(x) dx = \int_a^{x_0} f(x) dx + h f(x_0) + \frac{h^2}{2} f'(x_0) + \frac{h^3}{6} f''(\xi_1)$$

أو

$$\int_a^b f(x) dx - \int_a^{x_0} f(x) dx = \int_{x_0}^{x_1} f(x) dx = h f(x_0) + \frac{h^2}{2} f'(x_0) + \frac{h^3}{6} f''(\xi_1) \quad (39)$$

$$f(x_0) = \frac{f(x_1) - f(x_0)}{h} - \frac{h}{2} f''(\xi_2), \quad x_0 < \xi_2 < x_1$$

يتبع

$$\int_a^b f(x) dx = h f(x_0) + \frac{h}{2} (f(x_1) - f(x_0)) - \frac{1}{4} h^3 f'''(\xi_2) + \frac{1}{6} h^3 f'''(\xi_1)$$

وبدمج الحدين الآخرين نحصل على

$$\int_a^b f(x) dx = \frac{h}{2} (f(x_0) + f(x_1)) - \frac{1}{12} h^3 f'''(\xi) \quad (40)$$

حيث $x_0 < \xi < x_1$

إذن فإن الخطأ في الصيغة البسيطة لشبة المنحرف هو $O(h^3)$ ، وهو مطابق لما حصلنا عليه سابقاً.

وبنفس الأسلوب يمكن أن نستنتج صيغة الخطأ في تكامل سمن.

7.9 تكامل رمبرك Romberg Integration

رغم أن قاعدة شبه المنحرف غير عالية الدقة إلا أنه يمكن زيادة درجة دقتها باتباع أسلوب رمبرك. ذلك بأن نطبق قاعدة شبه المنحرف المركبة باستخدام 4, 2, 4, 8, ..., 2ⁿ من الفقرات الجزئية للحصول على قيم مختلفة للتكمال

$$\int_a^b f(x) dx$$

ثم نأخذ ترکيات خطية من هذه القيم لنحصل على ناتج عالي الدقة.

نظريه (7.1): [2]

لتكن f دالة متصلة معرفة على $[a, b]$ وأن f قابلة للإشتقاق وأن مشتقاتها موجودة ومتصلة. يمكن التعبير عن قاعدة شبه المنحرف بالصيغة.

$$\int_a^b f(x) dx = \frac{h}{2} \left[f(a) + f(b) + 2 \sum_{i=1}^{n-1} f_i \right] + \sum_{j=1}^n a_j h^{2j}$$

$$h = \frac{b-a}{n}, \quad a = x_0, \quad b = x_n \quad \text{حيث}$$

النظرية أعلاه هي الأساس النظري الذي اعتمد عليه رومبرك. إذ أنه ليس من الصعوبة كتابة h بصيغتها الصريرة لكنها ليست ذات أهمية. فعملية رومبرك تعتمد على إيجاد قيم مختلفة للتكامل باستخدام صيغة شبه التحريف $T_{k,0}$ ($K = 0, 1, 2, \dots$) فيها طول الفترة الجزئية $\frac{b-a}{2^k} h$. ومن نظرية (7.1) يكون

$$I = T_{k,0} + \alpha_1 h_k^2 + \alpha_2 h_k^4 + \alpha_3 h_k^6 + \dots \quad (41)$$

فإذا نصفنا h , أي ان عدد الفترات الجزئية يتضاعف، يتج

$$\begin{aligned} I &= T_{k+1,0} + \alpha_1 \left(\frac{h_k}{2}\right)^2 + \alpha_2 \left(\frac{h_k}{2}\right)^4 + \alpha_3 \left(\frac{h_k}{2}\right)^6 + \dots \\ &= T_{k+1,0} + \frac{1}{4} \alpha_1 h_k^2 + \frac{1}{16} \alpha_2 h_k^4 + \frac{1}{64} \alpha_3 h_k^6 + \dots \end{aligned} \quad (42)$$

الآن يمكن أن تخلص من الحد الأول من الخطأ (h^2) بضرب المعادلة (42) في 4 وطرح (41) منها فتتج

$$\begin{aligned} 3I &= (4T_{k+1,0} - T_{k,0}) - \frac{3}{4} \alpha_2 h_k^4 - \frac{15}{16} \alpha_3 h_k^6 + \dots \\ I &= \frac{1}{3} (4T_{k+1,0} - T_{k,0}) - \frac{1}{4} \alpha_2 h_k^4 - \frac{5}{16} \alpha_3 h_k^6 + \dots \end{aligned} \quad (43)$$

وهذا هو ما يسمى بالاستكمال الأول (استكمال رومبرك الأول) ويرمز له $T_{k+1,1}$ فيه حصلنا على تقرير من الرتبة الرابعة.

نكتب المعادلة (43) بالصورة

$$I = T_{k+1} + \beta_1 h_k^4 + \beta_2 h_k^6 + \dots \quad (44)$$

حيث T_{k+1} هي القيمة الجديدة للتكامل و β_i لا تعتمد على h .

نكرر العملية بتصرف h مرة أخرى أي مضاعفة الفترات الجزئية يتبع

$$I = T_{k+2,1} + \frac{1}{16} \beta_1 h_k^4 + \frac{1}{64} \beta_2 h_k^6 + \dots \quad (45)$$

عندما نتمكن من حذف الحد الذي من الدرجة الرابعة بضرب (45) في 16 وطرح (44) منها فيتتج

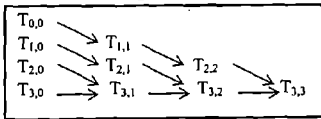
$$15 I = 16 T_{k+2,1} - T_{k+1,1} - \frac{3}{4} \beta_2 h_k^6 - \dots$$

أو

$$I = \frac{1}{15} (16T_{k+2,1} - T_{k+1,1}) - \frac{1}{20} \beta_2 h_k^6 - \dots \quad (46)$$

وهذا هو استكمال رومبرك الثاني ويرمز له $T_{k+2,2}$.

يمكن أن تستمر هذه العملية لعدة مراحل بحيث يتكون لدينا المثلث الآتي:



شكل (7.7)

ن تكون عملية تكوين الجدول بالصفوف، نجد $T_{0,0}$ كصف أول ثم $T_{1,0}$ ومنهما كصف ثانٍ. ومن $T_{1,0}$ و $T_{2,0}$ نجد $T_{2,1}$ وهذه مع $T_{1,1}$ تولد $T_{2,2}$ فنكون قد وجدنا الصف الثالث وهكذا.

العمل: لنكن لدينا الفترة $[a, b]$ التي يراد إجراء التكامل فيها. في الخطوة الأولى نعتبر الفترة بأكملها هي فرة جزئية واحدة.

$$h_k = (b - a)/2^k$$

$$h_0 = b - a$$

إذن

$$T_{0,0} = \frac{b-a}{2} [f(a) + f(b)] \quad (47)$$

وبتنصيف h_0 يتتج

$$h_1 = \frac{1}{2} h_0 = \frac{b-a}{2}$$

. $T_{1,0}$

$$T_{1,0} = \frac{1}{2} \left(\frac{b-a}{2} \right) [f(a) + 2f(a + \frac{1}{2}(b-a)) + f(b)] \quad (48)$$

الآن نتمكن من تطبيق فكرة رومبرك على المعادلين (47) و (48) من خلال
المعادلة (43) ليتخرج $T_{1,1}$ حيث

$$T_{1,1} = \frac{1}{3} (4 T_{1,0} - T_{0,0}) \quad (49)$$

بعد حذف حدود الخطأ.

لاحظ أن $T_{1,0}$ يمكن وضعها بدلاً من $T_{0,0}$.

$$T_{1,0} = \frac{1}{2} \left[T_{0,0} + \frac{b-a}{2^0} f(a + \frac{1}{2}(b-a)) \right] \quad (50)$$

بهذا يتكون الصف الأول والثاني من المثلث (7.7).

$$\begin{matrix} T_{0,0} \\ \searrow \\ T_{1,0} \\ \rightarrow \\ T_{1,1} \end{matrix}$$

فإذا لم يكن $T_{1,1}$ يحقق الدقة المطلوبة تقوم بالخطوة الثانية وهي نصف h_1
ونحصل على

$$h_2 = \frac{1}{2} h_1 = \frac{b-a}{2^2}$$

ونستخرج $T_{2,0}$ حيث

$$\begin{aligned} T_{2,0} &= \frac{1}{2} \left(\frac{b-a}{2^2} \right) \left[f(a) + 2f(a + \frac{1}{2^2}(b-a)) + 2f(a + \frac{1}{2}(b-a)) \right. \\ &\quad \left. + 2f(a + \frac{3}{2^2}(b-a)) + f(b) \right] \\ &= \frac{1}{2} \left[T_{1,0} + \frac{b-a}{2^1} \left(f(a + \frac{1}{4}(b-a)) + f(a + \frac{3}{4}(b-a)) \right) \right] \end{aligned} \quad (51)$$

ويملاحظة المعادلين (50) و (51) يمكن الاستنتاج أن:

$$T_{i,0} = \frac{1}{2} [T_{i-1,0} + h_{i,1} \sum_{j=1}^{2^{i-1}} f(a + (j - \frac{1}{2})h_{i,1})] , \quad i = 1, \dots, n \quad (52)$$

بعد أن وجدنا $T_{2,0}$ وبتركيتها مع $T_{1,0}$ نستخرج قيمة جديدة للتكامل هي $T_{2,1}$ وذلك أن

$$T_{2,1} = \frac{1}{3} (4 T_{2,0} - T_{1,0})$$

$$\begin{matrix} T_{1,0} \\ T_{2,0} \end{matrix} \xrightarrow{} T_{2,1}$$

ن تكون التركيبة الثالثة

$$\begin{matrix} T_{0,0} \\ T_{1,0} \\ T_{2,0} \end{matrix} \xrightarrow{} T_{1,1} \xrightarrow{} T_{2,1}$$

إن إيجاد $T_{2,1}$ ليس هو المدف حيث أنه سوف لن يكون أدق بكثير من $T_{1,1}$ وإنما الاثنين $T_{1,1}$ و $T_{2,1}$ يؤهلاننا الآن للقفز إلى مرحلة جديدة وهي إيجاد $T_{2,2}$ الناتجة عن تركيبيها كما ورد في المعادلة (46) فنكون

$$T_{2,2} = \frac{1}{15} (16 T_{2,1} - T_{1,1})$$

والتي يرافقها خطأ من الرتبة h^6 . وهكذا يكتمل، الصيغ الثالث من المثلث كما في الشكل (7.9).

$$h_0 = \frac{b-a}{2^0}$$

$$h_1 = \frac{1}{2} h_0 = \frac{b-a}{2^1}$$

$$a + \frac{b-a}{2^1}$$

$$h_2 = \frac{1}{2} h_1 = \frac{b-a}{2^2}$$

$$a + 1 \left(\frac{b-a}{2^2} \right) \quad a + 2 \left(\frac{b-a}{2^2} \right) \quad a + 3 \left(\frac{b-a}{2^2} \right)$$

$$h_3 = \frac{1}{2} h_2 = \frac{b-a}{2^3}$$

$$a + 2 \left(\frac{b-a}{2^3} \right) \quad a + 4 \left(\frac{b-a}{2^3} \right) \quad a + 7 \left(\frac{b-a}{2^3} \right)$$

$$h_4 = \frac{1}{2} h_3 = \frac{b-a}{2^4}$$

$$a + \left(\frac{b-a}{2^4} \right) \quad a + 8 \left(\frac{b-a}{2^4} \right) \quad a + 13 \left(\frac{b-a}{2^4} \right)$$

شكل (7.8)

تمارين

1. اوجد $\int_0^2 f(x)dx$ حيث

x	0	0.12	0.53	0.87	1.08	1.43	2.00
F(x)	1.0000	0.8869	0.5886	0.4190	0.3369	0.2393	0.1353

2. لديك الجدول

x	1.0	1.1	1.2	1.3	1.4	1.5	1.6	1.7	1.8
f(x)	1.543	1.668	1.811	1.971	2.151	2.352	2.577	2.828	3.107

جد $\int_{1.0}^{1.8} f(x)dx$ باستخدام قاعدة ثبـه المنحـف مـعـتـرـأ

$$h = 0.4$$

$$h = 0.2$$

$$h = 0.1$$

3. إذا كان الجدول في السؤال (2) يمثل (x) \cosh ، ما هو مقدار الخطأ الحاصل في حساب التكامل في الحالات أ، ب، ح؟ وكم هو قريب بالنسبة إلى h^2 ؟ ما هي الأخطاء الأخرى إلى جانب ما جاء في الصيغة (17) من الفصل السابع.

4. كون جدولًا للدالة ex بدءً من $x = 1.8$ حتى $x = 3.4$ حيث $h = 0.2$ وذلك

لثلاث مراتب عشرية. ثم احسب $\int_{1.8}^{3.4} e^x dx$ باستخدام قاعدة ثبـه المنحـف متـخـذـا $h = 0.2$.

ما مقدار الخطأ في النتيجة المحسورة؟ تحقق من أن مقدار الخطأ يقع ضمن المحدود الذي تضعها الصيغة (17). بفرض أنك لا تعرف الدالة، استخدم الفروق التانية في الجدول المعمول تخمين الخطأ. كم يجب أن يكون طول h لتحصل على تكامل خطأ أقل من 0.000005 باستخدام قاعدة ثبـه المنحـف؟

5. استخدم صيغ نيوتن كوتز المغلقة والمفتوحة حيث $n = 0, 1, 2, 3$ لتقرير.

b) $\int_0^1 e^{x^2} dx$, a) $\int_0^{e^6} e^{-x} \sin x dx$

6. اوجد عدد الفترات الجزئية اللازمة لتقدير $\int_x^1 x^{-1/2} dx$ صحيحاً لأربعة مراتب عشرية. مستخدماً قاعدة سمن ذلك إذا كانت:

$\alpha = 0$ (1) $\alpha = 0.001$ (2) $\alpha = 0.01$ (3) $\alpha = 0.1$ (4)

7. استخدم تكامل رمبرك لحساب T_{22} للتكاملات الآتية:

ج) $\int_0^3 x \sqrt{1+x^2} dx$ ب) $\int_0^2 x^3 dx$ (1) $\int_1^3 \frac{dx}{x}$

د) $\int_0^1 x^2 e^x dx$ هـ) $\int_0^{2\pi} x \sin x dx$ د) $\int_0^1 \sin \pi x dx$

8. استخدم تكامل رمبرك لحساب T_{33} للتكاملات الآتية:

ب) $\int_{\frac{\pi}{2}}^{\frac{3\pi}{4}} \cos x dx$ (1) د) $\int_0^{\frac{\pi}{4}} \sin x dx$

9. استخدم تكامل رمبرك لتقرير $\int_0^2 x^2 e^{-x^2} dx$ حتى يكون $|T_{nn} - T_{n,n-1}|$ متطابق لحد 10^{-6} .

10. استخدم تكامل رمبرك لتقرير $\int e^x \sin x dx$ اكمل الجدول حتى يكون $|T_{nn} - T_{n,n-1}|$ متطابقة لحد 10^{-6} . قارن الناتج مع القيمة الحقيقة.

المصطلحات

(١)

20	آينشتاين
93	استرخاء
134	استرخاء تحت
134	استرخاء فوق
98	ارتکاز جزئی
176	استكمال
245	استكمال رمیک

(ب)

21	پتر السلسلة
225	بسیطة (صیغة)

(ت)

22، 17	تقريب
23	تدویر
41	تققارب
81	تققارب تربيعياً
46	تیلر
54	تجزئة (الدالة)
57	تصیف

93	تحليل (منائي)
96	تصفير
153	تركيب (خطي)
173	تشييف
91	غمريلات (أولية)
	(ج)
51	جلد
93	جاكاربي
97	جوردن
	(ح)
22, 20, 19, 17	حلول (تقريبية)
51	حل
90	حل وحد
144	حدودية
	(خ)
17	خطأ
24	خطأ محلي
24	خطأ كلي
26	خطأ مطلق
26	خطأ نسي
51	خطيبة (معادلة)

	(د)	دولل
113	(ذ)	ذاتية (قيمة ، متجه)
90	(ر)	رول
42		رافسن
68		ربة الخطا
70		رقم معنوي
32، 31	(س)	سلة
21		ميدال
93	(ش)	شاذة (مصفوفة)
90		شريخة تكميلية
178		شريخة طبيعية
178		شروط حرة
178		شروط حدبة
178		شروط ملزمة
	(ص)	صفر
51		صف
89		

(ض)

36	ضرب عشى
32, 23	طول الكلمة (وحدة الحزن)
	(ط)
89	عمود
89	عنصر
189	علاقة أسيّة
189	علاقة هندسية
	(ع)
152	غير موزعة بانتظام
	(ف)
33	فاصلة عائمة
153	فاندرموند
168	فروقات نسبة (مقسمة)
	(ق)
18	قاعدة نظام الأعداد
23	قطع
45	قيم تصوّي
46	قيمة بيئية
71	قاطع
90	قطريّة

129	قياس اقلبي
129	قياس شعاعي
	(ك)
47	كوشي
93	كاوس
113	كرارت
	(ل)
51	لاخطية (معادلة)
	(م)
24	متراكم
41	متتابعة
47	متبقى
47	متوسط القيمة
65	موضع كاذب
89	منظومة
89	متوجه
89	مصفوفة
89	مدخل
90	متناهية علوية
90	متناهية سفلية
90	محدد
90	معكوس

90	متاظرة
96	عمندة (مصفوفة)
128	مصفوفة تكرارات
128	مقاييس
146	مؤثر الفرق التقدمي
151	مؤثر الفرق التراجعي
152	مزوعة بانظام
153	متباينة
153	مجدولة
183	مربعات صغرى
185	معادلة ثياسية
209	مشتقة تقدمية
209	مشتقة تراجعية
225	مركبة (صيغة)
	(ن)
17	نظام الأعداد (العشري)
18	نظام ثانوي
19	نظام ثماني
19	نظام سنتعمرى
20	نيوتون
238	نيوتون - كوتز مغلقة
238	نيوتون - كوتز مفتوحة

41	نهاية
75	نقطة ثابتة
(ه)	
90	هيمنة قطرية
176	هيرمت

المراجع

- سعد المربي (1993)، مبادئ التحليل العددي، الدار العربية للنشر.
- علي محمد إبراهيم و محمد ماهر علي النجاشي (1992)، التحليل العددي، منشورات دار الفاتح، (مترجم).
- علي محمد صادق سيفي و ابتسام كمال الدين (1986)، مبادئ التحليل العددي ، جامعة بغداد.
- Ahlberg, J.H., E.N. Nilson, and J.L. Walsh (1967); *The Theory of Splines and their Applications*, Academic Press, New York.
- Atkinson, K.E. (1989); *An Introduction to Numerical Analysis*, John Wiley & Sons, Inc .
- Bittinger, M.L., and Beecher, J.A., (2006) ; *Introductory and Intermediate Algebra*, 3rd addition, Addison Wesley.
- Burden, R.L. and J.D. Faires (1985); *Numerical Analysis*, Prindle, Weber & Schmidt.
- Gerald, C.F. (1978); *Applied Numerical Analysis*, Addison Wesley .
- Kadhum, N.I. Ph.D. (1988); *The Spline Approach to the Numerical Solution of Parabolic Partial Differential Equations* .
- Kolman, B. (1982); *Elementary Linear Algebra*, Macmillan Publishing Co., Inc.
- Sauer, T. (2006); *Numerical Analysis*, Addison Wesley.
- Shanker Rao, G. (2007); *mathematical methods*, I.K, International Publishing House Pvt. Ltd.
- Smith, G.D. (1965); *Numerical Solution of Partial Differential Equations*, Oxford, London .

- Swokowski, E.W. (1991); Calculus, Prindle, Weber & Schmidt .
- Taylor, A.E. and W.R. Mann, (1972); Advanced Calculus, John Wiley & Sons, Inc .
- Vedamurthy, V.N., and Iyengar, N.Ch.S.N. (2006); Numerical Methods, VIKAS Publishing House PVT LTS.

التحليل العددي

Numerical Analysis

٩٧٨٩٩٢ / ٦٥٦١٠٠